

รายงานวิจัยฉบับสมบูรณ์

การวิเคราะห์หน้าที่การทำงานและศึกษากลไกการควบคุมการแสดงออก
ทั้งระดับก่อนและหลังของยืน Sigma S Factor ในแบคทีเรีย

Burkholderia pseudomallei

Functional analysis and mechanism involved in up and down regulation of Sigma S factor in Burkholderia pseudomallei

	คณะผู้วิจัย	สังกัด
1.	รศ.คร.สุมาลี ตั้งประดับกุล	ภาควิชาชีวเคมี คณะวิทยาศาสตร์
2.	นางสาวเบญจมาศ ทรัพย์สิน	ภาควิชาชีวเคมี คณะวิทยาศาสตร์
3.	นายวิทวัส แจ้งเอี่ยม	ภาควิชาชีวเคมี คณะวิทยาศาสตร์
4.	นายปฐมพล วงศ์ตระกูลเกตุ	ภาควิชาชีววิทยา คณะวิทยาศาสตร์

สนับสนุนโดยสำนักงานกองทุนสนับสนุนการวิจัย
(ความเห็นของรายงานนี้เป็นของผู้วิจัย สกว. ไม่จำเป็นต้องเห็นด้วยเสมอไป)

Abstract

Burkholderia pseudomallei is the causative agent of melioidosis. Our study on the B. pseudomallei rpoS mutant was shown to be more sensitive to carbon starvation, hydrogen peroxide and methyl viologen than the wild type. Analysis of rpoS gene expression by transcription fusion with beta-galactosidase activity assay indicated that rpoS was activated when entry into stationary phase and related to quorum sensing expression by negatively regulation. Moreover, when the bacteria exposed to hydrogen peroxide in the stationary phase, the rpoS was also activated. In an oxidative stress condition, the study of catalase activities were indicated that B. pseudomallei has 2 types of catalases, catalase I encoded by katG and catalase II encoded by katE, respectively. Our results revealed that katE is directly controlled by the RpoS and is not induced by hydrogen peroxide. However, the RpoS was shown to regulate katG, dpsA and oxyR operon under hydrogen peroxide treatment. Our finding is novel and first illustrate the regulation network between RpoS, OxyR, KatG and DpsA expression under hydrogen peroxide induction. In order to identify other genes expressions under RpoS regulation, 2dimensional gel electrophoresis and MADI-TOF techniques were applied. We have constructed a proteomic reference map of a wild type B. pseudomallei 844 strain and used for comparative identification of differential protein expressions in the rpoS mutant strain. A superoxide dismutase, one of an identified product from the proteomic profile, was shown to be under RpoS regulation. We also demonstrated that the B. pseudomallei RpoS involved in regulation of virulent factors such as an induction of multinucleated giant cell formation and of nitric oxide synthase of the host cells.

Key words: Burkholderia pseudomallei, Sigma S factor (rpoS), oxidative stress, 2-dimensional gel electrophoresis, virulent factors

บทคัดย่อ

โรคเมลิออยโคสิสเป็นโรคติคเชื้อจากแบคทีเรียกรัมลบ Burkholderia pseudomallei ใน การศึกษาหน้าที่ของยืนซิกม่า-เอส โคยการทำลายยืนคั้งกล่าวของเชื้อ B. pseudomallei ให้ได้ สาย พันธุ์ rpoS mutant หรือเรียกว่าเชื้อผ่าเหล่า พบว่าเชื้อผ่าเหล่านี้จะมีความไวต่อสภาวะการอดอาหาร สภาวะความเครียสจากออกซิเจนทั้งชนิดไฮโดรเจนเปอร์ออกไซด์ และชนิดเมธิไวโอโลเจนเมื่อเทียบ กับเชื้อสายพันธ์ปกติ ในการวิเคราะห์การแสคงออกของยืนซิกม่า-เอส โคยการใช้โปร โมเตอร์ของยืน เชื่อมต่อกับพลาสมิคพาหะที่แสดงกระบวนการทรานสคริปชั่นติคตามโดยการวัคปฏิกิริยาของเบต้า-กา พบว่าการแสดงออกของซิกม่า-เอสจะเพิ่มขึ้นในช่วงการเจริญเติบโตของเชื้อที่ แลคโตใชเคส Stationary phase และสัมพันธ์กับการผลิตสารหลั่ง Quorum sensing ในช่วงระยะเดียวกันใน ลักษณะการควบคุมแบบลบ อีกทั้งการแสดงออกของซิกม่า-เอสในช่วงการเติบโตนี้จะเพิ่มมากขึ้นเมื่อ เชื้อได้รับไฮโครเจนเปอร์ออกไซค์ จากสภาวะความเครียสจากออกซิเจนนี้ได้มุ่งประเด็นการทำงานของ เอ็นไซม์แคตตาเลสของเชื้อ B. pseudomallei ซึ่งพบว่าเชื้อนี้มีการสร้างเอ็นไซม์แคตตาเลส 2 ชนิค คือ ชนิด I ซึ่งแปลรหัสจากยืน kat G และ ชนิด II ซึ่งแปลรหัสจากยืน kat Eโดยพบว่าการ แสดงออกของขึ้น kat E ขึ้นกับการควบคมของซิกม่า-เอสโดยตรง และ ไม่ถูกเหนี่ยวนำโดยไฮโดรเจน เปอร์ออกไซด์ ในขณะที่ ยืนในกลุ่มโอพอรอน oxyR, kat G และ dps A ถูกควบคุมโดยซิกม่า-เอส ภายในการเหนี่ยวนำโดยไฮโดรเจนเปอร์ออกไซด์ ซึ่งผลการศึกษานี้ได้ข้อมูลใหม่ที่ยังไม่มีรายงานมา ก่อนเกี่ยวกับความสัมพันธ์ของการควบคุมในเครือข่ายระหว่าง RpoS และ OxyR และเพื่อเป็นการ ค้นหายืนหรือกลุ่มชี้นุวที่ถูกควบคุมการแสดงออกของขึ้นเหล่านั้น โดยซิกม่า-เอส การแยกโปรตีนองค์รวมแบบ 2 มิติ ร่วมกับการวิเคราะห์โปรตีนโดย MS-MALDI-TOF เริ่มจากการ สร้างแผนที่อ้างอิงของโปรตีนองค์รวมจากเชื้อ B. pseudomallei เพื่อใช้เป็นข้อมลอ้างอิงและทำการ เปรียบเทียบกับแบบแผนของโปรตีนองค์รวมของเชื้อที่ผ่าเหล่า จะสามารถพบโปรตีนที่ขาคหายไปเมื่อ เชื้อขาดขึ้นซิกม่า-เอส เช่นพบว่าซุปเปอร์ออกไซด์ดีสมิวเตส ขาดหายไปในเชื้อที่ผ่าเหล่าแสคงให้เห็น ว่าการแสดงออกของโปรตีนดังกล่าวอยู่ภายใต้การควบคุมของซิกม่า-เอสเป็นต้น การศึกษาหน้าที่ของซิกม่า-เอสของเชื้อ B. pseudomallei ต่อกลไกการก่อโรคในระดับเบื้องต้นพบว่า เชื้อผ่าเหล่าจะไม่สามารถก่อสภาพพยาธิแบบ multinucleated giant cell formation และ ไม่สามารถ ยับยั้งการสร้าง inducible nitric oxide synthase (iNOS) ของเซลล์เจ้าบ้านได้ แสดงว่าเชื้อผ่าเหล่า ขาดความสามารถในการสร้างปัจจัยความรุนแรงของการก่อโรคได้

Key words: เชื้อเมล็ออยโดสิส, ซิกม่า-เอส, การแยกโปรตีนองค์รวมแบบ 2 มิติ, สภาวะความ เครียสจากออกซิเจน, ปัจจัยความรุนแรงของการก่อโรค

หน้าสรุปโครงการ (Executive Summary) ทุนวิจัยองค์ความรู้ใหม่ที่เป็นพื้นฐานต่อการพัฒนา

ชื่อโครงการ(ภาษาไทย) การวิเคราะห์หน้าที่การทำงานและศึกษากลไกการควบคุมการ แสดงออกทั้งระดับก่อนและหลังของยืน Sigma S Factor ใน แบคทีเรีย Burkholderia pseudomallei

(ภาษาอังกฤษ) Functional analysis and mechanism involved in up and down regulation of Sigma S factor in Burkholderia pseudomallei หัวหน้าโครงการ รศ.ตร.สุมาลี ตั้งประดับกุล ภาควิชาชีวเคมี คณะวิทยาศาสตร์ มหาวิทยาลัยมหิดล ถนนพระราม 6 กรุงเทพฯ 10400 โทรศัพท์ 02 2015376 โทรสาร 02 2480375 e-mail: scstp@mucc.mahidol.ac.th

ปัญหาที่ทำการวิจัย และความสำคัญของปัญหา

ับแการเจริญเติบโต การขยายเผ่าพันธุ์ และขบวนการอยู่รอดของสิ่งมีชีวิต ต้องมีการสังเคราะห์โปรตีน (Translation) ผ่านการถอดรหัสเป็นอาร์เอ็นเอ จากแม่แบบคีเอ็นเอ (Transcription) การถอดรหัสอาร์ เอ็นเอในสิ่งมีชีวิตชั้นต่ำเช่น แบคพีเรีย ถือว่าเป็นขั้นตอนที่สำคัญ โดยทั่วไปแล้วกระบวนการถอดรหัสนั้นต้องอาศัย การทำงานของเอนไซน์ RNA polymerase และเอนไซม์นี้จะทำงานโดยการรวมตัวของโปรตีนหบ่วยย่อยที่ สำคัญ คือ Sigma factor ซึ่งจะเป็นโปรตีนที่กาะตุ้นให้เอนไซม์ RNA polymerase ไปจับกับคีเอ็นเอ แม่แบบ Sigma factor มีอยู่หลายชนิด โดยทั่วไปการถอดรหัสอาร์เอ็นเอที่เกี่ยวข้องกับผลผลิตโปรตีนที่ ต้องการในสาวาวะปกติ จะถูกกระตุ้นโดย Sigma factor D หรือ Sigma 70 แต่ในบางสภาวะที่แบคทีเรีย ต้องเผชิญกาวมผิดปกติ เช่นสิ่งแวดล้อมที่เด็มไปด้วยความตึงเครียส และการอยู่รอดให้ได้ เป็นต้น ในสภาวะที่ผิดปกติเช่นนี้ สิ่งมีชีวิตจำเป็นต้องมีขบวนการที่จะปรับตัวให้อยู่ได้โดยใช้การสังเคราะห์โปรตีนที่ผ่านกระบวนการถอดรหัสที่ แตกต่างจากภาวะปกติ ดังนั้นการใช้โปรตีน Sigma factor อื่น เช่น Sigma S, Sigma N และ Sigma E เป็นต้น มากระตุนRNA polymerase ก็เป็นวิธีการปรับตัวของสิ่งถีชีวิตนั้นอง

Sigma S หรือ Sigma 38 เป็นโปรตีนที่กำหนดโดยขึ้น rpoS ซึ่งพบว่าเป็น sigma factor ที่ มีบทบาทสาคัญในการอยู่รอดของแบคทีเรียหลายชนิคที่มีสภาวะผิดปกติ เช่นสภาวะตึงเครียส สภาวะคับขัน และ สภาวะการอยู่รอดที่แบคทีเรียเข้าสู่การเจริญสูงสุด (Stationary phase) เป็นต้น นอกจากนี้ในแบคทีเรียบาง ชนิดพบว่า Sigma S มีส่วนเกี่ยวข้องกับการกระคุ้นการถอดรหัสของกลุ่มขืนที่ก่อความรุนแรง (Virulent factor) หรือก่อพยาธิสภาพ (Pathogenesis) ในเชื้อก่อโรค เพื่อการอยู่รอดของแบกทีเรียนั้น

เนื่องจาก Burkholderia pseudomallei เป็นแบคทีเรียกรัมลบ ที่ก่อให้เกิดโรคในคน เรียกว่า คังนั้นแบคทีเรียดังกล่าวนี้ต้องมีการสร้างผลผลิตที่เป็นปัจจัยในการก่อความรุนแรงและพยาชิ โรคเมดิออยโดสิส สภาพของโรค ด้วยเหตุนี้ผู้วิจัยจึงได้ตั้งสมมุติฐานในการศึกษาวิจัยในโครงการที่ผู้วิจัยได้รับการสนับสนุนจาก สกว. ในทุนเมธิวิจัย โดยได้มีการศึกษาในเบื้องค้นในช่วงปีที่ 3 ของทุนเมธิวิจัย (ได้ราชงานไว้ในราชงานฉบับสมบูรณ์ เดือนธันวาคม 2545) ซึ่งสมบุติฐานที่ตั้งก็คือ B. pseudomallei จะต้องมีขึ้น rpoS ที่แปลเป็นโปรตีน ทำหน้าที่เกี่ยวข้องกับการอยู่รอดและการควบคุมการสร้าง Virulent Pathogenesis ของการก่อโรค ในการวิจัยคั้งกล่าวได้อาศัยฐานข้อมูลของยืนของเชื้อ B. pseudomallei (B. pseudomallei Genome Database) และสามารถหาตำแหน่งของขึ้น rpoS หลังจากที่โคลนขึ้น และศึกษารหัสของยืนพบว่ามีความคล้ายคลึงกับยืนในแบกที่เรียกรัมลบชนิคอื่น เพื่อพิสูจน์ว่ายืนดังกล่าวเป็นยืนที่ กำหนดการสร้าง Sigma S จึงได้ทำการสร้างแบคทีเวีย B. pseudomallei mutant ที่ทำลายขึ้น rpoS โดยวิธี Knockout ผลจากการศึกษาสามารถสร้าง B. pseudomallei mutant และได้ศึกษาในเบื้องต้น ว่า Sigina S ในแบคทีเรีย B. pseudomallei มีบทบาทต่อการเจริญเติบโตของเชื้อในระยะการเจริญที่ สูงสุด (stationary phase) นอกจากนี้เชื้อ B. pseudomallei mutant ที่ได้นี้ ได้ใช้เป็นแบคทีเรีย เปรียบเทียบในการศึกษาการก่อพยาธิสภาพในเซลล์ (ส่วนหนึ่งของโครงการการสร้างเครือข่ายกลุ่มวิจัยเมคืออยโค ដែត)

จากข้อมูลเบื้องต้นนี้ สามารถชี้แนะว่า Sigma S factor น่าจะมีบทบาทที่สำคัญอื่นๆ และกลไกที่ เกี่ยวข้องในการควบคุมการแสดงออกของ Sigma S ไม่ว่าจะเป็นขบวนการถอดรหัส หรือ การแปลเป็นโปรตีน (Transcriptional or Translational level) อีกทั้งได้มีการศึกษาถึงกลไกในการขังคับควบคุมโดยยืน หรือโปรตีนอื่นๆทั้งในระดับก่อนและหลังยืน rpoS (Up and Down regulation of rpoS gene) ในแบคทีเรียชนิดอื่นๆ ซึ่งเป็นผลให้สามารถอธิบายความรุนแรงของการก่อโรคในแบคทีเรียนั้นๆได้ โดยที่การศึกษา เกี่ยวกับ Sigma S ในแบคทีเรีย B. pseudomallei ยังไม่มีการศึกษามาก่อน รวมทั้งผู้วิจัยมีการสร้าง B. pseuaomallei mutant จึงเป็นประโยชน์ที่จะนำมาเปรียบเทียบศึกษาเพื่อให้ทราบถึงบทบาทหน้าที่และ กลไกในการควบคุมการแสดงออกของ rpoS ที่กำหนดผลผลิต Sigma S ในเชื้อก่อโรคนี้

การศึกษาในโครงการวิจัยดังกล่าวจะได้องค์ความรู้ที่เกี่ยวกับบทบาทของ Sigma S ในสภาวะต่างๆ ทั้งที่
เป็นสภาวะการปรับตัวของเชื้อ B. pseudomallei เอง และสภาวะการเข้าสู่สิ่งแวดล้อมภายในร่างกายมนุษย์ที่มี
ผลต่อพยาชิสภาพ ซึ่งขังไม่มีรายง หเการศึกษามาก่อน รวมทั้งก่อให้เกิดความเข้าใจอย่างแท้จริงในบทบาทของหน่วย
โปรตีนที่มีส่วนสำคัญต่อการเกิดขบวนการถอดรหัส (Transcription) ของสิ่งมีชีวิตชั้นต่ำ นอกจากนี้
โกรงการวิจัยนี้ยังได้พัฒนาการใช้ฐานข้อมูลยืนที่มีอยู่ให้เกิดประโยชน์ อันจะเป็นการส่งเสริม และสร้างนักวิจัย

วัตถุประสงค์

- ศึกษาบทบาทหน้าที่การทำงานของ Sigma S ในแบคทีเรีย B. pseudomallei โดยใช้ B. pseudomallei mutant เป็นตัวเปรียบเทียบ
- 2. ศึกษากลไกที่เกี่ยวข้องในการควบคุมการแสดงออกของ Sigma S ของ *B. pseudomalel* ใน ระดับ Transcription และ Translation
- 3. ศึกษากลใกการควบคุมการแสดงออกของขึ้นและโปรตีน ทั้งระดับก่อนและหลัง ขึ้น rpoS (Up and Down Regulation of rpoS gene)

แผนการดำเนินงานตลอดโครงการ

II NET ITEMA	1 1 1 1 1 1 1 1 1 1 1 1 1 1 1 1 1 1 1 1		,13			
ก็จกรรม	ปี	ที่1	ปีร์	กี่ 2	ปี	ที่ 3
	1-6	7-12	1-6	7-12	1-6	7-12
1. ฟกษาหน้าที่การทำงานของ Sigma S	\longleftrightarrow					
2. ศึกษากลไกการแสดงออกของ Sigma S ทั้งระคับ Transcription and Translation	4	-				
3. หายินหรือโปรตีนที่มีส่วนควบคุม รวมทั้งการกระตุ้นในส่วน promotor		•	•			
4. ศึกษาการควบคุมของ Sigma S ต่อการ แสดงอยู่ของยืนทั้งก่อนและหลังยืน ropS (up and down regulates)			4			
5. ศึกษาแบบแผนโปรตีนองค์รวมโคย 2-D		•			•	
6. รายงานความก้าวหน้า และฉบับสมบูรณ์	*	4>	*	44	4	4
7. ดีผ่มพ์ผลงานในวารสารวิชาการนานาชาติ	4		4			*

ประโยชน์ที่คาดว่าจะได้รับ

การศึกษาในโครงการนี้เป็นการนำความรู้เกี่ยวกับข้อมูลยืนที่ได้มีการศึกษาในระดับยิโนม
(Genome database) ของแบคทีเรีย Burkholderia pseudomallei มาใช้เพื่อตอบคำถามและศึกษา
กลไกในการก่อพยาธิสภาพ ก่อโรคในคน ดังนั้นการศึกษาวิจัยนี้จึงเป็นประโยชน์ ในการพัฒนา
บุคลากรให้มีทักษะในการนำข้อมูลยืนที่มีอยู่มาสืบหาการทำงานที่เป็นกลไกของการก่อโรค โดยใช้
วิธีการทางอณูชีววิทยา ชีวเคมี มาหาคำตอบที่ชัดเจน

นอกจากนี้ความรู้ที่ได้จากการศึกษาในโครงการนี้ยังสามารถสร้างองค์ความรู้ที่จำเพาะของ แบคทีเรียก่อโรคชนิดนี้อย่างชัดเจน เพื่อที่จะสามารถนำไปอธิบายและแก้ปัญหาการก่อโรคดังกล่าวได้ ซึ่งจะเป็นประโยชน์โดยตรงต่อการพัฒนาการด้านสาธารณสุขของประเทศไทย

อีกทั้งการศึกษาการทำ mutant ที่ได้ยังสามารถนำไปเชื่อมโยงกับกลุ่มวิจัยที่เกี่ยวกับ ภูมิคุ้มกัน วิทยา ระดับเซลล์วิทยา และระดับการศึกษาที่เกี่ยวกับยีโนมมนุษย์เมื่อได้รับแบคทีเรียนี้เข้าไป สามารถนำไปสร้างองค์ความรู้ที่หลากหลายสาขา เพื่อเกิดความเข้าใจกลไกในระดับแบคทีเรียเอง และ ระดับ Host-bactc.ia! Interaction. และ Pathogenesis.

นอกจากผลผลิตที่ออกมาในรูปผลงานตีพิมพ์แล้ว (ดูผลที่ได้จากการตีพิมพ์) ยังมีผล (Out put) ในการผลิตบุคลากรระดับ -ปริญญาเอก 2 คน -ปริญญาโท 1 คน

-ปริญญาตรี 2 คน (โดยเฉพาะนักศึกษาในโครงการพิเศษ เช่น พสวท. โครงการศรีตรัง ทอง โครงการอัจฉริยะภาพทางวิทยาศาสตร์ โครงการเรียนคีทางวิทยาศาสตร์ เป็นค้น)

ความเชื่อมโยงกับนักวิจัยที่เป็นผู้เชี่ยวชาญในสาขาและที่ปรึกษา

- 1. Dr. Mark Thomas, and Dr. Jonathan G Shaw, Medical School, Sheffield University, UK.
- 2. ศ.คร.สถิตย์ สิริสิงห ภาควิชาจุลชีววิทยา คณะวิทยาศาสตร์ มหาวิทยาลัยมหิดล
- 3. คุณวรรณาพร วุฒิเอกอนันต์ Wellcome Unit, คณะเวชศาสตร์เขตร้อน มหาวิทยาลัยมหิดล
- 4. รศ.นพ.มงคล คุณากร ภาควิชาพยาชิคลีนิค รพ.รามาธิบดี คณะแพทยศาสตร์ มหาวิทยาลัยมหิดล
- 5. ศ.คร.สกล พันธุ์ขึ้ม สถาบันอณูชีววิทยาและพันธุศาสตร์ มหาวิทยาลัยมหิดล
- 6. ศ.คร.มรว.ชิษณุสรร สวัสคิวัฒน์ ภาควิชาชีวเคมี คณะวิทยาศาสตร์ มหาวิทยาลัยมหิดล

สารบัญ

	หน้า
บทลัดย่อ (อังกฤษ)	I
บทคัดย่อ (ไทย)	II
หน้าสรุปโครงการ (Executive Summary)	III
วัตถุประสงค์	V
แผนการดำเนินงาน	V
ประโยชน์ที่คาดว่าจะได้รับ (Output ที่ได้จากโครงการ)	VI
ความเชื่อมโยงกับนักวิจัยที่เป็นผู้เชี่ยวชาญในสาขาและที่ปรึกษา	VI
สารบัญ	VII
สารบัญตาราง	VIII
สารบัญรูปภาพ	IX
บทน้ำ	1
ระเบียบการวิจัย	5
ผลการวิจัย	7
สรุปและวิจารณ์การวิจัย	30
เขกสารอ้างอิง	34
ภาคผนวก	35
-ผลงานตีพิมพ์	

สารบัญตาราง

	หน้า
ตารางที่ 1 แสดงข้อมูลโปรตีนที่ได้จากการวิเคราะห์โปรตีนรวมของเชื้อ Burkholderia pseudomallei wild type ที่เป็น reference map	22
ตารางที่ 2 แสดงข้อมูลโปรตีนที่พบว่ามีหลายรูปแบบ (Isoform)	26
ตารางที่ 3 แสดงข้อมูลการเปรียบเทียบโปรตีนระหว่าง wild type เทียบกับ rpoS mutant	27
ตารางที่ 4 แสดงข้อมูลโปรตีนที่ได้จากการวิเคราะห์โปรตีนรวมของเชื้อ Burkholderia pseudomallei rpoS mutant ที่เป็น reference map	28

สารบัญรูปภาพ

		หน้า
รูปที่เ	แสดงภาพเพื่อ Burkholderia pseudomallei ที่มีรูปร่างเป็นแท่ง และ	
	ลักษณะบองเชื้อที่เลี้ยงในอาหารวุ้น	4
รูปที่ 2	กราฟเปรียบเทียบสภาวะการอยู่รอดของเชื้อในภาวะอดอาหาร (starvation)	
	ของเชื้อที่เผ่าเหล่า rpoS mutant เทียบกับเชื้อปกติ	7
รูปที่ 3	กราฟเปรียบเทียบสภาวะการอยู่รอดของเชื้อในภาวะความเครียสจาก	
	ไฮโดรเจบเปอร์ออกไซด์ และ เมธิลไวโอโลเจนของเชื้อที่เผ่าเหล่า	
	rpoS mutant เทียบกับเชื้อปกติ	8
รูปที่ 4	กราฟเปรียบเทียบสภาวะการอยู่รอคของเชื้อในภาวะกรค, heat shockม	
	Hyperosmolarity, Biofilm ของเชื้อที่เผ่าเหล่า rpoS mutant	
	เทียบกับเชื้อปกติ	9
รูปที่ 5	เปรียบเทียบ โครงสร้างสารและ โครงสร้างของ Protease, Hemolysin	
	and Flagellin ของเชื้อที่เผ่าเหล่า rpoS mutant เทียบกับเชื้อปกติ	10
รูปที่ 6	แสดงการติดตามการแสคงออกของยืน ${ m rpo}S$ ในระยะการเจริญเติบ โตในระดับ	
	Transcription and Translation	11
รูปที่ 7	แสดงผลการแสดงออกของ AHLภายใต้การควบคุมของ rpoS และผลของ	
	rpoS ภายใต้การควบคุมของระบบ Quorum sensing	12
รูปที่ 8	แสดงผลการติดตามการแสดงออกของ rpoS ของเชื้อปกติที่ถูก และ ไม่ถูก	
	กระตุ้นคัวเปียโครเจนเปอร์ออกไซด์	13
รูปที่ 9	แสดงชนิดของเอนไซม์ Catalase I และ Catalase II	14
รูปที่ เอ	แสดงการทำงานของเอนไซม์ Catalase I และ Catalase II	15
รูปที่ 11	แสคงความสัมพันธ์ของการควบคุมยืนภายใต้ขึ้น rpoS และ OxyR	16
รูปที่ 12	แสคงผลการแสดงออกของขึ้น ${ m dps}{ m A}$ ของเชื้อที่เผ่าเหล่า	
	rpoS mutant เทียบกับแชื่อปกติ	17
รูปที่ 13	แสดงผล Nortnern blot hybridization ของกลุ่มขึ้นภายใต้ OxyR ที่	
	ควบคุม Kat G and DpsA	18
-	แสดงแบบแผนโปรตีนองค์รวมใน 2-D gel electrophoresis	20
	แสคงผลด้วยข่างการวิเคราะห์ชนิคของโปรตืนโดย MALDI-TOF MS	21
รูปที่ เธ	แสดงแบบแผนของโปรตีนองก์รวมระหว่าง ของเชื้อที่เผ่าเหล่า rpoS mutant เทียบกับเชื้อปกติ	27

บทนำ

ในการเจริญเติบโต การขยายเผ่าพันธุ์ และขบวนการอยู่รอดของสิ่งมีชีวิต ต้องมี การสังเคราะห์โปรตีน (Translation) ผ่านการถอดรหัสเป็นอาร์เอ็นเอ จากแม่แบบดีเอ็น เอ (Transcription) การถอครหัสอาร์เอ็นเอในสิ่งมีชีวิตชั้นต่ำเช่น แบคทีเรีย ถือว่าเป็น โดยทั่วไปแล้วกระบวนการถอดรหัสนั้นต้องอาศัยการทำงานของ ขั้นตอนที่สำคัญ เอนใชม์ RNA polymerase และเอนใชม์นี้จะทำงานโดยการรวมตัวของโปรตีนหน่วย ย่อยที่สำคัญ คือ Sigma factor ซึ่งจะเป็นโปรตีนที่กระตุ้นให้เอนไซม์ RNA polymerase ไปจับกับดีเอ็นเอแม่แบบ Sigma factor มีอยู่หลายชนิด โดยทั่วไปการถอดรหัสอาร์เอ็น เยที่เกี่ยวข้องกับผลผลิตโปรตีนที่ต้องการในสภาวะปกติ จะถูกกระตุ้นโดย factor D หรือ Sigma 70 แต่ในบางสภาวะที่แบคทีเรียต้องเผชิญความผิดปกติ เช่น สิ่งแวดล้อมที่ผิดปกติ ในกรณีที่เป็นแบคทีเรียที่ก่อโรคในคน เมื่อเข้าสู่สภาวะในคนก็ ต้องมีการปรับตัวในสิ่งแวดล้อมที่เต็มไปด้วยความตึงเครียส และการอยู่รอดให้ได้ เป็น ดัน ในสภาวะที่ผิดปกติเช่นนี้ สิ่งมีชีวิตจำเป็นต้องมีขบวนการที่จะปรับตัวให้อยู่ได้โดย ใช้การสังเคราะห์ โบ่รตีนที่ผ่านกระบวนการถอดรหัสที่แตกต่างจากภาวะปกติ การได้โปรตีน Sigma factor อื่น เช่น Sigma S, Sigma N และ Sigma E เป็นต้น มา กระตุ้น RNA polymerase ก็เป็นวิธีการปรับตัวของสิ่งมีชีวิตนั่นเอง

Sigma S หรือ Sigma 38 เป็นโปรตีนที่กำหนดโดยยืน rpoS ซึ่งพบว่าเป็น sigma factor ที่มีบทบาทสำคัญในการอยู่รอดของแบคทีเรียหลายชนิดที่มีสภาวะผิดปกติ เช่นสภาวะตึงเครียส สภาวะคับขัน และสภาวะการอยู่รอดที่แบคทีเรียเข้าสู่การเจริญ สุงสุด (Stationary phase) เป็นต้น นอกจากนี้ในแบคทีเรียบางชนิดพบว่า Sigma S มี ส่วนเกี่ยวข้องกับการกระตุ้นการถอดรหัสของกลุ่มยืนที่ก่อความรุนแรง (Virulent factor) หรือก่อพยาธิสภาพ (Pathogenesis) ในเชื้อก่อโรค เพื่อการอยู่รอดของแบคทีเรีย นั้น

เนื่องจาก Burkholderia pseudomallei เป็นแบคทีเรียกรัมลบ ที่ก่อให้เกิดโรค ในกน เรียกว่า โรคเมลิออยโดสิส ผังนั้นแบคทีเรียดังกล่าวนี้ต้องมีการสร้างผลผลิตที่ เป็นปัจจัยในการก่อความรุนแรงและพยาธิสภาพของโรค ด้วยเหตุนี้ผู้วิจัยจึงได้ตั้ง สมมุติฐานในการศึกษาวิจัยในโครงการที่ผู้วิจัยได้รับการสนับสนุนจาก สกว. ในทุน เมธีวิจัย โดยได้มีการศึกษาในเบื้องต้นในช่วงปีที่ 3 ของทุนเมธีวิจัย (ได้รายงานไว้ใน รายงานฉบับสมบูรณ์ เดือนธันวาคม 2545) ซึ่งสมมุติฐานที่ตั้งก็คือ B. pseudomallei จะต้องมัยน rpoS ที่แปลเป็นโปรตีน Sigma S ทำหน้าที่เกี่ยวข้องกับการอยู่รอดและการ ควบคุมการสร้าง Virulent factor และ Pathogenesis ของการก่อโรค ในการวิจัย ดังกล่าวได้อาศัยฐานข้อมูลของยืนของเชื้อ B. pseudomallei (B. pseudomallei Genome Database) และสามารถหาตำแหน่งของยืน rpoS หลังจากที่โคลนยืนและศึกษารหัสของ ยืนพบว่ามีความคล้ายคลึงกับยืนในแบคทีเรียกรัมลบชนิดอื่น เพื่อพิสูจน์ว่ายืนดังกล่าว เป็นยืนที่กำหนดการสร้าง Sigma S จึงได้ทำการสร้างแบคทีเรีย B. pseudomallei mutant ที่ทำลายยืน rpoS โดยวิธี Knockout ผลจากการศึกษาสามารถสร้าง B. pseudomallei mutant และได้ศึกษาในเบื้องต้นว่า Sigma S ในแบคทีเรีย B. pseudomallei มีบทบาทต่อการเจริญเติบโตของเชื้อในระยะการเจริญที่สูงสุด (stationary phase) นอกจากนี้เชื้อ B. pseudomallei mutant ที่ได้นี้ ได้ใช้เป็นแบคทีเรีย เปรียบเทียบในการศึกษาการก่อพยาธิสภาพในเซลล์ (ส่วนหนึ่งของโครงการการสร้าง เครือง่ายกลุ่มวิจัยเมลืออยโดสิส)

จากข้อมูละบื่องต้นนี้ สามารถชี้แนะว่า Sigma S factor น่าจะมีบทบาทที่สำคัญ อื่นๆ และกลไกที่เกี่ยวข้องในการควบคุมการแสดงออกของ Sigma S ไม่ว่าจะเป็น ขบวง การถอดรหัส หรือ การแปลเป็นโปรตืน (Transcriptional or Translational level) อีกทั้งได้มีการศึกษาถึงกลไกในการบังคับควบคุมโดยยืนหรือโปรตีนอื่นๆทั้งในระดับ ก่อนและหลังขืน rpoS (Up and Down regulation of rpoS gene) ในแบคทีเรียชนิดอื่นๆ ซึ่งเป็นผลให้สามารถอธิบายความรุนแรงของการก่อโรคในแบคทีเรียนั้นๆได้ โดยที่ การศึกษาเกี่ยวกับ Sigma S ในแบคทีเรีย B. pseudomallei ยังไม่มีการศึกษามาก่อน รวมทั้งผู้วิจัยมีการสร้าง B. pseudomallei mutant จึงเป็นประโยชน์ที่จะนำมา เปรียบเทียบศึกษาเพื่อให้ทราบถึงบทบาทหน้าที่และกลไกในการควบคุมการแสดงออก ของ rpoS ที่กำานผลผลิต Sigma S ในเชื้อก่อโรคนี้

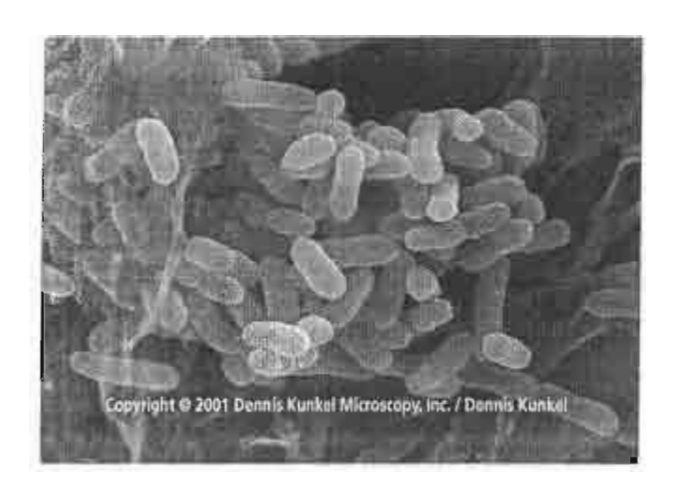
การสึกษาในโครงการวิจัยนี้จะได้องค์ความรู้ที่เกี่ยวกับบทบาทของ Sigma S ใน สการต่างๆ ทั้งที่เป็นสภาวะการปรับตัวของเชื้อ B. pseudomallei เอง และสภาวะการ เข้าสู่สิ่งแวดล้อมภายในร่างกายมนุษย์ที่มีผลต่อพยาธิสภาพเบื้องต้น ซึ่งยังไม่มีรายงาน กา สึกษามาก่อน รวมทั้งก่อให้เกิดความเข้าใจอย่างแท้จริงในบทบาทของหน่วย โปรหีนที่มีส่วนสำคัญต่อการเกิดขบวนการถอดรหัส (Transcription) ของสิ่งมีชีวิตชั้น

ต่ำ นอกจากนี้โครงการวิจัยนี้ยังได้พัฒนาการใช้ฐานข้อมูลยืนที่มีอยู่ให้เกิดประโยชน์ อันจะเป็นการส่งเสริม และสร้างนักวิจัย นักศึกษาที่เข้ามาร่วมในโครงการได้เกิดองค์ ความรู้ ความเข้าใจและทักษะในการใช้สารสนเทศทางชีวภาพ (Bioinformatic)

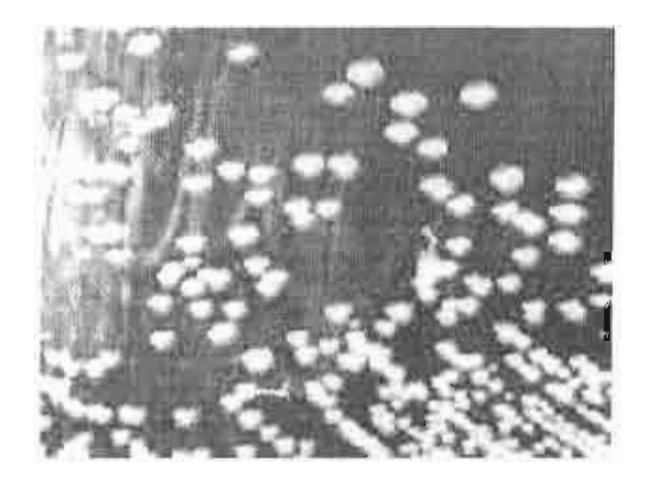
ผลจากการศึกษาใน โครงการวิจัยนี้ พบว่าเชื้อผ่าเหล่านี้จะมีความไวต่อสภาวะ การอคอาหาร สภาวะความเครียสจากออกซิเจนทั้งชนิดไฮโครเจนเปอร์ออกไซค์ และ ชนิคเมธิไวโอโลเจนเมื่อเทียบกับเชื้อสายพันธุ์ปกติ ในการวิเคราะห์การแสดงออกของ ขึ้นซิกม่า-เอส โดยการใช้ โปร โมเตอร์ของยืนเชื่อมต่อกับพลาสมิดพาหะที่แสดง กระบวนการทรานสคริปชั่นติดตามโดยการวัดปฏิกิริยาของเบต้า-กาแลกโตไซเคส พบว่าการแสดงออกของซิกม่า-เอสจะเพิ่มขึ้นในช่วงการเจริญเติบโตของเชื้อที่ Stationary phase และสัมพันธ์กับการผลิตสารหลั่ง Quorum sensing ในช่วงระยะ เดียวกันในลักษณะการควบคุมแบบลบ อีกทั้งการแสดงออกของซิกม่า-เอสในช่วงการ เติบ โตนี้จะเพิ่มมากขึ้นเมื่อเชื้อ ได้รับ ไฮ โครเจนเปอร์ออก ไซค์ จากสภาวะความเครีย สจากออกซิเจนนี้ได้มุ่งประเด็นการทำงานของเอ็นไซม์แคตตาเลสของเชื้อ pseudomallei ซึ่งพบว่าเชื้อนี้มีการสร้างเอ็นไซม์แคตตาเลส 2 ชนิค คือ ชนิค I ซึ่งแปล รหัสจากยืน kai G และ ชนิด II ซึ่งแปลรหัสจากยืน kai Eโดยพบว่าการแสดงออกของ ขึ้น kai E ขึ้นกับการควบคุมของซิกม่า-เอสโดยตรง และไม่ถูกเหนี่ยวนำโดยไฮโดรเจน เปอร์ออกไซด์ ในขณะที่ ยืนในกลุ่มโอพอรอน oxyR, kat G และ dps A ถูกควบคุม โดยซิกม่า-เอส ภายในการเหนี่ยวนำโดยไฮโครเจนเปอร์ออกไซค์ ซึ่งผลการศึกษานี้ได้ ข้อมูลใ เม่ที่ยังใม่มีรายงานมาก่อนเกี่ยวกับความสัมพันธ์ของการควบคุมในเครือข่าย ระหว่าง RpoS และ OxyR และเพื่อเป็นการค้นหายืนหรือกลุ่มยืนอื่นๆที่ถูกควบคุมการ แสดงออกของยืนเหล่านั้นโดยซิกม่า-เอส ได้อาศัยเทคนิคการแยกโปรตีนองค์รวมแบบ 2 มิติ ร่วมกับการวิเคราะห์โปรตีนโดย MS-MALDI-TOF เริ่มจากการสร้างแผนที่ อ้ งอิงของโปรตีนองค์รวมจากเชื้อ B. pseudomallei เพื่อใช้เป็นข้อมูลอ้างอิงและทำการ เปรียวเบียบกับแบบแผนของโปรตีนองค์รวมของเชื้อที่ผ่าเหล่า จะสามารถพบโปรตีนที่ ขาคภายไป มื่อเชื้อขาคยีนซิกม่า-เอส เช่นพบว่าซุปเปอร์ออกไซค์ดีสมิวเคส ขาคหายไป ในเชื้อที่ผ่าเหล่าแสดงให้เห็นว่าการแสดงออกของโปรตีนดังกล่าวอยู่ภายใต้การควบคุม นอกจากนี้ในการศึกษาหน้าที่ของซิกม่า-เอสของเชื้อ ของซิกม่า-เอสเป็นต้น pszudomallei ต่อกลไกการก่อโรคในระดับเบื้องต้นพบว่าเชื้อผ่าเหล่าจะไม่สามารถก่อ

สภาพพยาธิแบบ multinucleated giant cell formation และ ไม่สามารถยับยั้งการสร้าง inducible nitric oxide synthase (iNOS) ของเซลล์เจ้าบ้านได้ แสดงว่าเชื้อผ่าเหล่าขาด ความสามารถในการสร้างปัจจัยความรุนแรงของการก่อโรคได้

(n)



(V)



รูปที่ 1. แสคงภาพเชื้อ Burkholderia pseudomallei ที่มีรูปร่างเป็นแท่ง (ก) และลักษณะของเชื้อที่เลี้ยงในอาหารวุ้น (ข)

ระเบียบวิธีการวิจัย

1. ระเบียบการวิจัยตามวัตถุประสงค์ที่ 1 การศึกษาบทบาทหน้าที่การทำงานของ

Sigma S

- 1.1 ศึกษาหน้าที่การทำงานของ Sigma S ในการปรับสภาวะการอยู่รอดอื่นๆ เช่น
 Oxidative stress, pH ที่เป็นกรด, การสร้างโปรตีเอส, การสร้างไปโอฟิล์ม และ
 อื่นๆ โดยการเลี้ยงแบคทีเรีย B. pseudomallei mutant เทียบกับ B. pseudomallei
 wild type ในสภาวะที่กล่าวข้างต้น เพื่อเปรียบเทียบการปรับตัวของแบคทีเรีย
 ทั้งสองนี้ว่ามีความเหมือน หรือแตกต่างกันอย่างไร ถ้าพบว่ามีความเหมือนกัน
 ในการเจริญเติบโตในสภาวะนั้นๆได้ แสดงว่าการปรับตัวไม่ได้ผ่านการใช้
 Sigma S แต่ถ้าพบว่า B. pseudomallei mutant มีการเจริญเติบโตได้ช้า หรือตาย
 ในสภาวะนั้นๆ ในขณะที่ B. pseudomallei wild type สามารถอยู่รอด แสดงว่า
 ในสภาวะนั้นแบคทีเรียสามารถปรับตัวให้อยู่รอดโดยผ่านการใช้ Sigma S
 นั้นเอง
- 1.2 เพื่อเป็นการยืนยันคุณสมบัติดังกล่าว จะต้องมีการนำเอายืน rpoS กลับเข้าสู่ B. pseudomallei mutant เพื่อให้แบคทีเรียนี้มียืนในสภาพปกติ และเมื่อมีการนำยืน กลับเข้าสู่ B. pseudomallei mutant และพบว่าสามารถอยูรอดและปรับตัวได้ เหมือน B. pseudomallei wild type ก็เป็นการยืนยันหน้าที่และบทบาทของ Sigma S

2. ระเบียบวิจัยตามวัตถุประสงค์ที่ 2 ศึกษากลใกการแสดงออกของ Sigma S

2.1 เนื่องจากมน่อมูลในเบื้องต้นว่า Sigma S เกี่ยวข้องกับการปรับตัวในสภาวะขาด ยาหารในช่วงที่มีการเจริญเติบโตสูงสุด (Starvation) ดังนั้นในการศึกษาใน ขั้นตอนนี้จึงต้องการศึกษากลไกการแสดงออกของยืนดังกล่าวว่าจะถูกควบคุม ในระดับใด Transcription หรือ Translation โดยสร้าง Vector ที่ให้ผลผลิตเป็น RNA ที่มีขึ้น rpoS ที่อยู่ภายใต้ยืนรายงาน หรือยืนติดตาม (Reportor gene) และ นำ plasmid ที่ได้เข้าสู่ B. pseudomallei mutant และเลี้ยงแบคทีเรียนี้ในสภาวะ ดังกล่าว จากนั้นติดตามการแสดงออกของยืนติดตามในช่วงเวลาต่างๆ เทียบกับ การปรับตัวของแบคทีเรีย โดยเป็นการตามในระดับ Transcription และหา

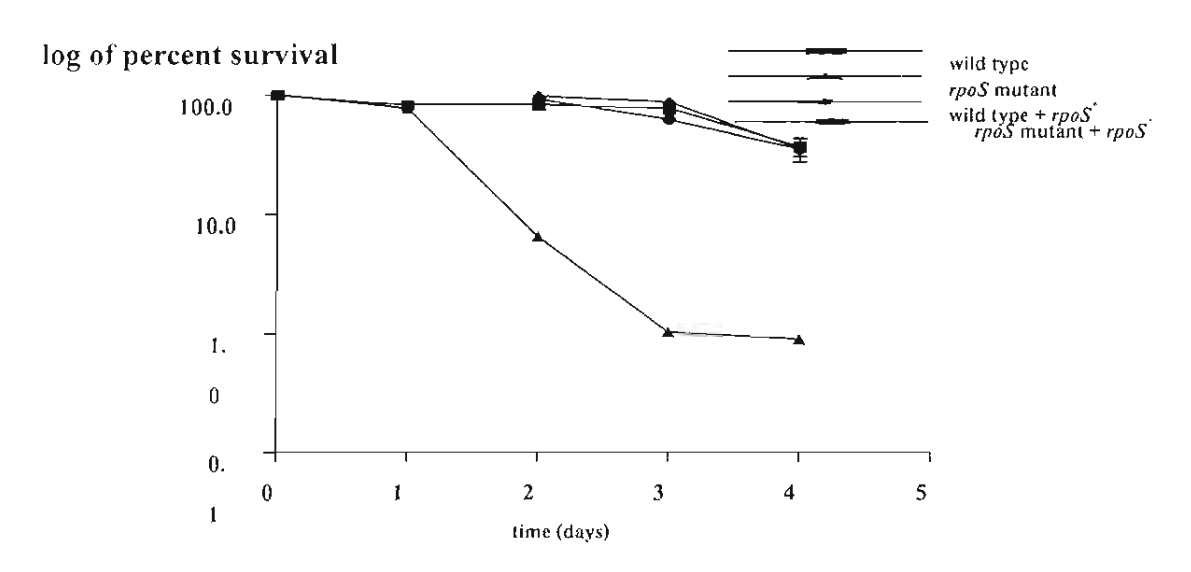
- ความสัมพันธ์กับผลผลิตในระยะเวลาเดียวกันโดยมุ่งประเด็นที่ quorum sensing production
- 2.2 ในกรณีการติดตามในระดับ Translation จะต้องใช้ vector ที่ให้ผลผลิตที่เป็น โปรตีน โดยมียืนติดตามเช่นกับในข้อ 2.1
- 2.3 เมื่อพบว่าการควบคุมเกิดขึ้นในระดับใด ก็จะทำการศึกษาหายีนที่ควบคุมใน ระดับนั้นๆ โดยเริ่มจากการเปรียบเทียบกับแบคทีเรียชนิดอื่น จากนั้นนำข้อมูล มาติดตามใน B. pseudomallei Genome database เป็นวิธีทาง Bioinformatic จากนั้นจึงทำการโคลนยีนและสร้างผลผลิตโปรตีน เพื่อทดสอบโดยวิธี mobility shift assay กับส่วนของ promoter sequence ของ rpoS แต่เนื่องจากมีข้อมูลใน แบคทีเรียอื่นๆ ในการควบคุมภายใต้ rpoS ในสภาวะความเครียสจากออกซิเจน โดยไฮโครเจนเปอร์ออกไซค์ ดังนั้นใน B. pseudomallei จึงนำมาทดสอบการ กาะตุ้นของโปรโมเตอร์ rpoS ภายใต้การเหนี่ยวนำด้วยไฮโครเจนเปอร์ออกไซค์ โดยการวัดในระดับ Transcription จากนั้นหายีนที่เกี่ยวข้องซึ่งได้แก่ Catalase, Oxy R และ DpsA
- 3. ระเบียบการวิจัยในวัตถุประสงค์ที่ 3 การศึกษาการควบคุมของ Sigma S ต่อการ แสดงอยู่ของยืนทั้งก่อนและหลังยืน *rop*S
 - 3.1 การวิจัยในวัตถุประสงค์นี้จะใช้วิธีการทางโปรตีน คือใช้การเปรียบเทียบผลผลิต โปรตีนที่สร้างจาก *B. pseudomallei* mutant เทียบกับ *B. pseudomallei* wild type ซึ่ง สมมุติฐานที่คั้งไว้คือ ในแบคทีเรีย *B. pseudomallei* mutant น่าจะมีโปรตีนบางชนิดขาดหายไป เมื่อเทียบกับ *B. pseudomallei* wild type การ วิเคราะห์โดยระเอียดจะใช้ 2-D gel electrophoresis และนำโปรตีนที่ต่างกันมา หล้าดับกรดอะมิโนเพื่อวิเคราะห์ว่าน่าจะเป็นโปรตีนอะไร มีหน้าอย่างไรได้
 - 3.2 นำผลข้อ 2-D gel ที่ได้มาทำเป็นแบบแผนมาตรฐาน เพื่อให้เปรียบเทียบในกรณี อื่นๆ

ผลการวิจัย

1. การศึกษาบทบาทหน้าที่การทำงานของ Sigma S

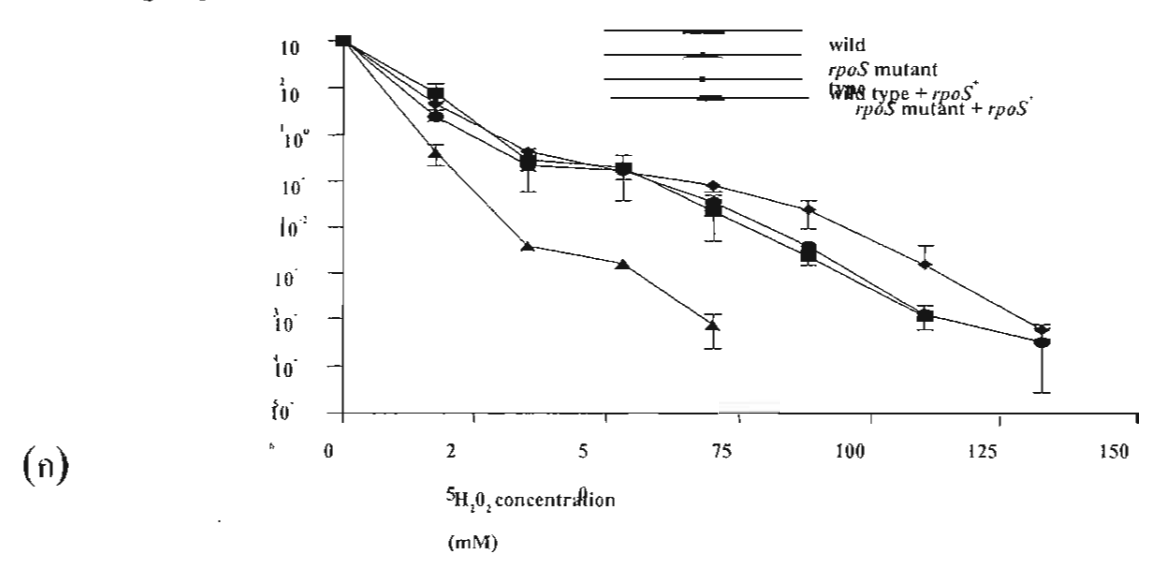
ได้ทำการสร้างสายพันธุ์ผ่าเหล่า rpoS B. pseudomallei mutant strain จากนั้นทำการศึกษากุณสมบัติหน้าที่ของเชื้อผ่าเหล่าเปรียบเทียบกับเชื้อปกติ รวมทั้งเชื้อ ที่นำยืน rpoS กลับเข้าไปในเชื้อผ่าเหล่า โดยศึกษาหน้าที่ในสภาวะต่างๆดังนี้

[.] สภาวะการอดอาหาร (Starvation)

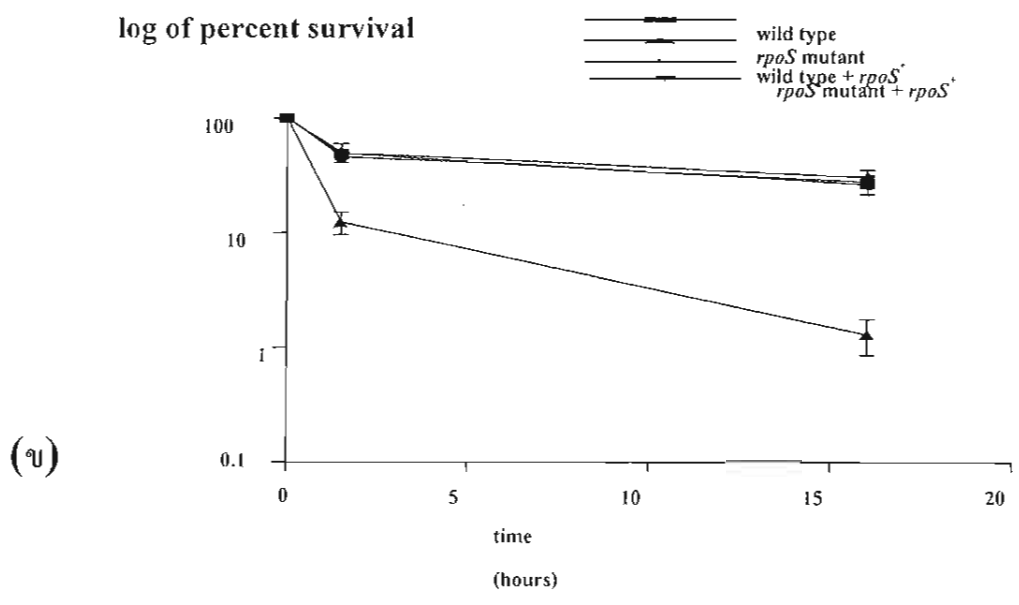


รูปที่ 2. เปรียบเทียบสภาวะการอยู่รอดของเชื้อในภาวะการอดอาหาร (Starvation) ของเชื้อผ่าเหล่า *rpoS* mutant เทียบกับเชื้อปกติ

1.2 สภาวะความเครียสจากใชโครเจนเปอร์ออกใชค์ log of percent survival

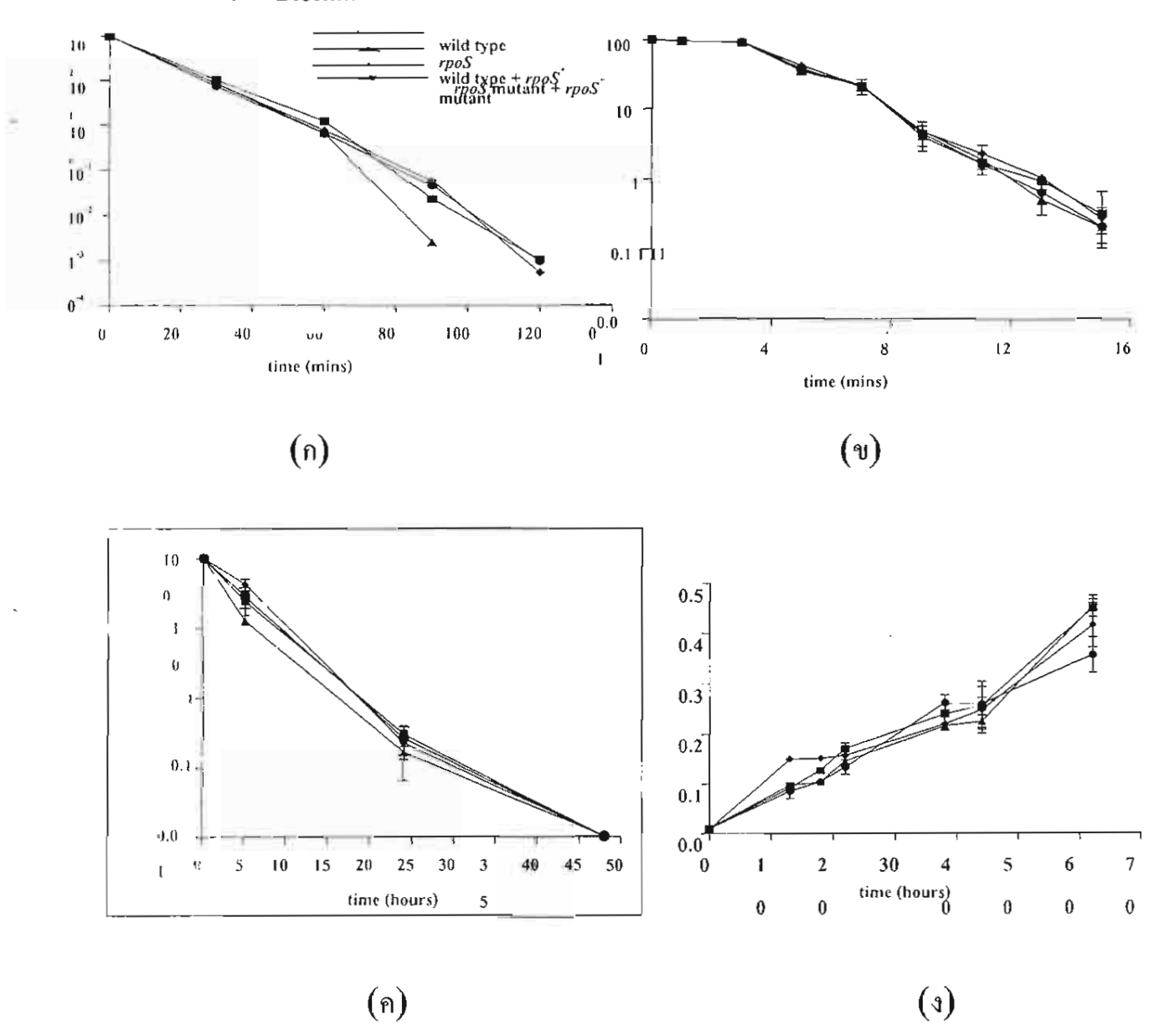


1.3 สภาวะความเครียสจากเมธิลไวโอโลเจน (Methyl Viologen)



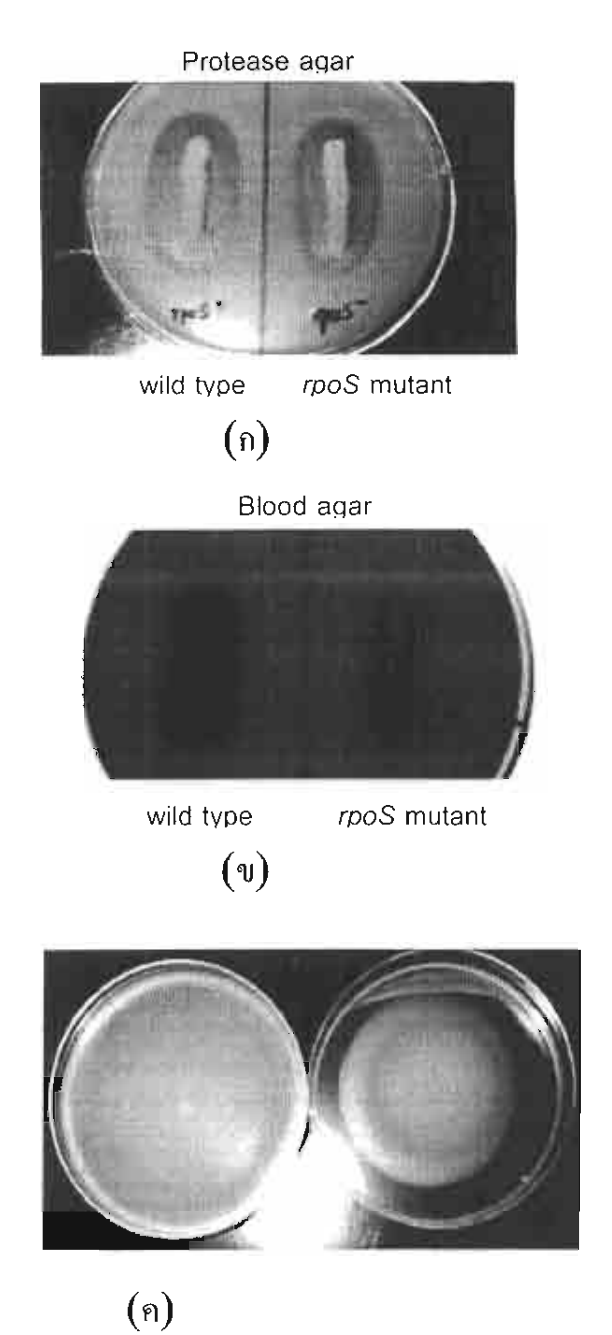
รู<u>ปที่ 3.</u> เปรียบเทียบสภาวะการอยู่รอดของเชื้อในภาวะความเครียส (Oxidative stress) จากไฮโครเจนเปอร์ออกไซค์ (ก) และเมธิลไวโอโลเจน (ข) ของ เชื้อผ่าเหล่า *rpoS* mutant เทียบกับเชื้อปกติ

1.4 สภาวะแวคล้อมอื่นๆ เช่น กรค pH 3, heat shock, hyperosmolarity และ การ สร้าง Biofilm



รูปที่ 4. เปรียบเทียบสภาวะการอยู่รอดของเชื้อในภาวะกรด pH 3 (ก), heat shock (ข), hyperosmolarity (ค) และ การสร้าง Biofilm (ง) ของเชื้อผ่าเหล่า rpoS mutant เทียบกับเชื้อปกติ

1.5 สภาวะการสร้างโครงสร้างอื่นๆ เช่น Protease, Hemolysin และ Flagellin



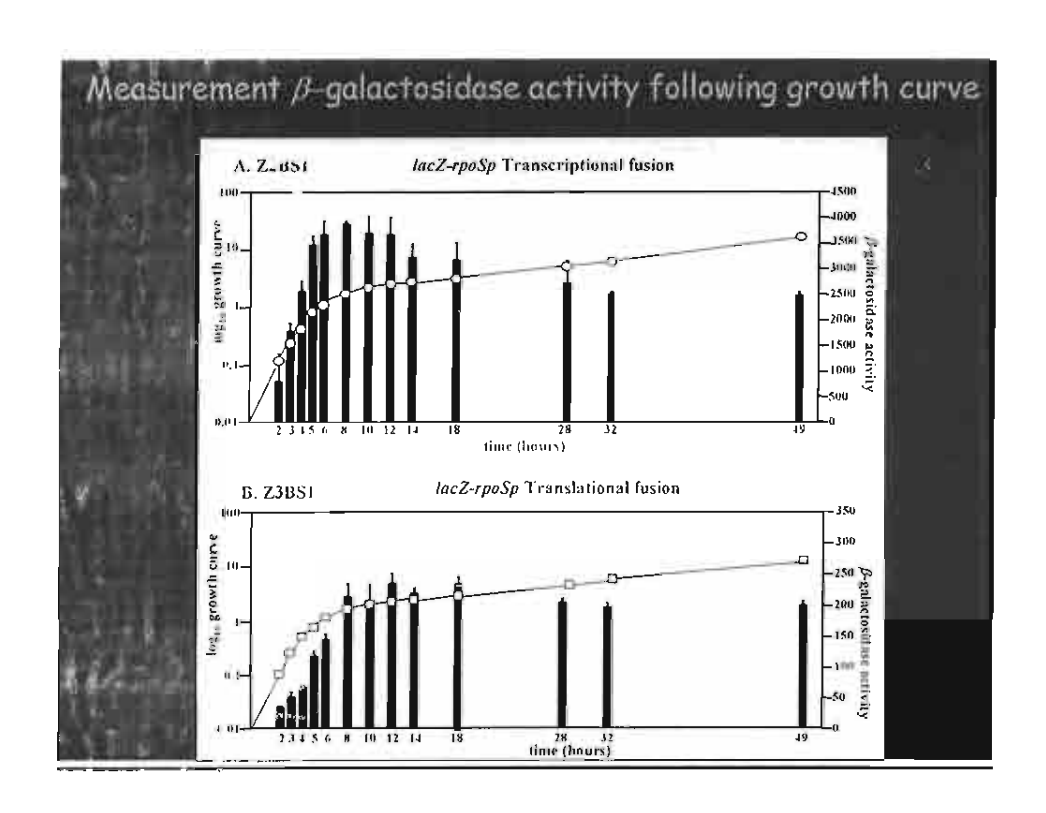
ร<u>บที่ 5.</u> เปรียบเทียบการสร้างสารและโครงสร้างของ Protease (ก), Hemolysin (ซ) เละ Flagellin (ค) ของเชื้อผ่าเหล่า *rpoS* mutant เทียบกับเชื้อปกติ

จากการศึกษานี้พบว่าหน้าที่และบทบาทของ rpoS เกี่ยวข้องโดยตรงต่อสภาวะ การอดภาหาร และสภาวะความเครียสจากออกซิเจน ทั้งชนิด ไฮโครเจนเปอร์ออกไซด์ เละเมธิลไวโอโลเจน ส่วนสภาวะอื่นๆไม่เห็นความแตกต่างอย่างเป็นนัยสำคัญ

2. สึกษากลไกการแสดงออกของ Sigma S

โดยการนำเอาส่วนโปรโมเตอร์ของยืน rpoS มาต่อเข้ากับพาหะที่วัตการ แสดงออกของยืนในระดับ Transcription และพาหะที่วัดการแสดงออกของยืนที่ระดับ Translation ที่มีส่วนของ beta-galactosidase เป็น reporter

2.1 ทำการตรวจวัดการแสดงออกของ ยืน *rpo*S ในระยะการเจริญเติบโตของเชื้อ ซึ่ง พบว่า เชื้อจะมีการแสดงออกของยืนดังกล่าวได้สูงสุดที่ Stationary phase และระดับ การาวบกุมขึ้นกับระดับ Transcription ดังแสดงในรูปที่ 6

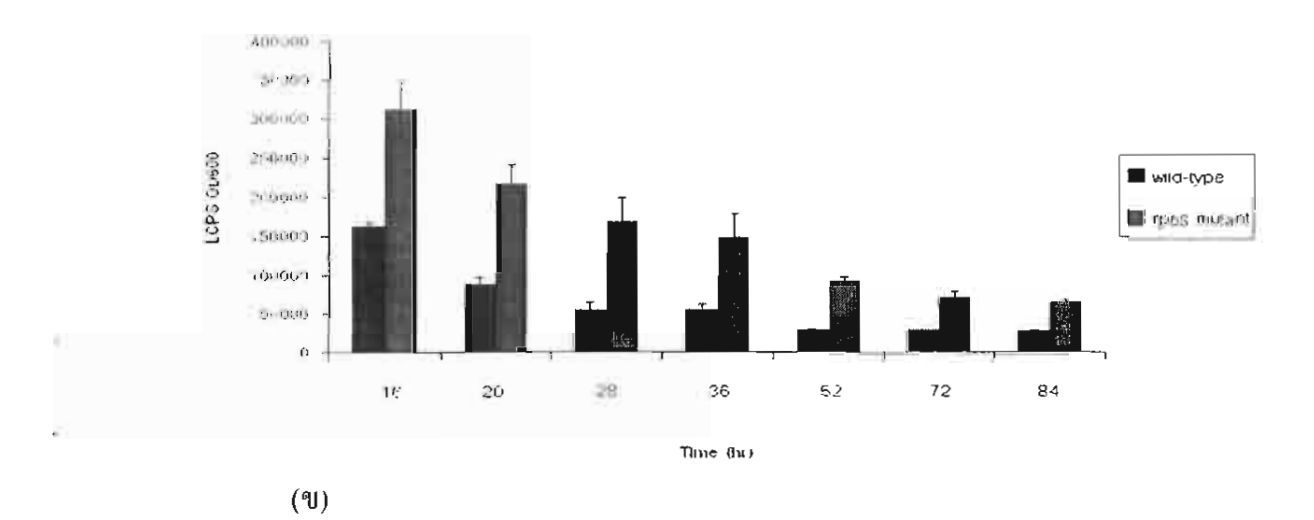


ร<u>ูปพื้อ.</u> แสดงการติดตามการแสดงออกของขึ้น rpoS (กราฟแท่ง) ในระยะการ จริญเติบโตของเชื้อ (เส้น $^{\circ}$) ในระดับ Trascription (บน) และ Translation (ถ่าง)

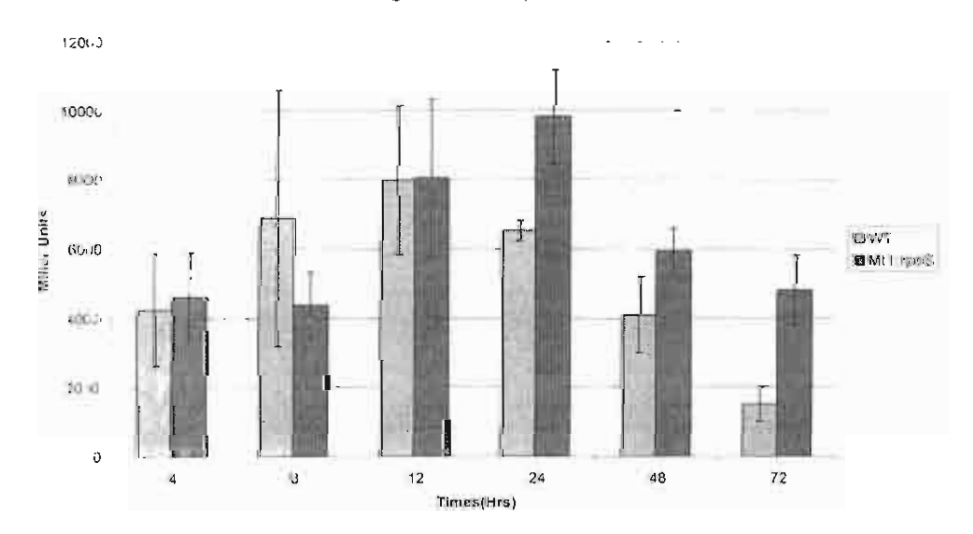
2.2 ติดตามการแสดงออกของยืน rpoS ของเชื้อที่ผ่าเหล่าจากการขาดยืน quorum sensing (I, autoinducer synthase) และ ทคสอบแบบยืนยันในการติดตามการ สร้างquorum sensing โดยการวัด Atoinducer product (AHL) ของเชื้อที่ผ่าเหล่า จากการขาดยืน rpoS ซึ่งผลที่ได้พบว่า rpoS และยืน I มีการควบคุมกันแบบลบ Negative Regulation

N-acyl homoserine lactone production

(n)

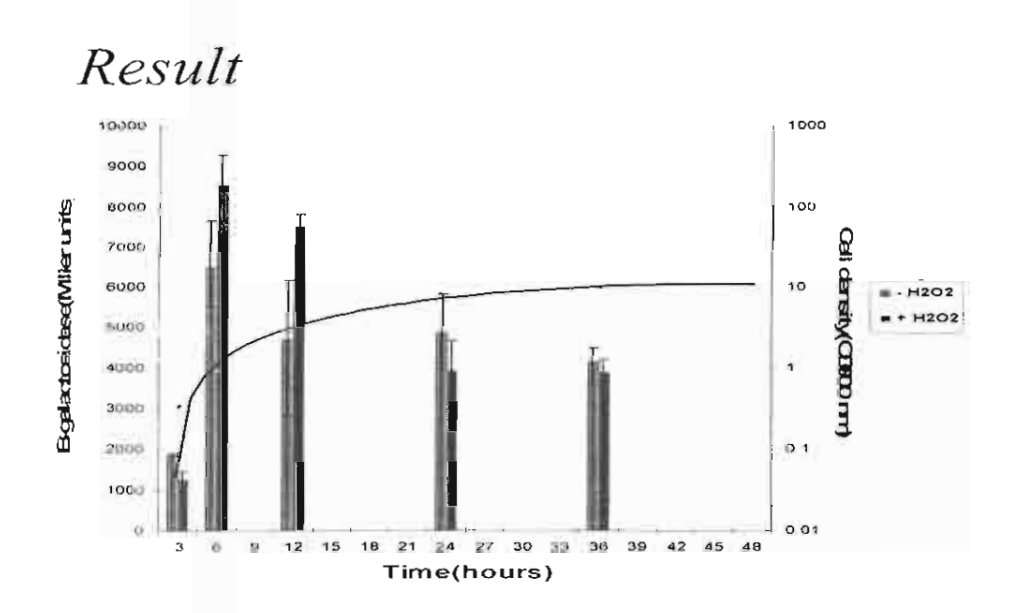


Beta galactosidase production

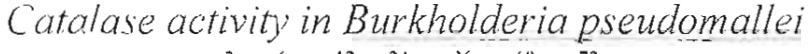


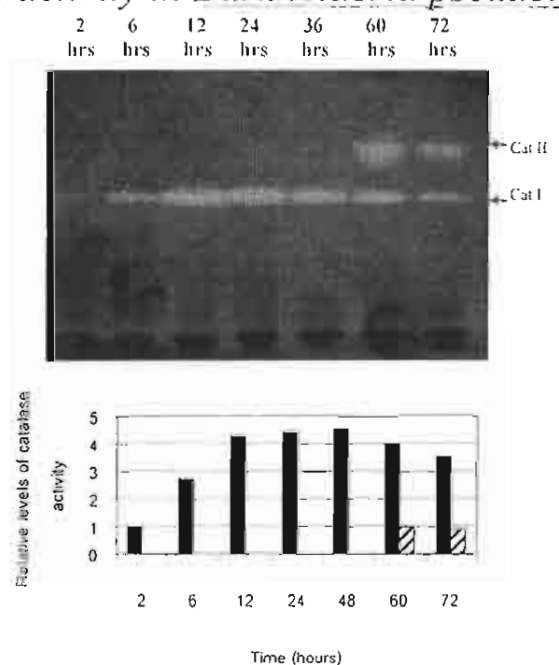
<u>รุบที่</u> 7. กราฟแลดงผลการแสดงออกของ AHL ภายใต้ การควบคุมโดย rpoS (ก) และ ผลการแสดงออกของ rpoS ภายใต้ระบบ quorum sensing (ข)

2.3 ติดตามการแสดงออกของยืน rpoS ภายใต้สภาวะความเครียสจากออกซิเจนโดย กระตุ้นด้วยใฮโครเจนเปอร์ออกไซค์ ผลที่ได้พบว่าการแสดงออกของยืน rpoS จะเพิ่มขึ้นในระดับ Transcription เมื่อถูกกระตุ้นด้วยใฮโครเจนเปอร์ออกไซค์ ในช่วงการเจริญเติบโตของเชื้อที่ Stationary phase ดังแสดงในรูปที่ 8.



<u>รูปที่ 8.</u> แสดงการติดตามการแสดงออกของยืน *rpo*S ของเชื้อปกติที่ไม่ ถูก (กราฟแท่งสีเขียว) และที่ถูกกระตุ้นด้วยไฮโครเจนเปอร์ออกไซด์ (กราฟแท่งสี แดง) ในระยะการเจริญเติบโตของเชื้อ (เส้น) ในระดับ Trascription 2.4 การศึกษาการควบคุมการแสดงออกของยืน rpoS ต่อการควบคุมการแสดงออกของยืนหรือกลุ่มยืน จากการใช้ข้อมูลทาง bioinformatics และการเทียบหาข้อมูลที่มีรายงานก่อนหน้านี้ พบว่าบทบาทของ rpoS ในการควบคุมยืนที่ เกี่ยวข้องกับ oxidative stress คือ Catalase ดังนั้นการวิจัยนี้จึงมุ่งประเด็นใน การศึกษาการแสดงออกของ Catalase ในเชื้อนี้ โดยใช้การวิเคราะห์เอ็นไซม์ ด้วยการแยกบนกระแสไฟฟ้าและใช้ Activity staining ซึ่งพบว่าเชื้อนี้มี Catalase 2 ชนิด คือ Catalase I และ Catalase II และยังพบว่า Catalase I แปล รหัสจากยืน katG ส่วน Catalase II แปลรหัสจากยืน katE (โดยการสร้างเชื้อที่ เม่าเหล่าจากการขาดยืน katE ซึ่งเป็นส่วนหนึ่งของงานวิจัยจากกลุ่ม คร.สุวิทย์ ล้อประเสริฐ) ดังแสดงในรูปที่ 9.

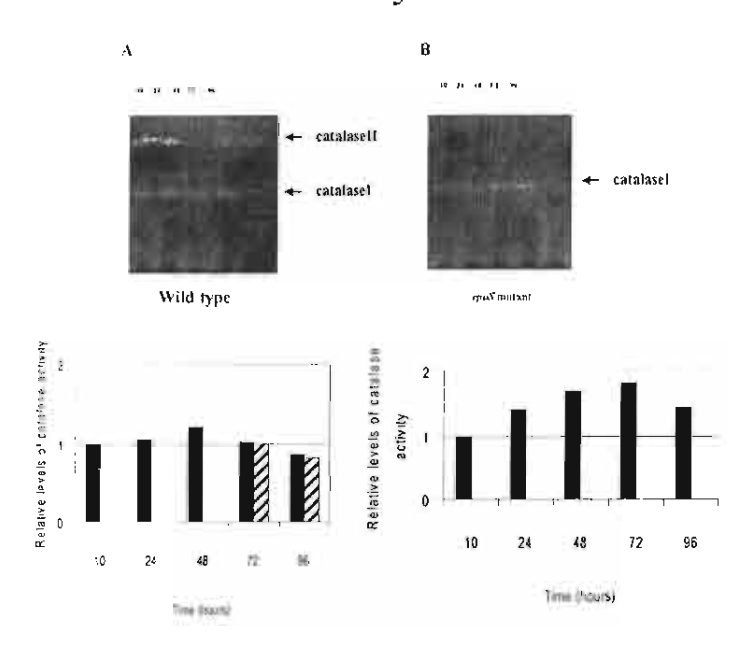




ร<u>ปที่ 9.</u> แสดงชนิดของเอ็นไซม์ Catalases, Catalase I และ Catalase II โดยการ ใช้ Native gel electrophoresis activities assay (บน) และการเปรียบเทียบระดับการ ทำงานของเอ็นไซม์ที่ระยะการเจริญของเชื้อ (ล่าง)

2.5 การศึกษาการควบคุมการแสดงออกของยืน rpoS ต่อการควบคุมการแสดงออกของยืน roos ต่อการควบคุมการแสดงออกของยืน roos กวบคุมการสร้างเอ็นใชม์ Catalase II โดยตรง เพราะเมื่อเชื้อขาดยืน rpoS ก็จะไม่พบการทำงานของ Catalase II ส่วน Catalase I จะมถูกควบคุมจาก rpoS ในช่วงที่เชื้อเริ่มเข้าสู่ Stationary phase และในภาวะที่เชื้อไม่มี rpoS เอ็นใชม์ Catalase I จะทำงานมากขึ้น เพื่อชดเชย การทำงานของ Catase II คังแสดงในรูปที่ 10

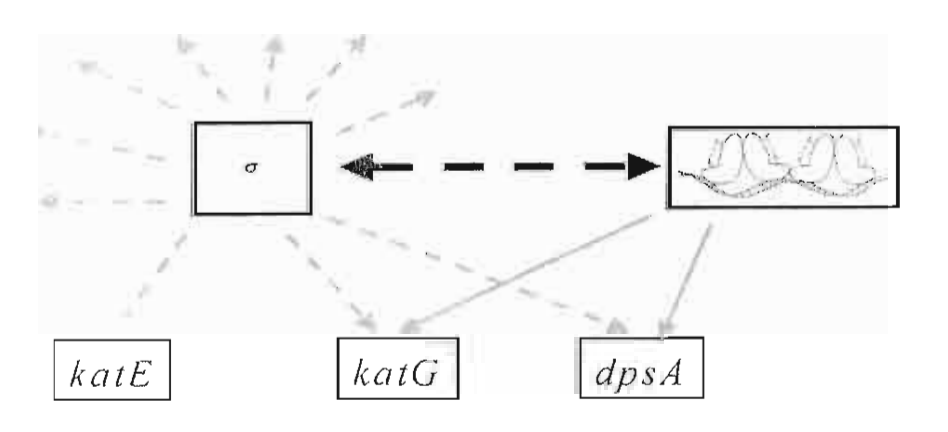
Catalase activity



ร<u>ูปที่ 10.</u> แสดงการทำงานของเอ็นไซม์ Catalase I และ Catalase II (บน) ชองเจื้อปกติ (A) เทียบกับเชื้อผ่าเหล่า (B) และระดับการทำงานของเอ็นไซม์ ในรูปบน (ล่าง)

2.6 การศึกษาการควบคุมการแสดงออกของยืน rpoS ต่อการควบคุมการแสดงออกของยืน rpoS ต่อการควบคุมการแสดงออกของยืนหรือกลุ่มยืน Catalases ในสภาวะ oxidative stress ที่เชื้อถูกกระตุ้นค้วย ไฮโดรเจนเปอร์ออกไซด์ ซึ่งพบว่า RpoS จะควบคุมการแสดงออกของ เอ็นไซม์ Catalase ทั้ง 2 ชนิดที่ต่างกัน โดยที่ Catalase II หรือ Kat E ถูกขาบคุมให้มีการแสดงออกโดยตรงจาก RpoS ในช่วงระยะของการเจิญของเชื้อ ที่แก่มาก (late stationary phase) และไม่สามารถถูกกระตุ้นด้วยไฮโดรเจนเปอร์ออกไซด์ ในขณะที่ Catase I หรือ Kat G ถูกควบคุมด้วย RpoS แบบ เ.บ และลักษณะอ้อม โดยกรณีที่เชื้อขาด rpoS การแสดงออกของ Kat G จะมากขึ้นในระยะการเจริญที่ Log phase

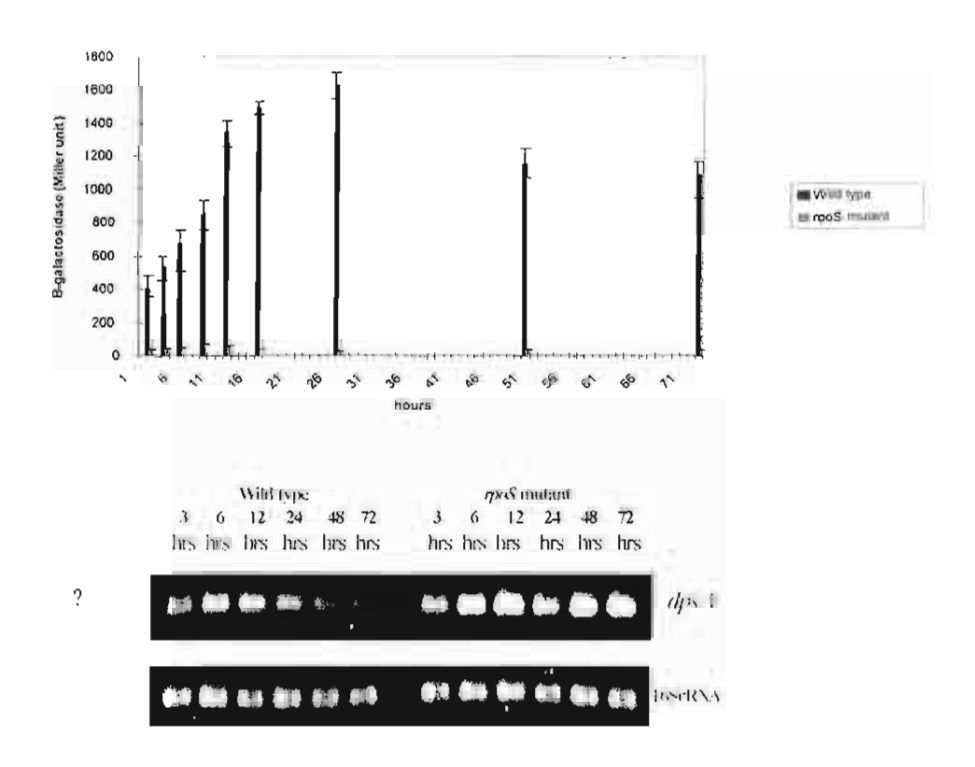
เนื่องจาก Kat G เป็นผลผลิตของยืน katG ซึ่งอยู่ใน operon ที่ควบคุม โดย OxyR ดังนี้จึงทำการศึกษาความสัมพันธ์ระหว่างระบบการควบคุมของ rpoS กับ ระบบ OxyR ดังแสดงใน รูปที่ 11



รูปที่ <u>10.</u> แสดงการควบคุมการแสดงออกของยืนภายใต้ระบบ rpoS และระบบ $O_{X} \nu R$ รวมทั้งสมมุติฐานความสัมพันธ์ระหว่าง 2 ระบบในภาวะ oxidative stress

2.7 ในการศึกษาความสัมพันธ์ของระบบ rpoS และระบบ OxyR โดยการติดตาม การแสดงออกของยืน katG และ dpsA พบว่าการแสดงออกของ DpsA จะ ขึ้นกับ RpoS ดังแสดงในรูปที่ 12

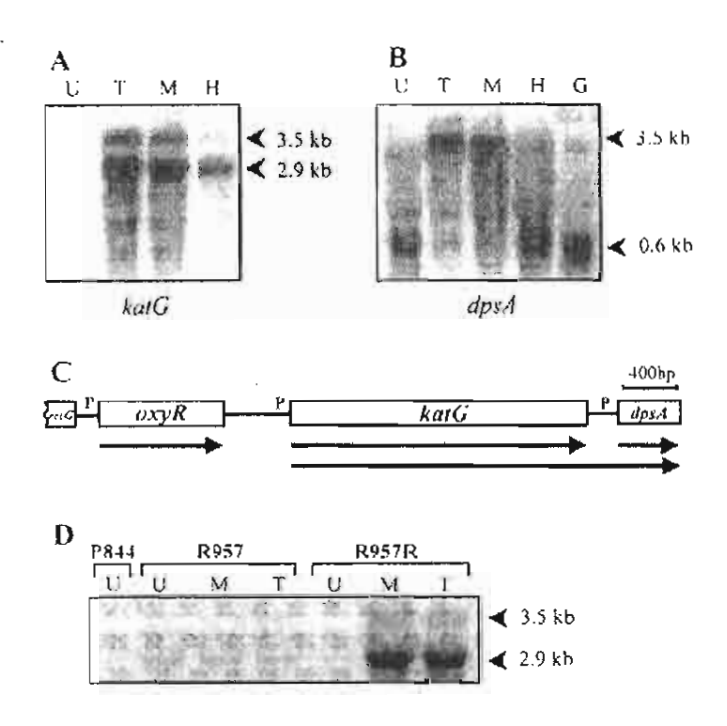
Results



รูป<u>ที่ 12.</u> แสดงผลการแสดงออกของยืน dpsA ในเชื้อปกติ เทียบกับ rpoS mutant โดยเทียบกับการติดตามโปรโมเตอร์ (รูปบน) กับการสร้างผลผลิต RNA, RT-PC'R (รูปล่าง, มีแถบล่างสุดเป็น positive control)

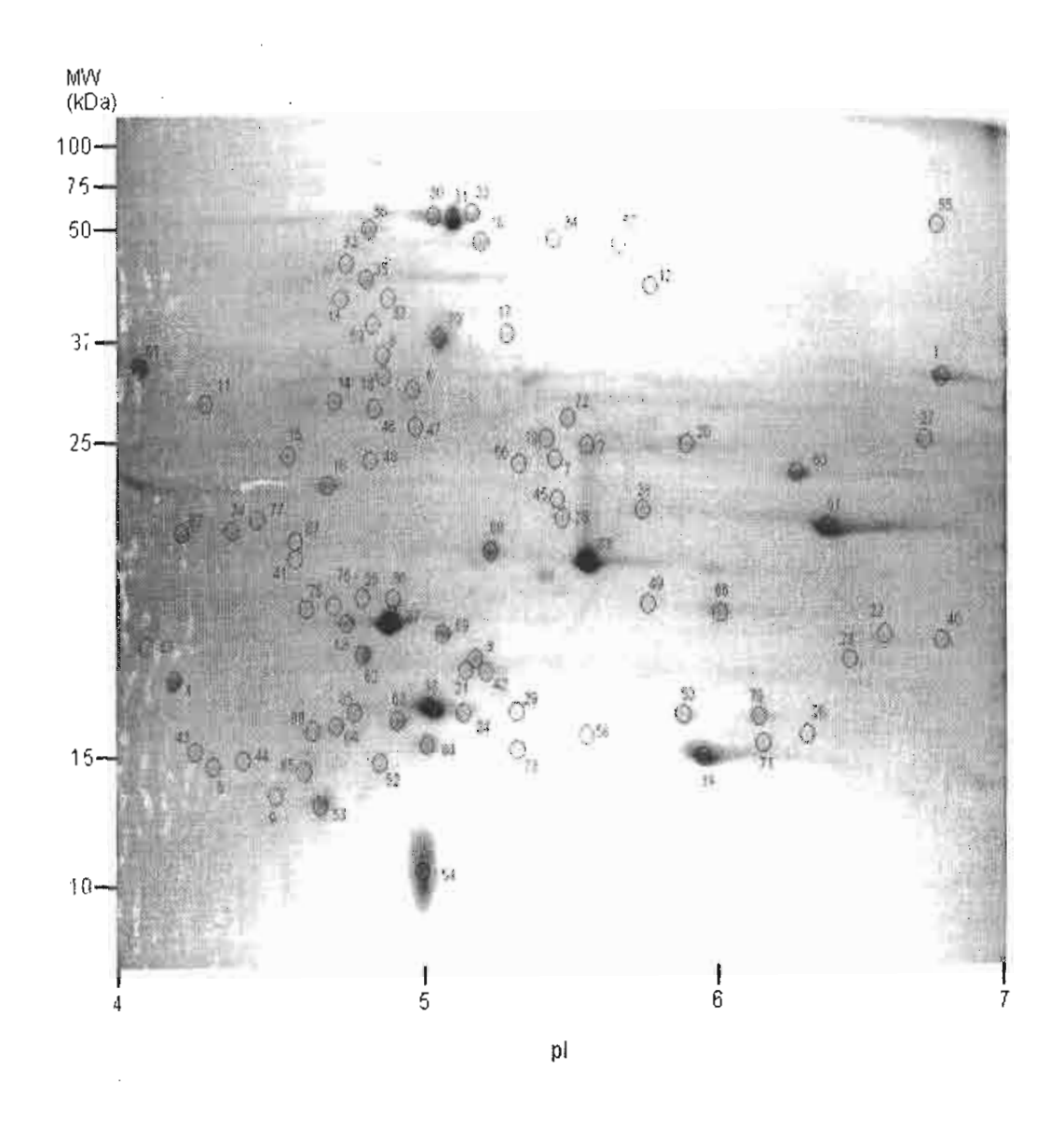
2.8 งากการหากวามสัมพันธ์ของ ระบบ rpoS และระบบ OxyR โดยการติดตาม การแสดงออกของยืน katG และ dpsA เพื่อให้เป็นการยืนยันว่าการแสดงออกของ dpsA เกี่ยวข้องโดยตรงกับการแสดงออกของ katG ภายใต้ OxyR หรือ เป็นแบบอิสระภายใต้ rpoS จึงได้ทำการศึกษาอาร์เอ็นเอ แล้วนำมาติดตามด้วย ยืน katG และ dpsA โดยวิธี Northern Blot hybridization ดังแสดงในรูป ที่ 13

ผลที่ได้สรุปได้ว่า dpsA สามารถแสดงออกได้ทั้งภายใต้ OxyR และ เป็นแบบ อิสระภายใต้ rpoS

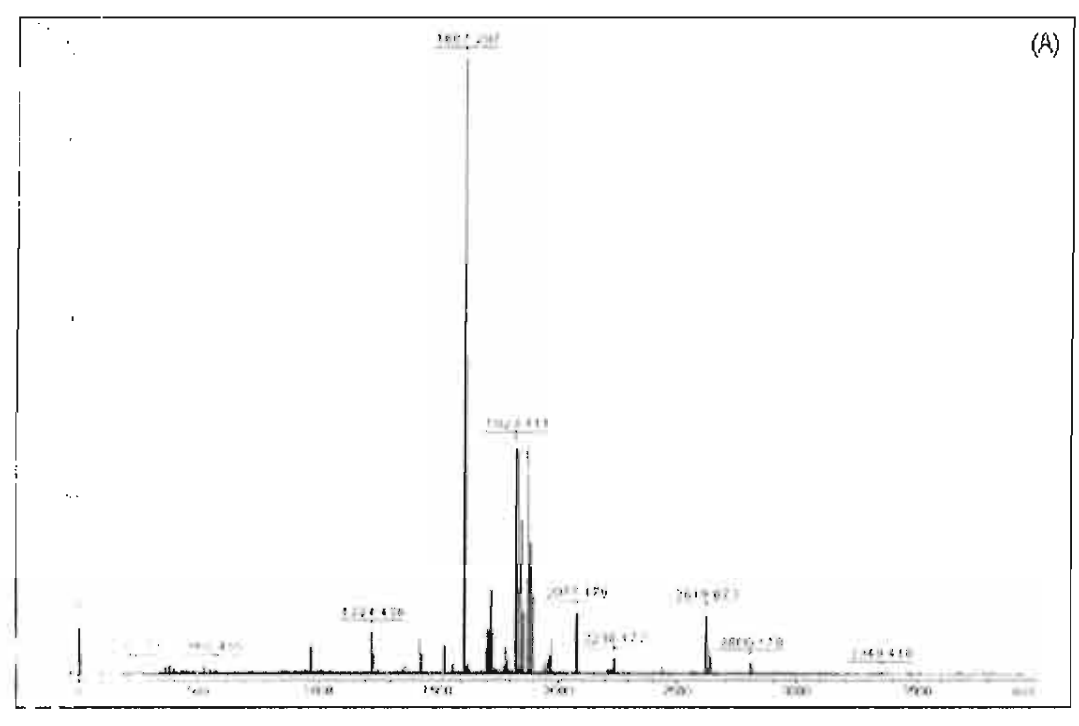


รูป<u>ที่ เ</u> ผลการทำ Northern Blot hybridization ที่คิดตามด้วย katG (A) และ dpsA (B) และภาพสรุปโครงสร้างการเรียงตัวของ katG และ dpsA และภาพ (D) เป็นผลการแสดงออกของ katG และ dpsA เมื่อเชื้อถูกกระตุ้นด้วย oxidative stress

- 3. การศึกษาณรควบคุมของ Sigma S ต่อการแสดงอยู่ของยืนทั้งก่อนและหลังยืน
 ropS
 จุดมุ่งหมายในการศึกษาในวัตถุประสงค์นี้ เพื่อจะได้สืบหายืน หรือการ
 แสดงออกของ ยืน และกลุ่มยืนอื่นๆที่อยู่ภายใต้การควบคุมของ Sigma S ทั้ง
 แบบก่อน และหลัง หรือ เพิ่ม และลด (Up and Down regulation) ที่ยังไม่มี
 การค้นพบหรือรายงานมาก่อน โดยอาศัยเทคนิคทาง 2-D gel
 electrophoresis ซึ่งจะสามารถวิเคราะห์โปรตีน หรือ กลุ่มโปรตีนที่ถูก
 แสดงออกภายใต้การควบคุมของ Sigma S ได้
 - 3.1 ใบเกื้องต้นผู้วิจัยได้ทำการศึกษาแบบแผนของโปรตีนของเชื้อปกติใน
 ภาวะที่มีการเจริญเติบโตช่วง Stationary phase เพื่อจัดทำเป็นแผนที่
 อ้างอิง (Reference map) ซึ่งสามารถวิเคราะห์ตำแหน่งของโปรตีน
 ต่างๆใน 2-D gel ที่ย้อมด้วย comassei blue จำนวน 550 ตำแหน่ง
 และวิเคราะห์ชนิดของโปรตีน ได้ 88 ตำแหน่ง ด้วยวิธี MALDI-TOF
 MS ซึ่งแสดงตัวอย่างผลการวิเคราะห์ในรูปที่ 14 และรูปที่ 15 แสดงผล
 ตัวอย่างการวิเคราะห์ชนิดของโปรตีน ด้วย MALDI-TOF MS โดย
 พบว่า ในจำนวน 88 ตำแหน่ง มีโปรตีนแตกต่างกัน 77 ชนิด ในช่วงของ
 pI 4-7 และขนาดของโปรตีน 20- 100 kDa คังแสดงในรูปที่ 14
 โดยพบชนิดของโปรตีนที่เป็นทั้ง membrane, metabolic, stress และ
 อื่นๆ คังสรุปเป็นตารางที่ 1 ส่วนในตารางที่ 2 แสดงให้เห็นว่ามีโปรตีน
 บางชนิดที่ทำการวิเคราะห์มีลักษณะของประจุ และ/หรือขนาดใน
 ตำแหน่งที่แตกต่างได้ ซึ่งแสดงว่าโปรตีนเหล่านั้นมี isoform pattern



รูปที่ 14. แสดงแบบแผนโปรตีนองค์รวมใน 2-D gel electrophoresis ที่ pI 4-7 และ M.W. 10-100 kDa จุดที่วงไว้เป็นตำแหน่งโปรตีนที่นำไปศึกษาโดย MALDITOF MS ซึ่งทั้งสิ้น 88 โปรตีนได้แสดงผลในตารางที่ 1



rF_100	. 5	93.80	kDa ohapem	onin 8. pse	udomallei, Si	core 126		(E
Start		P 1656	libearred	Ar (exp1)	Hr(cale)	0r11.4	HIXE	Sequence
5		1)	966.17	963.17	961.46	0.71	G	DVVFGDSAR
16		211	1373.27	1112.26	1372.74	0.48	0	HVEGVHILAHAVK Skidotins (K)
υi		191	7077 10	2076.17	2017.43	-0.06	U	TSDNAGDGTTTATVLAQSIVB
2126		117	1357.25	1356.24	1396.61	0.36	n	YVASCIONPHOLE 2 ORIGINATION (R)
117	-	161	1009 16	1000.16	1888.91	-0 76	. 0	EIAQVGA I SANSDS STUDR
167		191	1823.11	1822.10	1822.84	0.74	a	SLADELDVVECHOFOR
2482	_	137	1039 00	(0.16.07	10.10.00	-0.11	Ü	SLADEL DVVEGROFPR Consider ton (B)
190		210	1527.17	1526.17	1526.74	0.57	Q	CYLSPYF IMHYDK
211		221	1771.24	1720.23	1720.95	-0.72	U	AND KHEKATT HPK
2 12	-	2.1	1224 44	1221.43	1999.71	.0.28	O	DLLPVLEQVAK
201		111	26 11 . 18	2630.18	76 (0.17	-0.19	0	ANLEDIA ILT SURVIA PETER, TLEK DELING LOO F
320		145	1672 18	1071.17	1071.92	-0.75	0	HITTHIOGAGEAVHIERR
353		16.2	1427.17	1426.16	1426.62	0.46	0	LUIERATEDYDR
16.5	_	12L	1607 30	1606.29	1606.90	-0.61	0	NAVEEG TYPGGGYAL TR
424		441	1713.21	1712.20	1712.91	0.70	0	PATAGE TOWNAD GHAGIR
151		171	1969-20	1960 19	1969.05	-0 06	0	DIALUGRAV ZAANVARK
153		473	1970.21	1969.20	1969.05	0.16	0	UTVYNGEERASVVVAAVAAGK

รูปที่ เร. แสดงผลตัวอย่างการวิเคราะห์ชนิดของโปรตีน ด้วย MALDI-TOF MS

Table 1. Identification of Burkholderia pseudomallei proteins in non-redundant sequence databases (National Center for Biotechnology) using Mascut search enging and data from MALDI-TOF mass spectromotry

Functional category and protein name	Spot number	Accession number	Theo/exp pl	Theo/exp MW (kDa)
Cell surface Porin related exported protein (OmpC) Mechanosensitive ion channel (YggB) Phosphatidyl ethanolamine-binding protein Bacterial celi wall degradation protein (LysM) Invasion protein B family (SpaK) Invasion plasmid antigen (IpaD) Chitin binding protein (CbpD) Aspartyl/asparaginyl beta-hydroxylase Outer membrane protein a precursor (OmpA)	- 0 % 4 v v r & o	YP_111684 AAK49791 YP_107676 YP_108071 YP_111548 YP_111535 YP_111433	7.78/6.75 10.2/5.60 5.26/5.20 4.54/4.20 4.61/4.31 5.13/5.02 5.96/5.50 9.80/4.89	40. 1/34.5 29.3/25.0 18.3/18.5 16.4/17.5 15.2/14.5 34.0/33.0 24.0/24.5 34.6/36.0 24.3/13.5
Energy metabolism Phosphoglucomutase Thioredoxin protein Phospho-2-dehydro-3-deoxyheptonate synthase Enolase (Eno) Electron transfer flavoprotein alpha-subunit Family C56 unassigned peptidase Succinyl-CoA:3-ketoacid-coenzyme A transferase subunit B 3-oxoacyl-(acyl-carrier-protein) synthase Family M19 non-peptidase homologue Enoyl-CoA hydratase (PaaG) Succinyl-CoA:3-ketoacid-coenzyme A transferase subunit A Malonyl CoA-acyl carrier protein transacylase Peptidyl-prolyl cis-trans isomerase B NADPH-dependent FMN reductase ATP synthase epsilon chain Riboflavin synthase alpha chain Riboflavin synthase alpha chain Rhodanese-related sulfurtransferases (GIpE) 3-hydroxyisobutyrate dehydrogenase Sedoheptulose 7-phosphate isomerase	01111111111111111111111111111111111111	YP_109262 YP_107481 YP_109433 YP_109094 YP_109094 YP_110733 YP_109552 ZP_00221810 YP_10569 YP_10569 YP_10569 YP_108841 YP_108841 YP_10898 YP_109988 YP_109988 YP_109988 YP_109988	5.23/5.25 4.71/4.29 5.97/5.79 4.86/4.75 4.72/4.69 4.70/4.69 5.22/5.33 5.77/4.88 5.31/5.43 5.56/5.93 5.76/5.16 6.51/6.45 6.51/6.45 6.51/6.45 6.19/6.72 5.58/5.75	50.2/49.5 33.4/32.0 39.1/44.0 45.9/42.5 31.6/32.5 22.3/24.0 42.4/37.0 36.1/35.0 28.5/26.5 25.4/25.0 32.5/18.0 17.9/19.0 20.3/18.5 14.9/17.0 21.7/20.5 18.0/15.5

	Spot	Acession number	Theo/exp pl	Theo/exp MW (kDa)
G'yoxalase family protein	29	YP_103534	5.55/5.35	16.2/16.5
Cellular process 3s				
60 kDe chaperonin	30	VP 109293	5 13/5 DC	67 3/67 0
60 kDa chaperonin	33	VP_109293	5 13/5 14	57.1157.0
60 kDa chaperonin	35	YP 109293	5 13/4 73	57 1/47 5
GroEL	33	AAÖ46033	5.18/5.25	56 5/57 0
GroEL	34	AAO46033	5,18/5.50	56,5/50.0
Groel	35	AAO46033	5.18/4.77	56.5/45.0
Chaperonin GroEL	36	AAG32927	5,13/4.85	57.2/55.0
Cell division protein (FtsZ)	37	YP_109616	4.87/4.85	41.7/42.0
HSP20/alpha crystalin family protein	38	YP_112291	5.14/5.06	16.0/16.0
10 KDa chaperonin (GroES)	38	YP_109294	5.78/5.95	10.5/15.0
Heat shock Hsp20-related protein	40	YP_109511	6.30/6.77	15.2/19.0
Heat snock protein (GrpE)	14	YP_109423	4.78/4.58	19.7/21.5
Regulatory functions				
DnaK suppressor protein (DksA)	42	YP_106833	5.26/5.25	16.1/18.0
Response regulator protein (AmiR)	43	YP_111254	5.36/4.25	22.0/15.5
Multiple antibiotic resistance regulatory protein (MarR)	44	YP_111785	5.36/4.41	17.0/15.0
Response regulator protein (TtrR)	45	YP_108899	5.40/5.49	23.7/23.0
Regulatory protein (IcIR)	46	YP_108891	8.45/4.84	29.9/30.5
Sigma54-dependent transcription suppressor (PspA)	47	YP_108702	5.11/5.05	24.5/29.5
Kesponse regulator protein	48	YP_110651	5.26/4.85	26.9/24.5
Single-strand binding protein (SSB)	94	YP_107172	5.51/5.77	18.7/20.0
rucieoside dipnospnate Kinase	50	YP_108130	5.61/5.89	15.6/15.5
Transcription				
Transcription elongation factor (GreA)	51	YP_107977	4.50/4.10	17.0/19.0
ranscription initiation factor	52	YP_111848	5.04/5.35	13.1/15.0

Table 1. Continued

Functional category and protein name	Spot number	Acession	Theo/exp pl	Theo/exp MW (kDa)
Translation EOS chocome proteins 177/40				
500 ribose sotein L//L12	53	YP_109816	5.10/4.64	11.1/13.0
	ψ. 4.	YP_109816	5.10/5.00	11.1/11.0
INNA hucleotto /transferase	55	YP_106892	7.25/6.75	45.2/55 0
Peptidyi-tRNA nyarolase	26	YP_107145	9.22/5.35	22.0/24.5
Seryl-tRNA synthetase	57	YP_109196	5.53/5.70	47.7/50.0
Fanslation initiation inhibitor (TdcF)	58	YP_112061	5.30/5.60	14.4/15.5
Stress responses				
Calcineurin-like phosphoesterase	59	YP 110898	9 96/4 77	700/00 0
Oxidoreductase (AhpC)	09		5.50/4.7 7.5/8.20	
Phasin-like protein (PhaZ)	61	YP_108894	5.96/6.41	19.9/22.0
Phasin-like protein (Phaz.)	62	YP_108894	5.96/4.83	19.9/18.5
Phasin-like protein (PhaZ)	63	YP_108894	5.96/4.95	19.9/15.5
Phasin-like protein (PhaZ)	64	YP_108894	5.96/4.70	19.9/15.5
Phasin-like protein (PhaZ)	65	YP_108894	5.96/4.58	19.9/15.0
Superoxide dismutase (SodA)	99	YP_107505	5.74/6.00	21.1/20.0
nyuroperoxide reductase	29	YP_108693	5.05/4.91	20.5/19.5
This consider (4000)	89	YP_108693	5.05/4.79	20.5/19.5
	69	YP_109581	5.12/5.14	17.4/19.0
Oliversal stress-related protein (UspA)	20	YP_110056	5.78/6.14	16.6/15.5
Giyoxalase/Dieomycin resistance/Dioxygenase supertamily	7.1	YP_110250	5.75/6.20	14.8/15.5
Phage-related proteins Phage-related DNA polymerase Bacteriophage tail completion protein R (GpR)	72	YP_108778 YP_111086	5.10/5.52	30.5/30.0
Unknown function		I		
Uncharacterized conserved protein	74	YP 107552	4 64/4 38	73 9/22 0
Uncharacterized conserved protein	75	YP_109700	6.43/4.62	18,4/20.0
Uncharacterized conserved protein Uncharacterized conserved protein	76	YP_110194	4.85/4.70	20.7/20.0
Uncharacterized conserved protein	78	YP_107931	4.67/4.49	20.7/22.5
		I		

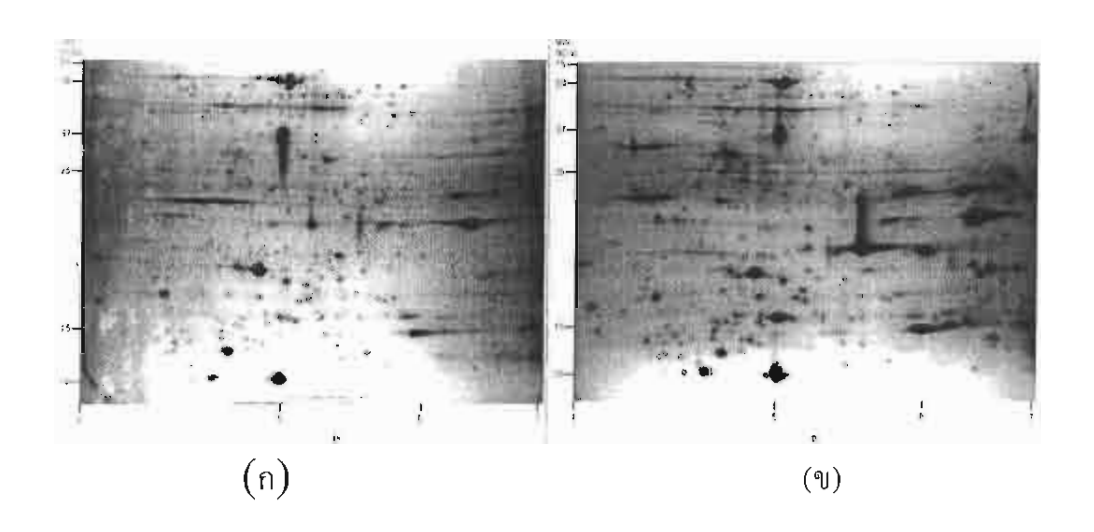
Table 1. Continued

Functional category ad protein กลุกค	spot number	Acession number	Theo/exp pl	Theo/exp MW (xDa)
Hypothetical proteins				
proteir	79	YP 108169	5.14/5.09	23.4/37.0
Hypothetical protein BPSL1549	80	YP_108169	5.14/5.25	23.4/22.0
Hypothetical protein BPSL1958	81	YP_108556	4.38/4.10	36.1/35.5
Hypothetical protein BPSL0348	82	YP_106975	6.59/4.21	28.0/22.0
Hypothetical protein BPSS0212	83	YP_110232	5.34/5.60	22.5/21.5
Hypothetical protein BPSS0683	84	YP_110696	5.09/5.04	13.1/15.0
Hypothetical protein BPSL0599	85	YP_107228	4.94/4.75	13,9/16.0
Hypothetical protein BPSL0349	86	YP_106976	5.04/4.89	20.3/20.5
Hypothetical protein BPSL0213	87	YP_110233	6.65/4.58	21.7722.0
Hypothetical protein BPSL1431	88	YP_111443	5.91/4.60	17.2/16.5

Table 2. Summary of the proteins which have isoforms

Protein name	Spot number	Modification
60 kDa chaperonin	30-32	Charge and mass differences
GroEL	33-35	Charge and mass differences
50S ribosomal prc ein L7/L12	53-54	Charge and mass cifferences
Phasin-like proteir (PhaZ)	61-65	Charge and mass cifferences
Hydroperoxide reductase	67-68	Charge diference
Hypothetical protein BPSL1549	79-80	Charge and mass differences

3.2 การวิเคราะห์หาโปรตีน หรือกลุ่มของโปรตีนที่อยู่ภายใต้การควบคุมของยืน rpoS โดย 2-D gel electrophoresis เทียบกับ reference map จากการที่มีแผนที่โปรตีนองค์รวม จึงได้นำมาเป็นแผนที่เพื่อเปรียบเทียบกับแบบแผนโปรตีนของเชื้อที่ขาด ยืน rpoS และวิเคราะห์หาผลผลิตโปรนตีนที่ขาดหายไป ก็สามารถระบุได้ว่ามีโปรตีนใดหรือยืนใดที่อยู่ภายใต้การควบคุมของ ยืน rpoS โดยผลการศึกษาดังแสดงในรูปที่ 16. และโปรตีนที่อยู่ภายใต้การควบคุมของ ยืน rpoS ได้สรุปในตารางที่ 3



รูปที่ 16. แสดงแบบแผนของโปรตีนรวมระหว่าง เชื้อที่ขาด ยืน rpoS (ก) เทียบกับเชื้อปกติ (ข)

ทารางที่ 3. Global analysis of the Burkholderia pseudomallei RpoS regulon by proteomics

Spot paitem	No. of spots	% of total spots
Total number of spots	475	100
Spots unique in wild-type	26	5.5
Spots unique i. Arvos	16	3.4
Spots upregulated in wild-type	155	32.6
Spots upregulated in ArpoS	37	7.8

a. Spots of wild-type plus spots that are exclusively present in the *rpoS* mutant. The protein spot pattern of the wild-type was compared with that of the *rpoS* mutant. The wild-type spot pattern was used as reference for protein matching by using the PDQuest software version 7.2 (Bio-rad). Only spots that differed in intensities by at least 3.0 fold were considered.

ดาราจ์ที่ 4. Identification of RppS-regulated proteins by MALD: :TOF MS peptide mass fingerprinting

Furictional category and protein name	Spot number	Regulation	Accession	Theo/exp pl	Theo/exp MW (kDa)	
Cell surface Mechanosensitive ion channel (YggB) Invasion protein B family (SpaK) Aspartyl/asparaginyl beta-hydroxylase	6510 3706 1109	a a a	AAK49791 YP_111548 YP_111434	10.2/5.6(4.61/4.31 9.80/4.89	29.3/25.0 15.2/14.5 34.6/36.0	
Energy metabolism Enolase (Eno) Family C56 unassigned peptidase 3-oxoacyl-(acyl-carrier-protein) synthase Enoyl-CoA hydratase (PaaG) Succinyl-CoA:3-ketoacid-coenzyme A transferase subunit A Malonyl CoA-acyl carrier protein transacylase Peptidyl-prolyl cis-trans isomerase B NADPH-dependent FMN reductase 3-hydroxyisobutyrate dehydrogenase Glyoxalase family protein	3371 2502 5710 6502 7503 5201 9302 8205 9606		YP_108866 YP_110733 ZP_00221810 YP_109638 YP_108553 YP_107960 YP_107960 YP_112348 YP_112348 YP_113348	4.81/4.69 4.72/4.56 5.22/5.33 5.31/5.43 5.56/5.93 5.76/5.16 6.51/6.45 6.19/6.72 5.55/5.35	45.9/42.5 23.9/24.5 42.4/37.0 28.5/26.5 25.4/25.0 32.5/18.0 17.9/19.0 20.3/18.5 30.2/25.0	
Ceilular processes HSP20/alpha crystallin family protein Heat shock Hsp20-related protein	4105 9307	a d n	YP_112291 YP_109511	5.14/5.06 6.30/6.77	16.0/16.0 15.2/19.0	
Transcription Transcription elongation factor (GreA)	0202	Up	YP_107977	4.50/4.10	17.0/19.0	
Translation tRNA nucleotidyltransferase Seryl-tRNA synthetase	9901 6807	Up Down	YP_106892 YP_109196	7.25/6.75 5.53/5.70	45.2/55.0 47.7/50.0	
Stress responses Phasin-like protein (PhaZ) Phasin-like protein (PhaZ) Phasin-like protein (PhaZ) Superoxide dismutase (SodB)	8402 3205 2104 8304	2222	YP_108894 YP_108894 YP_108894 YP_107505	5.96/6.41 5.96/4.83 5.96/4.58 5.74/6.00	19.9/22.0 19.9/18.5 19.9/15.0 21.1/20.0	

Table 2 Continued

Functional category and protein name	Spot number	Regulation	Acession number	Theo/exp pl	Theo/exp MW (kDa)
Glyoxalase/Bieomycin resistance/Dioxygenase superfamily	8102	ďΩ	YP_110250	5,75/6.20	14.8/15.5
Unknown function Uncharacterized conserved protein	2309	Down	YP_109700	6.43/4.62	18.4/20.0
Hypothetical proteins Hynothetical protein RPSI 1549	5303	9	YP 108169	5.14/5.25	23.4/22.0
Hypothetical protein BPSL1958	0704	3 2	YP_108556	4.38/4.10	36.1/35.5
Hypothetical protein BPSS0212	6303	- <u>a</u>	YP_110232	5.34/5.60	22.5/21.5
Hypothetical protein BPSL0213	2315	g.	YP_110233	6.65/4.58	21.7/22.0
Hypothetical protein BPSL1431	3101	п	YP_111443	5.91/4.60	17.2/16.5

วิจารณ์และสรุปผลการทดลอง

ผลจากการศึกษาใน โครงการวิจัยนี้ พบว่าเชื้อผ่าเหล่านี้จะมีความไวต่อสภาวะ การอดอาหาร สภาวะความเครียสจากออกซิเจนทั้งชนิดไฮโครเจนเปอร์ออกไซด์ และ ชนิดเมธิไวโอโลเจนเมื่อเทียบกับเชื้อสายพันธุ์ปกติ ในการวิเคราะห์การแสดงออกของ ขึ้นซิกม่า-เอสโดยการใช้โปรโมเตอร์ของยืนเชื่อมต่อกับพลาสมิดพาหะที่แสดง กระบวนการทรานสคริปชั่นติดตามโดยการวัดปฏิกิริยาของเบต้า-กาแลคโตไซเคส พบว่าการแสคงออกของซิกม่า-เอสจะเพิ่มขึ้นในช่วงการเจริญเติบโตของเชื้อที่ Stationary phase และสัมพันธ์กับการผลิตสารหลั่ง Quorum sensing ในช่วงระยะ เดียวกันในลักษณะการควบคุมแบบลบ อีกทั้งการแสดงออกของซิกม่า-เอสในช่วงการ เทิบโตนี้จะเพิ่มมากขึ้นเมื่อเชื้อได้รับไฮโครเจนเปอร์ออกไซด์ ้สจากออกซิเจนนี้ ได้มุ่งประเด็นการทำงานของเอ็น ไซม์แคตตาเลสของเชื้อ pseudomallei ซึ่งพบว่าเชื้อนี้มีการสร้างเอ็นไซม์แคตตาเลส 2 ชนิค คือ ชนิค I ซึ่งแปล รหัสจากยน kat G และ ชนิด II ซึ่งแปลรหัสจากยืน kat Eโดยพบว่าการแสดงออกของ ยืน $k.d > \sqrt[5]{u}$ กับการควบคุมของซิกม่า-เอสโคยตรง และไม่ถูกเหนี่ยวนำโคยไฮโครเจน เบอร์อยกใชด์ ในขณะที่ ยืนในกลุ่มโอพอรอน oxyR, kat G และ dps A ถูกควบคุมโดย ชิกม่า-เอส ภายในการเหนี่ยวนำโดยไฮโดรเจนเปอร์ออกไซด์ ซึ่งผลการศึกษานี้ได้ข้อมูล ใหม่ที่ยังไม่มีรายงานมาก่อนเกี่ยวกับความสัมพันธ์ของการควบคุมในเครือข่ายระหว่าง และเพื่อเป็นการค้นหายืนหรือกลุ่มยืนอื่นๆที่ถูกควบคุมการ OxyR เสดงออกของยืนเหล่านั้นโดยซิกม่า-เอส ได้อาศัยเทคนิคการแยกโปรตีนองค์รวมแบบ 2 มิติ รวมกับการวิเคราะห์โปรตีนโดย MS-MALDI-TOF เริ่มจากการสร้างแผนที่อ้างอิง พองโปรตีนองครามจากเชื้อ B. pseudomallei เพื่อใช้เป็นข้อมูลอ้างอิงและทำการ เปรียบเทียบกับแบบแผนของโปรตีนองค์รวมของเชื้อที่ผ่าเหล่า จะสามารถพบโปรตีนที่ ขายายไปเมื่อเชื้อขาคยีนซิกม่า-เอส เช่นพบว่าซุปเปอร์ออกไซด์ดีสมิวเตส ขาคหายไป ใบเชื้อที่ผ่ายสล่าแสดงให้เห็นว่าการแสดงออกของโปรตีนดังกล่าวอยู่ภายใต้การควบคุม นอกจากนี้ : นการศึกษาหน้าที่ของซิกม่า-เอสของเชื้อ ของชิกม่า-เอสเป็นต้น pseudo naller ต่อกลไกการก่อโรคในระดับเบื้องต้นพบว่าเชื้อผ่าเหล่าจะไม่สามารถก่อ สภาพพยาธิแบบ multinucleated giant cell formation และ ไม่สามารถยับยั้งการสร้าง

inducible nitric oxide synthase (iNOS) ของเซลล์เจ้าบ้านใค้ แสดงว่าเชื้อผ่าเหล่าขาด ความสามารถในการสร้างปัจจัยความรุนแรงของการก่อโรคได้

จากการศึกษาบทบาทหน้าที่การทำงานของ sigma S ในเชื้อ Burkholderia
pseudomallei สรุปได้ว่า

- 1. บทบาทการทำงานของ sigma S จะเพิ่มขึ้นในระยะการเจริญเติบโตที่ early stationary phase และจะแสดงออกในระดับ Transcription ซึ่งเป็นบทบาท ทั่วไปที่พบในแบคทีเรียต่างๆ
- 2. หน้าที่ของ sigma S ที่สำคัญต่อการอยู่รอดของเชื้อนี้ได้แก่
 - 2.1 สภาวะการอดอาหาร (Starvation)
 - 2.2 สภาวะความเครียสจากออกซิเจน (oxidative stress, hydrogenperoxide and methyl viologen)
- 3. สภาวะความเครียสจากออกซิเจน (oxidative stress โดยเฉพาะ hydrogenperoxide การแสดงออกของ sigma S ในช่วงการเติบโตนี้จะเพิ่ม มากขึ้น
- 4. ในสมาวะความเกรียสจากออกซิเจนนี้ การทำงานของเอ็นไซม์แคตตาเลสของ เชื่อ B. pseudomallei ซึ่งพบว่าเชื้อนี้มีการสร้างเอ็นไซม์แคตตาเลส 2 ชนิค คือ ชนิค I ซึ่งแปลรหัสจากยืน kat G และ ชนิค II ซึ่งแปลรหัสจากยืน kat E โดย พบว่าการแสดงออกของยืน kat E ขึ้นกับการควบคุมของซิกม่า-เอสโดยตรง และไม่ถูกเหนี่ยวนำโดยไฮโดรเจนเปอร์ออกไซด์ ในขณะที่ ยืนในกลุ่มโอพอ รอน oxyR, kat G และ dps A ถูกควบคุมโดยซิกม่า-เอส ภายในการเหนี่ยวนำโดยไฮโดรเจนเปอร์ออกไซด์
- 5. ได้ภาศัยเทคนิคการแยกโปรตีนองค์รวมแบบ 2 มิติ ร่วมกับการวิเคราะห์โปรตีน โดย MS-MALDI-TOF เริ่มจากการสร้างแผนที่อ้างอิงของโปรตีนองค์รวมจาก เงื้อ B. pseudomallei เพื่อใช้เป็นข้อมูลอ้างอิงและทำการเปรียบเทียบกับแบบ แผนของโปรตีนองค์รวมของเชื้อที่ผ่าเหล่า จะสามารถพบโปรตีนที่ขาดหายไป แรื่อเชื้อขาดขึ้นซิกม่า-เอส เช่นพบว่าซุปเปอร์ออกไซด์ดีสมิวเตส ขาดหายไปใน เชื้อที่ผ่าเหล่าแสดงให้เห็นว่าการแสดงออกของโปรตีนดังกล่าวอยู่ภายใต้การ ควบคุมของซิกม่า-เอส

วิจารณ์และสรุปผลการทดลอง

ผลจากการศึกษาในโครงการวิจัยนี้ พบว่าเชื้อผ่าเหล่านี้จะมีความไวต่อสภาวะกา รอคอาหาร สภาวะความเครียสจากออกซิเจนทั้งชนิคไฮโครเจนเปอร์ออกไซค์ และชนิด เมธิไวโอโลเจนเมื่อเทียบกับเชื้อสายพันธุ์ปกติ ในการวิเคราะห์การแสดงออกของยืน ซิกม่า-เอสโดยการใช้โปรโมเตอร์ของยืนเชื่อมต่อกับพลาสมิดพาหะที่แสดง กระบวนการทรานสคริปชั่นติดตามโดยการวัคปฏิกิริยาของเบต้า-กาแลคโต ไซเคส พบว่า การแลดงออกของซิกม่า-เอสจะเพิ่มขึ้นในช่วงการเจริญเติบโตของเชื้อที่ Stationary phase และสัมพันธ์กับการผลิตสารหลั่ง Quorum sensing ในช่วงระยะเดียวกันในลักษณะการ ควบคุมแบบลบ อีกทั้งการแสดงออกของซิกม่า-เอสในช่วงการเติบโตนี้จะเพิ่มมากขึ้นเมื่อ เชื้อได้งับไฮโครเจนเปอร์ออกไซด์ จากสภาวะความเครียสจากออกซิเจนนี้ได้มุ่งประเด็น การท่างานของเอ็นไซม์แคตตาเลสของเชื้อ B. pseudomallei ซึ่งพบว่าเชื้อนี้มีการสร้าง เอ็นไซม์แคตตาเลส 2 ชนิด คือ ชนิด I ซึ่งแปลรหัสจากขึ้น kat G และ ชนิด II ซึ่งแปล รหัสจากยืน kat Eโดยพบว่าการแสดงออกของยืน kat E ขึ้นกับการควบคุมของซิกม่า-เอส โดยตรง และไม่ถูกเหนี่ยวนำโดยไฮโดรเจนเปอร์ออกไซด์ ในขณะที่ ยืนในกลุ่มโอพอ รอน อ.ภ.R, kat G และ dps A ถูกควบคุมโดยซิกม่า-เอส ภายในการเหนี่ยวนำโดย ใชโดรเจนเปอร์ออกไซด์ ซึ่งผลการศึกษานี้ได้ข้อมูลใหม่ที่ยังไม่มีรายงานมาก่อนเกี่ยวกับ ความสัมพันธ์ของการควบคุมในเครือข่ายระหว่าง RpoS และ OxyR และเพื่อเป็นการ คันหายืนหรือกลุ่นยืนอื่นๆที่ถูกควบคุมการแสดงออกของยืนเหล่านั้นโดยซิกม่า-เอส ได้ อาศัยเวกนิกการแยกโปรตีนองค์รวมแบบ 2 มิติ ร่วมกับการวิเคราะห์โปรตีนโดย MS-MALDI-TOF เริ่มจากการสร้างแผนที่อ้างอิงของโปรตีนองค์รวมจากเชื้อ B. pseudomallei เพื่อใช้เป็นข้อมูลอ้างอิงและทำการเปรียบเทียบกับแบบแผนของโปรตีนองค์รวมของเชื้อที่ ผ่าเหล่า จะสามารถพบโปรตีนที่ขาดหายไปเมื่อเชื้อขาคยีนซิกม่า-เอส เช่นพบว่าซุปเปอร์ อยกใชค์ดีสมิวเตส ขาคหายไปในเชื้อที่ผ่าเหล่าแสคงให้เห็นว่าการแสคงออกของโปรดีน ดังกลาวอยู่ภายใต้การควบคุมของซิกม่า-เอสเป็นต้น นอกจากนี้ในการศึกษาหน้าที่ของ ซิกม่า-เอสของเชื้อ B. pseudomallei ต่อกลไกการก่อโรคในระดับเบื้องต้นพบว่าเชื้อผ่า ะหม่าจะไม่สามารถค่อสภาพพยาธิแบบ multinucleated giant cell formation และ ไม่ สามารถยับยั้งกางเเร้าง inducible nitric oxide synthase (iNOS) ของเซลล์เจ้าบ้านได้ แสดงว่าเชื้อผ่าเหล่าขาดความสามารถในการสร้างปัจจัยความรุนแรงของการก่อโรคได้

จากการศึกษาบทบาทหน้าที่การทำงานของ sigma S ในเชื้อ Burkholderia
pseudomallei สรุปได้ว่า

- 1. บทบาทการทำงานของ sigma S จะเพิ่มขึ้นในระยะการเจริญเติบโตที่ early stationary phase และจะแสดงออกในระดับ Transcription ซึ่งเป็นบทบาท ทั่วไปที่พบในแบคทีเรียต่างๆ
- 2. หน้าที่ของ sigma S ที่สำคัญต่อการอยู่รอดของเชื้อนี้ได้แก่
 - 2.1 สภาวะการอดอาหาร (Starvation)
 - 2.2 สภาวะความเครียสจากออกซิเจน (oxidative stress, hydrogenperoxide and methyl viologen)
- 3. สภาวะความเครียสจากออกซิเจน (oxidative stress โดยเฉพาะ hydrogenperoxide การแสดงออกของ sigma S ในช่วงการเดิบโตนี้จะเพิ่มมาก
- 4. ในสภาวะความเครียสจากออกซิเจนนี้ การทำงานของเอ็นไซม์แคตตาเลสของเชื้อ B. pseudomallei ซึ่งพบว่าเชื้อนี้มีการสร้างเอ็นไซม์แคตตาเลส 2 ชนิค คือ ชนิค I ซึ่งแปลรหัสจากยืน kat E โดยพบว่าการ แสดงออกของยืน kat E ขึ้นกับการควบคุมของซิกม่า-เอสโดยตรง และไม่ถูก เหนี่ยวนำโดยไฮโดรเจนเปอร์ออกไซด์ ในขณะที่ ยืนในกลุ่มโอพอรอน oxyR, kat G และ dps A ถูกควบคุมโดยซิกม่า-เอส ภายในการเหนี่ยวนำโดยไฮโดรเจน เปอร์ออกไซด์
- 5. ได้อาศัยเทคนิคการแยกโปรตีนองค์รวมแบบ 2 มิติ ร่วมกับการวิเคราะห์โปรตีน โทย MS-MALDI-TOF เริ่มจากการสร้างแผนที่อ้างอิงของโปรตีนองค์รวมจากเชื้อ B. pseudomallei เพื่อใช้เป็นข้อมูลอ้างอิงและทำการเปรียบเทียบกับแบบแผนของ โปรตีนองค์รวมของเชื้อที่ผ่าเหล่า จะสามารถพบโปรตีนที่ขาดหายไปเมื่อเชื้อขาด ยืนซิกม่า-เอส เช่นพบว่าซุปเปอร์ออกไซด์ดีสมิวเตส ขาดหายไปในเชื้อที่ผ่าเหล่า แสดงให้เห็นว่าการแสดงออกของโปรตีนดังกล่าวอยู่ภายใต้การควบคุมของ ซิกม่า-เอล

ผลผลิตที่ได้จากโครงการ

- 1. ผลงานตีพิมพ์ในวารสารวิชาการนานาชาติ ที่ตีพิมพ์แล้วและที่ตอบรับเพื่อรอ
 - 1.1 Subsin, B., Thomas, M. S., Katzenmeier, G., Shaw, J. G.,
 - **Tungpradabkul**, S., and Kunakorn, M. (2003) Role of the stationary growth phase sigma factor RpoS of *Burkholderia pseudomallei* in response to physiological stress conditions. Journal of Bacteriology, 185, 7008-7014. (I.F. = 3.9)
 - 1.2 Utaisincharoen, P., Arjcharoen, S., Limposuwan, K., **Tungpradabkul, S.,** Sirisinha, S. (2006) *Burkholderia pseudomallei* RpoS regulates multinucleated giant cell formation and inducible nitric oxide synthase expression in mouse macrophage cell line (RAW 264.7). Microbial Pathogenesis 40, 184-189. (I.F. = 2.05)
 - 1.3 Lumjiaktase, P., Diggle, S.P., Loprasert, S., **Tungpradabkul, S.**, Daykin, M., Camara, M., William P., and Kunakorn, M. (2006) Quorum sensing regulates *dps*A and the oxidative stress response in *Burkholderia pseudomallei*. Microbiology (in press). (I.F. = 3.11)
 - 1.4 Wongtrakoongate, P., Mongkoldhumrongkul, N., Chaijan, S., Kamchonwongpaisan S., and **Tungpradabkul**, S. (2006) Comparative proteomic profiles and the potential markers between *Burkholderia pseudomallei* and *Burkholderia thailandensis*. Molecular and Cellular Probes (in press) (I. F. = 1.588)
- 2. ผลงานที่กำลังรวบรวมเพื่อตีพิมพ์ในวารสารวิชาการนานาชาติ รวม 2 เรื่อง
 - 2.1 Jangiam, W., Loprasert, S., and **Tungpradabkul**, **S.** Role of *Burkholderia pseudomallei* RpoS in regulation of catalase activities under hydrogen peroxide induction. Microbiology (I.F. = 3.11)
 2.2 Jangiam, W., Loprasert, S., and **Tungpradabkul**, **S.** Role of
 - Burkholderia pseudomallei RpoS in regulation of oxyR, katG and dpsA under oxidative stress. Molecular Microbiology (I.F = 6.39)

- 3. ผลงานในการผลิตนักศึกษาในโครงการ
 - 3.1 นักศึกษาระดับปริญญาเอก 2 คน (ภายใต้ทุน คปก. สกว.)
 น.ส.เบญจมาศ ทรัพย์สิน คปก. รุ่นที่ 2
 นายวิทวัส แจ้งเอี่ยม คปก. รุ่นที่ 7
 - 3.2 นักศึกษาระดับปริญญาโท 1 คน น.ส. นภชนก มงคลดำรงกุล
 - 3.3 นักศึกษาปริญญาตรี โครงการพิสิฐพิธาน และ โครงการอัจริยภาพ (JSPT) นายปฐมพล วงศ์ตระกูลเกตุ

เอกสารอ้างอิง

ดูในเอกสารในแต่ละผลงานตีพิมพ์ในภาคผนวก

ภาคผนวก

1. Reprint (1) and Manuscripts (3 and 4)

Subsin, B., Thomas, M. S., Katzenmeier, G., Shaw, J. G.,

Tungpradabkul, S., and Kunakorn, M. (2003) Role of the stationary growth phase sigma factor RpoS of *Burkholderia pseudomallei* in response to physiological stress conditions. Journal of Bacteriology, 185, 7008-7014. (I.F. = 3.9)

2. **Reprint (2)**

Utaisincharoen, P., Arjcharoen, S., Limposuwan, K., **Tungpradabkul, S.,** Sirisinha, S. (2006) *Burkholderia pseudomallei* RpoS regulates multinucleated giant cell formation and inducible nitric oxide synthase expression in mouse macrophage cell line (RAW 264.7). Microbial Pathogenesis 40, 184-189. (I.F. = 2.05)

3. **Manuscript (3)** with accepted letter.

Lumjiaktase, P., Diggle, S.P., Loprasert, S., **Tungpradabkul**, S., Daykin, M., Camara, M., William P., and Kunakorn, M. (2006) Quorum sensing regulates *dpsA* and the oxidative stress response in *Burkholderia pseudomallei*. Microbiology (in press). (I.F. = 3.11)

4. **Manuscript (3)** with accepted letter.

Wongtrakoongate, P., Mongkoldhumrongkul, N., Chaijan, S., Kamchonwongpaisan S., and **Tungpradabkul**, **S.** (2006) Comparative proteomic profiles and the potential markers between *Burkholderia* pseudomallei and *Burkholderia* thailandensis. Molecular and Cellular Probes (in press) (I.F. = 1.588)

Vol. 185, No. 23

JOURNAL OF BACTERIOLOGY, Dec. 2003, p. 7008-7014 0021-9193/03/\$08.00+0 DOI: 10.1128/JB.185.23.7008-7014.2003 Copyright © 2003, American Society for Microbiology, All Rights Reserved.

Role of the Stationary Growth Phase Sigma Factor RpoS of Burkholderia pseudomallei in Response to Physiological Stress Conditions

Benchamas Subsin, Mark S. Thomas, Gerd Katzenmeier, Jonathan G. Shaw, Sumalee Tungpradabkul, and Mongkol Kunakorn**

Department of Biochemistry, Faculty of Science, and Department of Pathology, Faculty of Medicine-Ramathibodi Hospital, Mahidol University, Bangkok, Thailand; Division of Genomic Medicine, University of Sheffield Medical School, Sheffield, United Kingdom³; and Institute of Molecular Biology and Genetics, Mahidol University, Nakorn Pathom, Thailand³

Received 17 March 2003/Accepted 5 September 2003

The Burkholderia pseudomallei rpoS gene was identified, and an rpoS null mutant was constructed. The mutant was shown to have an increased sensitivity to carbon starvation and oxidative stress. By using rpoS-lacZ fusions, transcription of rpoS was shown to be growth phase regulated, reaching a peak upon entry into stationary phase.

Burkholderia pseudomallei is the causative agent of melioidosis, a disease endemic in Southeast Asia and Australia (7). B. pseudomallei can survive inside phagocytes (14, 20) and adapt to many environments (21, 36). Recently, nonpathogenic strains of B. pseudomallei were reassigned as B. thailandensis (5). In gram-negative bacteria, the sigma factor RpoS (σ^{S}) activates expression of genes required in response to various stresses including acid, heat shock, UV light, osmotic, oxidative stresses, and carbon starvation (4, 15, 33, 35). σ^{S} also controls expression of extracellular virulence factors and is important for pathogenicity in members of the Enterohacteriaceae and Pseudomonadaceae (9, 19, 35).

Expression of virulence factors is also correlated with entry into stationary phase and nutrient limitation in the intracellular pathogen Legionella pneumophila (3). In Escherichia coli, σ^{S} is regulated by transcription, translation and proteolysis, and different stress conditions differentially affect these levels of control (16, 24). However, expression of rpoS in pseudomonads is predominantly controlled at the transcriptional level (38). In this study, we isolated the rpoS gene from B. pseudomallei and present evidence that σ^{S} is involved in the response to several environmental stresses. Expression experiments with translational and transcriptional fusions were performed to examine the regulation of rpoS in relation to growth phase.

Isolation of the rpoS gene from B. pseudomallei. Recently, the complete genome sequence of B. pseudomallei has been determined (http://www.sanger.ac.uk/Projects/B_pseudomallei). Using the rpoS sequence from P. aeruginosa PAO1 (34) as the query in a TBLASTX search, an open reading frame of 1.080 bp encoding the predicted σ^S protein of 359 amino acids was identified. The B. pseudomallei rpoS gene was amplified

The deduced amino acid sequence exhibits 93% amino acid identity to o' of Burkholderia cepacia, 67% to Ralstonia solunucearum of, 46% to Pseudomonas aeruginosa of and 43% to E. coli o". Similar to the situation in R. solanaceanun, P. aeruginosa, and E. coli, rpoS in B. pseudomallei is located downstream of nlpD (Fig. 1). In several gram-negative bacterial species rpoS transcription is directed from promoters located within and upstream of nlpD (12, 22, 25, 30). Only 11 bp separate the nlpD coding sequence from 100S, suggesting that transcription of rpoS in B. pseudomallei also initiates within or upstream of nlpD. Perusal of the B. pseudomallei nlpD sequence reveals two sequences which could serve as promoters for transcription of rpoS. Nineteen base pairs upstream of the nlpD translation initiation codon is the sequence TTGATC(N17)TAAAAT, which probably serves as the promoter for nlpD and possibly also for rpoS. Located 131 bp upstream of the nlpD stop codon is the sequence TGCACA(N17)TAAAAG, which could also serve as a promoter for rpoS transcription.

Role of RpoS in response to environmental stresses. An rpoS knockout mutant, KN100 (Table 1), was created with pKBS1 according to a previously described procedure (26). The plasmid pUCBS1 was constructed by blunt-end ligation of a 632-bp internal fragment of rpoS, generated by PCR with primers SBKF and SBKR, into the SmaI site of pUC19. pKBS1 was constructed by transferring the 632-bp KpnI-XbuI fragment from pUCBS1 into the mobilizable suicide vector pKNOCK-Tc (2). The effects of rpoS inactivation on cell survival during prolonged carbon starvation as well as other func-

from PP844 (Table 1) genomic DNA with Vent DNA polymerase (New England Biolabs, Beverly, Mass.) and primers RPOSF and RPOSR (Fig. 1, Table 2). PCR was performed for 30 cycles at 94°C for 1 min., 68°C and 72°C for 45 s each cycle. The amplified *rpoS* DNA was cloned into the *Smal* site of pUC19 to generate pUCBS2 (Table 1) and the nucleotide sequence was determined (GenBank accession number AY183467).

^{*} Corresponding author. Mailing address: Department of Pathology. Faculty of Medicine-Ramathibodi Hospitál, Mahidol University, 270 Rama VI Road, Bangkok 10400, Thailand, Phone: 662-644-5325. Fax: 662-246-4281. E-mail: ramkn@mahidol.ac.th.

Strain or plasmid	Genotype or relevant characteristics	Source or reference
B. pseudomallei		
PP844	Prototroph, blood culture isolate from a patient at Khon kaen University Hospital	37
KN100	PP844/pKBS1	This study
PP844(pBBS1)	PP844 containing pBBS1	This study
KN100(pBBS1)	PP844/pKBS1 containing pBBS1	This study
Z2BS1	PP844/pZ2BS1 containing single copy of rpoS-lacZ transcriptional fusion	This study
Z3BS1	PP844/pZ3BS1 containing single copy of rpoS-lacZ translational fusion	This study
S. enterica serovae Typhimurium	, , , , , , , , , , , , , , , , , , , ,	, , ,
BSST100	Clinical isolate from a patient at Royal Hallamshire Hospital	This study
E. coli		
DH5a	$F^- \phi 80 dlac Z \Delta M15 \Delta (lac ZY/1-arg F) U169 rec. 11 end A1 hsd R17 (r_K^- m_K^-) sup E44 \lambda^- thi-1 relA1 gyr A96$	13
CC118λpir	Δ(ara, leu)7697 araD139 ΔlacX74 galE galK phoA30 thi-1 rpsE rpoB (Rf) argE(Am) rccA1 λρir*	17
JM83	F am Δ(lac-proAB) rpsL(Sm?) φ80dlacZΔM15	39
SM10λpir	RP4-2-ret::Mu-1 (Km') thi-1 thr leu tonA lacY supE recA	32
S17-1\pir	RP4-2-tet::Mu-1 kan::Tn7 (Tp' Sm') thi proA hsdR recA	32
Y. enterocolitica		
08081c	lnv*	29
Plasmids		
pUCBSI	pUC19 containing a 600-bp internal segment of B. pseudomaller rpoS	This study
oUCBS2	pUC19 containing the full-length rpoS	This study
pKNOCK-Tc	Mobilizable suicide vector for construction of gene knockouts in Gram-negative bacteria	2
pKBS1	pKNOCK-Tc containing a 600-bp internal segment of B. pseudomallei rpoS	This study
pBBRIMCS	Broad-host-range cloning vector, Cm'	23
pBBS1	pBBR1MCS containing the full-length B. pseudomallei rpoS gene	This study
pZINT2	Mobilizable integrative vector for construction of single-copy lacZ transcriptional fusions	27
pZINT3	Mobilizable integrative vector for construction of single-copy lac2 translational fusions	This study
pZ2BSI	pZINT2 containing the S' region of nlpD and 3' region of rpoS fused to lacZ	This study
pZ3BS1	pZINT3 containing the 5' region of nlpD and 3' region of rpoS fused to lacZ	This study
pFR97	Plasmid vector for construction of lacZ translational fusions	31

tions were analyzed with this mutant. To confirm that all changes in phenotypes were caused by the disruption of *rpoS* and were not due to polar effects on downstream genes, a plasmid (pBBS1) containing the complete *rpoS* coding sequence under control of the *lucZ* and *cat* gene promoters was constructed and transferred into *B. pseudonallei* wild-type and mutant strains for complementation analysis.

To examine the ability of B. pseudomallei to survive during

prolonged carbon starvation, overnight cultures were diluted 100-fold into glucose minimal medium and grown at 37°C with aeration. After the cells entered the stationary phase of growth, incubation was continued for several days, during which time cell viability was determined by measuring CFU. Seventy-two hours after entry into the stationary phase, a 100-fold decrease in the number of viable cells was observed for the rpoS mutant compared to the wild type. This finding suggests

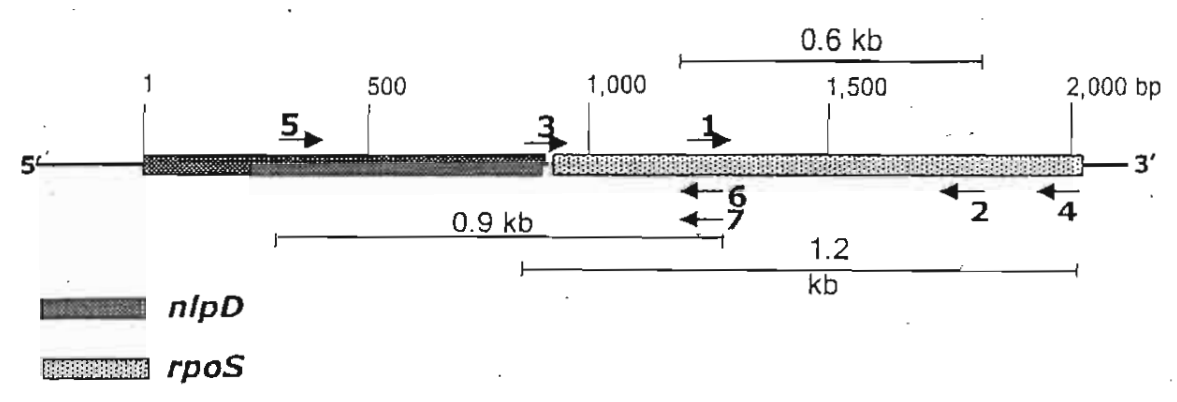


FIG. 1. Arrangement of the nlpD-rpoS genes in the genome of B. pseudomallei. Arrows indicate the location and orientation of primers used to construct rpoS plasmids in this study: 1, SBKF; 2, SBKR; 3, RPOSF; 4; RPOSR; 5, PNSF; 6, PNSR; and 7, PNSFR97.

TABLE 2 PCR primers

Primer	Sequence	Restriction site
SBKF	5'-GACGACTTCCGGGCGCTTCT-3'	
SBKR	5'-ATCGTCGGGCAGCAGATCGAG-3'	
RPOSF	5'-CCTGTCGATCCGCTGAAGTATT-J'	
RPOSR	5'-CCAGAATCGGTGTCATTGATGAA-3'	
PNSF	5'-GCCCGCATGCCGCTTTATCGGATCGCGCTCG-3'	Sph1
PNSR	5'-GCCGTCTAGAAGAGCGCCCGGAAGTCGTC-3'	Xbal
PNSFR97	5'-GCCGTCTAGAAAGCGCCCGGAAGTCGTCCAG-3'	Xbal

[&]quot; Underlined in the sequence.

that the poS mutant is more sensitive to carbon starvation than the wild type. This result is in accordance with previous findings, which have demonstrated a general function for σ^S as a growth phase-dependent regulator of metabolism under conditions of nutrient limitation (10, 16, 35). Introduction of plasmid pBBS1, containing the full-length poS gene, completely restored starvation tolerance to the wild-type level in the mutant, indicating that the loss of viability of the mutant was specifically caused by inactivation of the poS gene (Fig. 2A).

The effect of rpoS inactivation on sensitivity to H₂O₂ and the redox-cycling agent methyl viologen was also examined. Sensitivity to hydrogen peroxide was measured on cells grown to mid-logarithmic phase (optical density at 600 nm = 0.4). H₂O₂ was added to the cells at the indicated concentrations, and the cells were incubated for 20 min at 37°C. Catalase was added (400 units/ml), and cell viability was measured as described above. After a 20-min incubation in 50 mM H2O2, the number of viable cells for the mutant was approximately 80-fold lower than in the wild type (Fig. 2B). The sensitivity of the mutant to methyl viologen was also examined by exposing mid-logarithmic-phase cells to 40 mM methyl viologen. Growth of the wild-type cells was not significantly affected by the presence of 40 mM methyl viologen, whereas the mutant showed a 50-fold reduction in viability after exposure for 16 h (Fig. 2C). The sensitivity of the mutant to H2O2 and methyl viologen suggests a role for σ^{S} in oxidative stress resistance. This is consistent with the role of moS in resistance to oxidative stress in B. cepacia and P. aeruginosa (1, 35). On the other hand, inactivation of the rpoS promoter in R. solanacearum did not result in increased sensitivity to H_2O_2 (10).

The ability of ceils to survive in pH 3.0 was measured following an adaptation step at pH 4.0 (11). Bacterial cells were grown in Luria-Bertani (LB) (pH 7.0) to stationary phase overnight, washed, and suspended in LB adjusted to pH 4.0. Incubation was continued for 4 h before the cells were resuspended in medium adjusted to pH 3.0. Cell viability was then determined at different time intervals. Figure 2D shows that the sensitivity of the rpoS mutant was not significantly different from that of the wild type after exposure to acid pH 3.0 for up to 60 min. However, at 90 min the mutant demonstrated a 10-fold decrease in survival compared to the wild type. Acid tolerance in several gram-negative bacteria has also been shown to be mediated by σ^{5} (10, 11, 30).

To measure the ability of cells to survive extreme heat shock, cells were grown to stationary phase, whereupon they were washed and diluted in minimal medium to a density of approximately 7,000 CFU/ml. One milliliter of the diluted culture was placed in a prewarmed tube at 53°C, and viability was deter-

mined after different time intervals. To measure sensitivity to osmotic stress, cells were grown to stationary phase, washed, and resuspended in minimal medium containing 4.0 M NaCl. The resuspended cells were incubated at 37°C with aeration, during which time cell viability was determined. Our results showed that there is no significant difference between the wild type and the mutant in their sensitivity to heat shock or osmotic stress (Fig. 2E and 2F). In contrast, a B. cepacia rpoS knockout mutant exhibited hypersensitivity to high temperature but, like B. pseudomallei, showed a wild-type hyperosmotic response (1).

Role of rpoS in invasion of epithelial and macrophage cell lines. Invasion assays were performed as previously described with slight modifications (8). HEp-2 cells and the Abelson murine leukemia virus-induced tumor cell line RAW264.7 were seeded in 24-well plates at 5 × 10⁵ cells per well. Cells were grown overnight at 37°C with 5% CO. in Eagle's minimal essential medium (EMEM) and Dulbecco's modified Eagle's medium (DMEM) supplemented with 10% fetal calf serum (Gibco BRL) for HEp-2 and RAW264.7, respectively. The cell monolayers were washed and incubated with 1 ml of the same medium containing 4% bovine serum albumin for 30 min at 37°C with 5% CO₂. After incubation, the monolayers were washed with fresh medium. A log-phase culture of bacteria was resuspended in 1 ml of EMEM medium for HEp-2 cells and DMEM medium for RAW264.7 cells, and 25 µl of the suspension was added to cell monolayers and incubated for 2 h at 37°C with 5% CO2. Cells were washed with phosphate-buffered saline and medium and then incubated with 1.5 ml of medium containing kanamycin for an additional 2 h to eliminate extracellular bacteria. Cell monolayers were then lysed with 1% saponin (Sigma) to release the intracellular bacteria.

The inocula and intracellular bacteria were quantified by plating serial dilutions. For overnight invasion assays, the monolayers were washed with phosphate-buffered saline and incubated overnight with 1.5 ml of medium containing kanamycin. Table 3 shows that both the wild type and rpoS mutant demonstrated an equal ability to invade RAW2643 cells and HEp-2 cells, although at an order of magnitude less efficiently than Salmonella enterica serovar Typhimurium and Yersinia enterocolitica. This indicates that rpoS is not required for survival within the intracellular compartment and suggests that B. pseudomallei is not exposed to or is able to circumvent carbon starvation and oxidative stress inside the host cell. Similar observations were made with Y. enterocolitica, in which inactivation of rpoS had no significant effects on virulence in mice or on the expression of the inv or ail genes, which are involved in cell invasion (4). In contrast, expression of the rpoS gene in S.

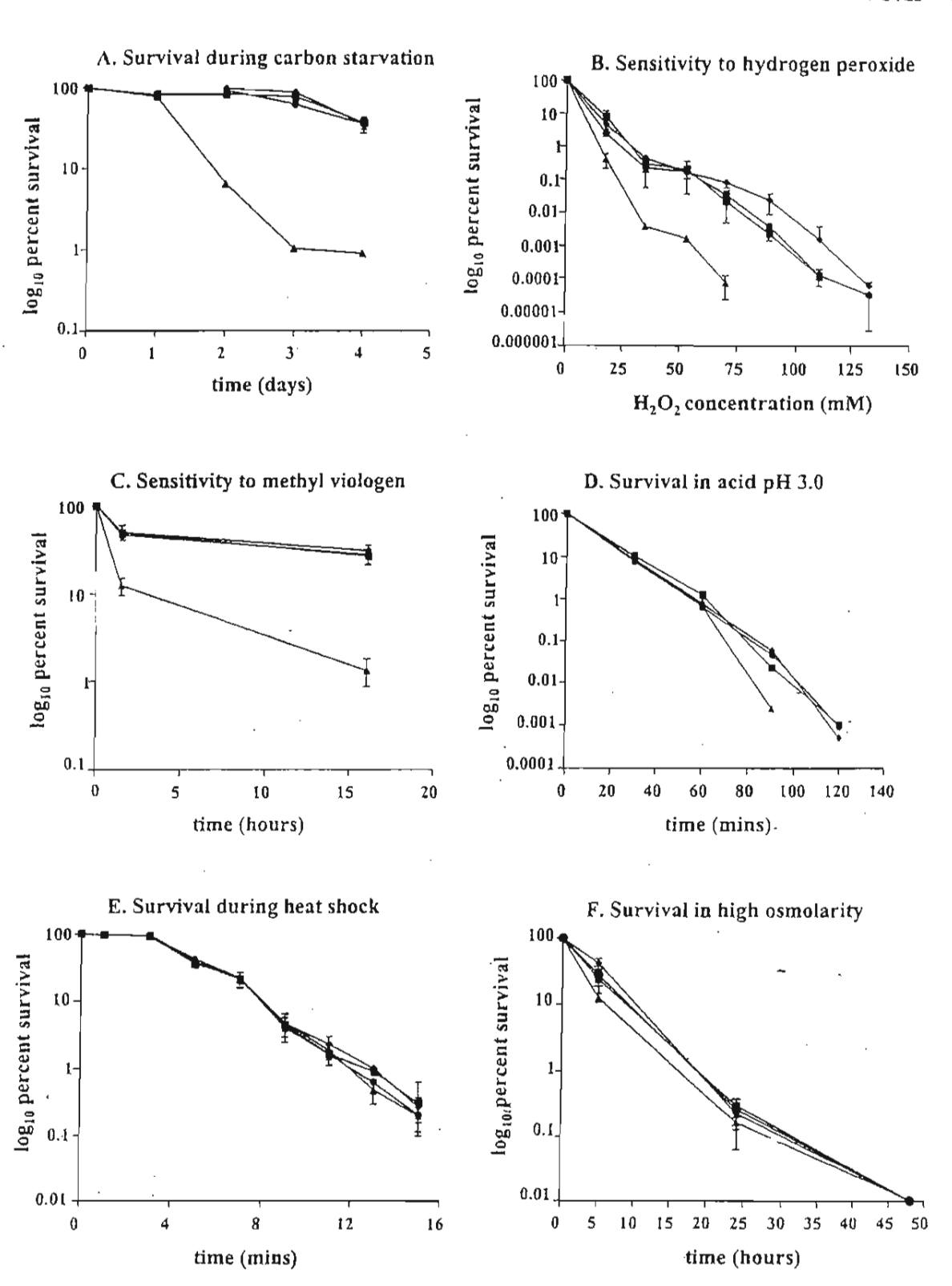
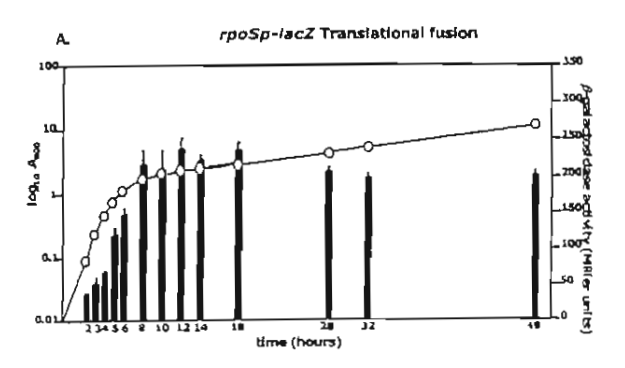


FIG. 2. Effect of rpoS mutation on stress responses. B. pseudomallei parent strain PP844 (■), B. pseudomallei rpoS mutant (♠), B. pseudomallei rpoS mutant tarboring pBBS1 (♠), and B. pseudomallei rpoS mutant harboring pBBS1 for complementation (♠). (A) Survival during carbon starvation. (B) Sensitivity to hydrogen peroxide. (C) Sensitivity to methyl viologen. (D) Survival in acid pH (pH 3.0). (E) Survival during heat shock. (F) Survival in high osmolarity.

9	200	2	
	2	=	
•	-	•	
	S		
•	Ċ	5	
	0000000		
	ĉ	5	
	DANIEL PROPERTY		
,		_	
•	1	3	•
•	ć	5	
		į	
Ĺ		ĵ	
c		i	
L		ļ	
•		•	
٥	1	1	
į	Y 4		
*			

		RAW2643 v. lis			HEp-2 cells	
Strain	Inoculum (CFU)	Mean no. of cells recovered at 4 h	Mean no. of cells recovered at 24 h	Inocutum (CFU)	Mean no. of cells recovered at 4 h	Mean no. of cells recovered at 24 h
PP844 (wild type) KN100 (mo.5 knockout mutant)	2.6 × 10 ⁴ 8.0 × 10 ⁴	$8.6 \times 10^3 \pm 5.1 \times 10^5$ $6.8 \times 10^3 \pm 1.5 \times 10^5$	$2.0 \times 10^5 \pm 1.0 \times 10^5$ $2.2 \times 10^5 \pm 3.0 \times 10^4$	8.0×10^{8} 5.0×10^{8}	$1.3 \times 10^4 \pm 3.2 \times 10^3$ $3.6 \times 10^4 \pm 2.2 \times 10^3$	$3.0 \times 10^4 \pm 1.3 \times 10^4$ $2.9 \times 10^4 \pm 1.4 \times 10^4$
PP841 with pBBS1 (wild type	2.0×10^{4}	$2.9 \times 10^3 \pm 5.7 \times 10^3$	$1.7 \times 10^5 \pm 6.0 \times 10^4$	5.0×10^{8}	$1.8 \times 10^4 \pm 4.3 \times 10^3$	$2.3 \times 10^4 \pm 1.1 \times 10^4$
KN100 with pBBS1 (poS knockout mutant + poS	8.0×10^8	$3.7 \times 10^5 \pm 3.2 \times 10^4$	$7.0 \times 10^5 \pm 2.0 \times 10^4$	3.0×10^8	$4.1 \times 10^4 \pm 3.4 \times 10^4$	$1.0 \times 10^4 \pm 1.5 \times 10^3$
plasnid) E. coli JM83	2.2×10^{7}	0.0 ± 0.0 × 1.0	QN	8.0×10^{8}	<1.0 × 10° ± 0.0	۵x
S. enterica scrovar	2.1×10^{7}	$2.2 \times 10^{3} \pm 7.2 \times 10^{4}$	gw	QN	ND	QN
Y. enterocolitica	ΩN	QN	QN	3.0 × 10 ⁷	$4.8 \times 10^5 \pm 1.0 \times 10^5$	ND

"ND, not done. Values are means - standard deviations



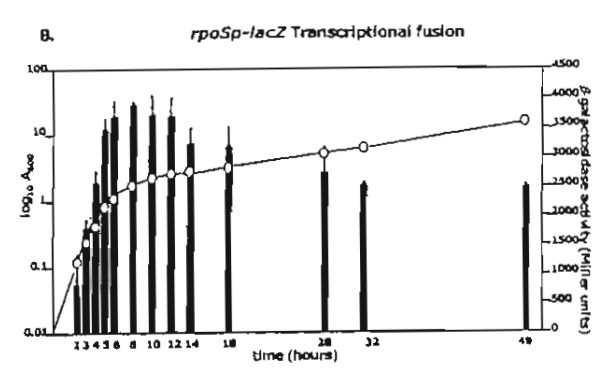


FIG. 3. Growth phase-dependent regulation of the *B. pseudomallei* rpoS gene. The bars represent the β-galactosidase activity in Miller units, while the circles represent the cell density (optical density at 600 nm). (A) Expression of *B. pseudomallei* rpoS-lacZ translational fusion according to growth phase. (B) Expression of *B. pseudomallei* rpoS-lacZ transcriptional fusion according to growth phase.

enterica serovar Typhimunium increased rapidly after phagocytosis (6), and inactivation of rpoS reduced virulence in mice (18). The use of culture cell lines instead of human phagocytes could explain the discrepancy between our study and that of Jones et al. (20), who showed that B. pseudomallei was able to replicate within human phagocytes. Furthermore, bacterial growth within cells could ultimately result in host cell lysis that would release the bacteria into the extracellular environment, where they would be killed by the antibiotic.

Growth phase-dependent regulation of the B. pseudomallei rpoS gene. To study the regulation of the rpoS gene in B. pseudomallei, rpoS-lacZ transcriptional and translational fusions were constructed and integrated into the chromosome in single copy. The mobilizable suicide plasmid pZINT2 (27) was used for the construction of an rpoS-lacZ transcriptional fusion. The resultant plasmid, pZ2BS1, was generated by amplification of 221 codons of the 3' region of the nlpD gene and the first 71 codons of rpoS with primers PNSF and PNSR, followed by ligation of the SphI- and XbaI-digested PCR products with pZINT2, pZINT3 was used as the vector for construction of a single-copy rpoS-lacZ translational fusion and was constructed from pZINT2 by replacing a 5.2-kb SaII-Stu1 fragment containing the lacZYA cassette with a 3.0-kb Xhol-DraI restriction fragment of pFR97 (31), which contains the lacZ gene devoid of the first six codons of lacZ and the Shine-Dalgarno sequence.

To construct the *rpoS-lacZ* translational fusion plasmid pZ3BS1, a 0.92-kb PCR product obtained with primers PNSF and PNSR97 was ligated as an *SphI-XbaI* fragment into pZINT3. pZ2BS1 and pZ3BS1 were integrated in single copy at the *rpoS* locus of *B. pseudomallei* PP844 by homologous recombination, resulting in strains Z2BS1 and Z3BS1, respectively. Cultures were grown in LB broth, and β-galactosidase assays (28), normalized to culture density (optical density at 600 nm), were performed at various time points.

The strain harboring the translational fusion (Z3BS1) showed an increase in β-galactosidase activity starting from the exponential phase and reaching a peak on entry into stationary phase (Fig. 3A). This result showed that RpoS production is growth phase regulated. As the β-galactosidase activities for the translational fusion represent the sum of transcriptional and translational control, the transcriptional fusion was used to see whether this regulation is exerted at the transcriptional or translational level. The \(\beta\)-galactosidase activity of the strain harboring the transcriptional fusion followed a similar pattern (Fig. 3B). In both fusion strains, the activity on entry into stationary phase was approximately fivefold higher than in the early logarithmic phase. The results indicate that B. pseudomallei rpoS is regulated according to growth phase at the transcriptional level. However, the possibility that rpoS is subject to cell density-dependent regulation cannot be ruled out.

In conclusion, we have shown that RpoS is likely to play an important role in the response of *B. pseudomallei* to carbon starvation and oxidative stress. Furthermore, our results show that the *rpoS* gene in this organism is likely to be regulated according to the growth phase.

This work was supported by research grants from the Faculty of Medicine, Ramathibodi Hospital. B.S. was supported by a Royal Golden Jubilee Ph.D. Scholarship from the Thailand Research Fund.

We thank P. Sonthayanon and S. Butrapet for providing laboratory facilities, S. Loprasert and S. Mongkolsuk for technical support, S. Sirisinha for providing B. pseudomallei PP844, and M. F. Alexeyev for providing the pKNOCK-Te plasmid used in this study.

REFERENCES

- Aguilar, C., I. Bertani, and V. Venturi. 2003. Quorum-sensing system and stationary-phase sigma factor (RpoS) of the onion pathogen Birkholderia cepucia genomovar I type strain, ATCC 25416. Appl. Environ. Microbiol. 69:1739–1747.
- Mexeyev, M. F. 1999. The pKNOCK series of broad-host-range mobilizable suicide vectors for gene knockout and targeted DNA insertion into the chromosome of gram-negative bacteria. BioTechniques 26:824–826, 828.
- Bachman, M. A., and M. S. Swanson. 2001. RpuS cooperates with other factors to induce Legionella pneumophila virulence in the stationary phase. Mol Microbiol. 40:1201-1214.
- Badger, J. L., and V. L. Miller. 1995. Role of RpoS in survival of Yersinia enterocolitica to a variety of environmental stresses. J. Bacteriol. 177:5370– 5373.
- Chalyaroj, S. C., K. Kotrnon, S. Koonpaew, N. Anantagoul, N. J. White, and S. Sirisinha. 1999. Differences in genomic macrorestriction patterns of arabinose-positive (Burkholderia inailandensis) and arabinose-negative Burkholderia pseudomalla. Microbiol. Immunol. 43:625-630.
- Chen, C. Y., L. Eckmann, S. J. Libby, F. C. Pang, S. Okamoto, M. F. Kagnoff, J. Fierer, and D. G. Guiney. 1996. Expression of Salmonella typhimunium rpoS and rpoS-dependent genes in the intracellular environment of eukaryotic cells. Infect. Immun. 64:4739-4743.
- Dhurakut, T., and S. Songsivilai, 1999. The many facets of melioidosis. Trends Microbiol, 7:138-140.
- Elsinghorst, E. A. 1994. Measurement of invasion by gentamicin resistance. Methods Enzymol. 236:405–420.
- Fang, F. C., S. J. Libby, N. A. Buchmeler, P. C. Loewen, J. Switala, J. Harwood, and D. G. Gulney. 1992. The alternative sigma factor katF (rpoS) regulates Salmonella virulence. Proc. Natl. Acad. Sci. 89:11978–11982.
- 10. Flavier, A. B., M. A. Schell, and T. P. Denny. 1998. An RpoS (sigmaS)

- homologue regulates acylhomoserine lactone-dependent autoinduction in Ralstonia solanacearum. Mol. Microbiol. 28:475–486.
- Foster, J. W. 1995. Low pH adaptation and the acid tolerance response of Salmonella typhimurium. Crit. Rev. Microbiol. 21:215-237.
- Fujita, M., K. Tanaka, H. Takahashi, and A. Amemura. 1994. Transcription
 of the principal sigma-factor genes. rpoD and rpoS. in Pseudomonus verugnosa is controlled according to the growth phase. Mol. Microbiol. 13:10711077.
- Hanahan, D. 1983. Studies on transformation of Escherichia coli with plasmids. J. Mol. Biol. 166:557-580.
- Hariey, V. S., D. A. Dance, G. Tovey, M. V. McCrosson, and B. S. Drasar. 1998. An ultrastructural study of the phagocytosis of Burkholdena pseudomallei. Microbios 94:35–45.
- Hengge-Aronis, R. 1993. Survival of hunger and stress: the role of rpoS in early stationary phase gene regulation in E. coli. Cell 72:165–168.
- Hengge-Aronis, R. 2002. Signal Transduction and regulatory mechanisms involved in control of the or (RpoS) subunit of RNA polymerase. Microbiol. Mol. Biol. Rev. 66:373–395.
- Herrero, M., V. de Lorenzo, and K. N. Timmis. 1990. Transposon vectors containing non-antibiotic resistance selection markers for cloning and stable chromosomal insertion of foreign genes in gram-negative bacteria. J. Bacteriol. 172:6557-6567.
- Ibonez-Ruiz, M., V. Robbe-Saule, D. Hermont, S. Lubrude, and F. Norel. 2000. Identification of RpoS (σ^S)-regulated genes in Salmonella entenca serovar Typhimurium, J. Bacteriol. 182:5749–5756.
- Iriarte, M., I. Stninler, and G. R. Cornells. 1995. The poS gone from Versinus enterocolitica and its influence on expression of virulence factors. Infect. Immun. 63:1840–1847.
- Jones, A. L., T. J. Beveridge, and D. E. Woods. 1996. Intracellular survival of Birkholdena pseudoniallei. Infect. Immun. 64:782–790.
- Kongi, K., E. Kondo, S. Dejstrifert, and P. Natgowit. 1994. Growth and survival of Pseudomonas pseudomallei in acidic environment with possible relation to the ecology and epidemiology of melioidosis. p. 26—38. In S. D. Puthucheary and M. A. Yasmin (ed.), Melioidosis: revealing problems and future directions. SP-Muda, Kuala Lumpur.
- Kojle, M., C. Aguilar, and V. Venturi. 2002. TetR (amily member ps.4 directly binds the Pseudomonus rpoS and psr.4 promoters. J. Bacteriol. 184: 2324–2330.
- Kavach, M. E., R. W. Phillips, P. H. Elzer, R. M. 2nd Roop, and K. M. Peterson. 1994. pBBR IMCS: a broad-hoxt-range cloning vector. BioTechniques 16:800–802.
- Lange, R., and R. Hengge-Arinis, 1994. The cellular concentration of the α² subunit of RNA-polymerase in Excherichia coli is controlled at the levels of transcription, translation and protein stability. Genes Dev. 8:1600–1612.
- Lange, R., and R. Hengge-Aronds. 1994. The nIpD gene is located at in operon with rpoS on the Escherichia coli chromosome and encodes a novel lipoprotein with a potential function in cell wall formation. Mol. Microniol. 13:733-743.
- Low, K. B. 1991. Conjugational methods for mapping with Hfr and F-prime strains. Methods Enzymol. 204:43–62.
- Luwe, C. 2001. Ph.D. thesis. University of Sheffield, Sheffield, United Kingdom.
- Miller, J. H. 1972. Experiments in molecular genetics. Cold Spring Harbor Laboratory Press, Cold Spring Harbor, N.Y.
- Portney, D. A., H. F. Blank, D. T. Kingsbury, and S. Folkow. 1983. Genetic analysis of essential plasmid determinants of pathogenicity in Yersinia pasts. J. Infect. Dis. 148:297–304.
- Ramos-Gonzalez, M. I., and S. Molin. 1998. Cloning, sequencing, and phenotypic characterization of the rpoS gene from Pseudomonus punda KT=340.
 J. Bacteriol. 180:3421-3431.
- Shapira, S. K., J. Chou, F. V. Richaud, and M. J. Casadaban. 1983 New versatile plasmid vectors for expression of hybrid proteins coded by a closed gene fused to lacZ gene sequences encoding an enzymatically active carboxyterminal portion of beta-galactosidase. Gene 25:71–82.
- Simon, R., U. Priefer, and A. Publer. 1983. A broad host range mobilization system for in vivo genetic engineering: Transposon mutagenesis in gramnegative bacteria. Bio/Technology 1:784-791.
- Small, P., D. Blankenborn, D. Welty, E. Zinser, and J. L. Sinnezewski. 1994.
 Acid and base resistance in Escherichia coli and Shigella fleenen: role of rpuS and growth pH. J. Bacteriol. 176:1729–1737.
- 34. Stover, C. K., X.-Q. T. Pham, A. L. Erwin, S. D. Mizoguchi, P. Warrener, M. J. Hickey, F. S. L. Brinkanan, W. O. Hufhagle, D. J. Kovalik, M. Lagrou, R. L. Garber, L. Gultry, E. Tulentino, S. Westbrook-Wadman, Y. Yuan, L. L. Brody, S. N. Coulter, K. R. Folger, A. Kus, K. Larbig, R. M. Lim, K. A. Smith, D. H. Spencer, G. K.-S. Wong, Z. Wu, I. T. Paulsen, J. Reizer, M. H. Saier, R. E. W. Hancock, S. Lory, and M. V. Olson. 2000. Complete genome sequence of Pseudomonus aerugmosa PAO1, an opportunistic pathogen. Nature 406:959-964.
- Suh, S. J., L. Silo-Suh, D. E. Wouds, D. J. Hassett, S. E. West, and D. E. Ohman. 1999. Effect of rpoS mutation on the stress response and expression of virulence factors in *Pseudomonas aeruginosa*. J. Bacteriol. 181:3891– 3897.

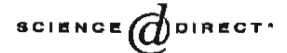
7014 NOTES 1. BACTERIOL.

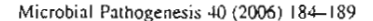
Thomas, A. D., J. Forbes-Faulkner, and M. Parker. 1979. Isolation of Pseudamanas pseudomalia from clay layers in defined depths. Am. J. Epi-

- Unitsinchiroen, P., N. Tangthuwornchaikul, W. Kespichayawattina, P. Chulsurlya, and S. Sirisinha. 2001. Burkholderia pseudomallei interferes with inducible nitric oxide synthase (iNOS) production: a possible mechanism of evading macrophage killing. Microbiol. Immunol. 45:307-313.
- Whlstler, C. A., N. A. Carbell, A. Sarniguet, W. Ream, and J. E. Luper, 1998.
 The two-component regulators ClacS and QiacA influence accumulation of the stationary-phase sigma factor of and the stress response in *Pseudomonas fluonseens* Pf-5. J. Bacteriol. 180:6635-6641.
 Yanisch-Perron, C., J. Vieira, and J. Messing, 1985. Improved M13 phage cloning vectors and host strains; nucleotide sequences of the M13mp18 and pUC19 vectors. Gene 33:103-119.



Available online at www.sciencedirect.com







www.elsevier.com/locate/micpath

Burkholderia pseudomallei RpoS regulates multinucleated giant cell formation and inducible nitric oxide synthase expression in mouse macrophage cell line (RAW 264.7)

P. Utaisincharoen a.*, S. Arjcharoen , K. Limposuwan , S. Tungpradabkul , S. Sirisinha

Department of Microbiology, Faculty of Science, Mahidol University, Bangkok 10400, Thailand Department of Biochemistry, Faculty of Science, Mahidol University, Bangkok, Thailand

Received 31 August 2005: received in revised form 27 December 2005; accepted 3 January 2006 Available online 9 March 2006

Abstract

Burkholderia pseudomallei is the causative agent of melioidosis. This bacterium can invade and survive inside the phagocytic and nonphagocytic cells. After internalization, the bacteria can escape from the membrane-bound phagosome into the cytoplasm. Internalised B. pseudomallei can also induce a cell-to-cell fusion, resulting in a multinucleated giant cell (MNGC) formation. In the present study, we demonstrated that B. pseudomallei rpoS null mutant was similar to its wild type parent in its ability to survive and multiply inside the mouse macrophages, but it failed to stimulate MNGC formation. The rpoS mutant was also unable to activate inducible Nitric Oxide Synthase (iNOS) in resting mouse macrophages but in gamma interferon (IFN-γ)-activated macrophages, the mutant was able to induce significantly higher levels of iNOS and NO when compared with its wild-type counterpart, resulting in a significantly lower number of bacteria inside the infected host cells.

© 2006 Elsevier Ltd. All rights reserved.

Keywords: Burkholderia pseudomaller; Meiioidosis; RpoS; Multinucleated giant cell formation; iNOS

1. Introduction

Burkholderia pseudomallei is the causative agent of melioidosis, a disease of man and animals in southeast Asia and northern Australia [1,2]. The clinical features of melioidosis vary greatly from acute fatal sepsis to localised chronic infections [1]. Systemic infections are associated with high mortality rate and high rate of relapse despite prolonged treatment [1,2]. At a cellular level, this gram-negative bacterium can survive and multiply in both phagocytic and non-phagocytic cells [3]. After internalisation, it can readily escape from the membrane bound phagosome into the cytoplasm [3]. The internalised B. pseudomallei can also induce a cell-to-cell fusion, resulting in a multinucleated giant cell (MNGC) formation and cell death [4,5]. The MNGC has also been observed in the tissues of patients with melioidosis [6]. It was hypothesised that this unique phenomenon, which

The mechanism by which *B. pseudomallei* is able to escape host defense is not fully understood. However, we have demonstrated previously that the macrophages infected with this microorganism failed to activate inducible nitric oxide synthase (iNOS) [7]. The failure to stimulate iNOS expression may facilitate this bacterium to survive and multiply inside the macrophages [7,8]. However, preactivation of the macrophages with exogenous IFN- γ or IFN- β could enhance iNOS expression and facilitate intracellular killing of *B. pseudomallei* [7–9].

RpoS is a global regulatory factor known to control the expression of a large number of chromosomal genes involved in resistance to stress conditions and prolonged nutrient deprivation [10,11]. It has also been reported to regulate virulence gene expression in a number of pathogenic bacteria. In Salmonella enterica serovar Typhimurium, the RpoS controls the expression of Salmonella plasmid virulence (spv) genes required to initiate systemic spread [12–14]. The S. typhimurium rpoS mutant was significantly less lethal for mice, thus suggesting its role in disease-producing potential [14,15]. However, the ability of the mutant to survive inside the

has never been observed in any other bacteria, may facilitate the spreading of the bacterium from one cell to another [5].

^{*} Corresponding author. Tel.: +66 2 201 5954; fax. +66 2 201 5950. E-mail address: scpu@mahidol.ac.th (P. Utaisincharoen).

macrophages was unaltered [14]. Although the possible involvements of RpoS in the pathogenesis of melioidosis have never been investigated, our group demonstrated previously that the *B. pseudomallei rpoS* null mutant of this bacterium exhibited an increased sensitivity to oxidative stress {16}. In this communication, we extend our finding to demonstrate the involvement of *rpoS* null mutant in modulating the host cell response, particularly with regard to the macrophage antimicrobial capacity to control the intracellular fate of *B. pseudomallei* itself.

2. Results

2.1. Internalisation and intracellular multiplication of rpoS knockout mutant in mouse macrophage cell line (RAW 264.7)

In order to evaluate a possible involvement of RpoS in internalisation and intracellular multiplication of B. pseudomallei, mouse macrophage cell monolayers were infected with rpoS mutant and wild type B. pseudomallei at MOI of 2:1 and the number of intracellular bacteria was then analysed by standard antibiotic protection assay. The results presented in Fig. 1 showed that rpoS mutant appeared to have significantly lower invasive potential comparing with wild-type, judging from the number of intracellular bacteria 3 h after the infection was initiated. In contrast, once internalised, both rpoS and wild-type B. pseudomallei could similarly survive and multiply intracellularly inside the macrophages. The doubling time of the rpoS mutant and the wild-type calculated was 45 and 47 min, respectively, suggesting that the rate of replication of the rpoS mutant inside the macrophages was similar to that of the wild-type (data not shown). These results are consistent with the possibility that RpoS plays a role in cellular invasion but not in controlling the rate of replication inside the macrophages.

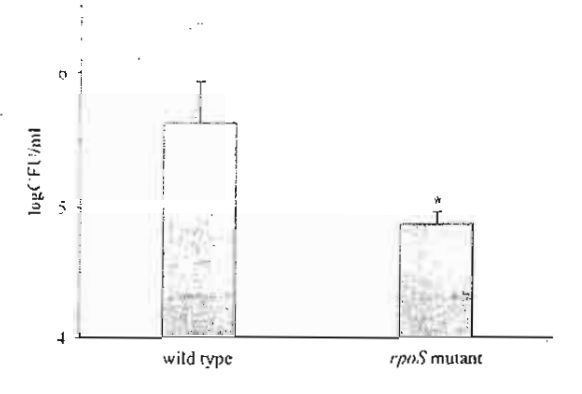


Fig. 1. Internalisation of *rpoS* mutant. Mouse macrophage cell line, (RAW 264.7) was infected with either the *rpoS* mutant or the wild type *B. pseudomallei* at MOI of 2:1 for 1 h. Internalisation of the bacteria was determined after 2 more hours of incubation. The number of viable intracellular bacteria was determined by standard antibiotic protection assay as described in Materials and Methods. Data shown represent means and standard errors of 3 separate experiments, each carried out in duplicate. *P<0.01 by Students's telest

2.2. RpoS interferes with MNGC formation in mouse macrophage cell line (RAW 264.7)

Mouse macrophages were infected with either the rpoS mutant or the wild-type B. pseudomallei at MOI of 2:1 for a total of 8 h before the host cell morphological changes were analysed under a microscope. As is to be expected from our previous reports [5,9,17], the wild-type B. pseudomallei could readily induce cell fusion and MNGC formation (arrows in Fig. 2A). The rpoS mutant, on the other hand, failed to initiate these changes. These results suggested that the RpoS of B. pseudomallei is involved in this process. This prediction is supported by the results showing that in the presence of chloramphenicol, the MNGC formation induced by the wildtype was inhibited. In this experiment, the macrophages were infected with the wild-type bacteria for I h before the chloramphenicol was added at a concentration known to inhibit bacterial protein synthesis. In the presence of this inhibitor, no MNGC formation could be observed, suggesting that the process leading to MNGC formation in the wild typeinfected macrophages was initiated after bacterial internalisation (Fig. 2A). It should be mentioned that the concentration of chloramphenical used in these experiments was able to significantly inhibit bacterial growth (data not shown). The number of MNGC induced by the bacteria was also enumerated by Giemsa staining. Results presented in Fig. 2B showed that the percentage of MNGC induced by rpoS mutant and the chloramphenicol-treated wild-type infection was less than 3% while that of the wild-type infection in the absence of the inhibitor was 17%.

2.3. Involvement of RpoS in iNOS expression and nitric oxide production

To investigate the possible association of RpoS with iNOS activation, the mouse macrophages were infected with rpoS mutant and wild-type B. pseudomallei or Salmonella enterica serovar Typhi (used as positive control) at MOI 2:1. Eight hours after the infection was initiated, the iNOS expression of infected macrophages was determined by immunoblotting. Unlike the Salmonella control, both rpoS mutant and wild-type B. pseudomallei failed to stimulate iNOS expression. We previously demonstrated that IFN-y could enhance iNOS expression and killing capacity of the macrophages if it was added to the cell culture prior to the time of infection [7,9]. In the present study, a similar experiment using rpoS mutantinfected macrophages was performed. Briefly, the macrophages were preactivated overnight with IFN-y prior to B. pseudomallei exposure and at 4, 6 and 8 h post-infection, the expression of iNOS was determined by immunoblotting. The results showed that although the IFN- γ could enhance iNOS expression of the macrophages, the level of iNOS expression in the cells infected with rpoS mutant was noticeably higher than in those infected with the wild type (Fig. 3B). Consistent with this observation, the level of NO, determined by Griess reaction, in the IFN-y activated macrophages infected with the rpoS mutant was also

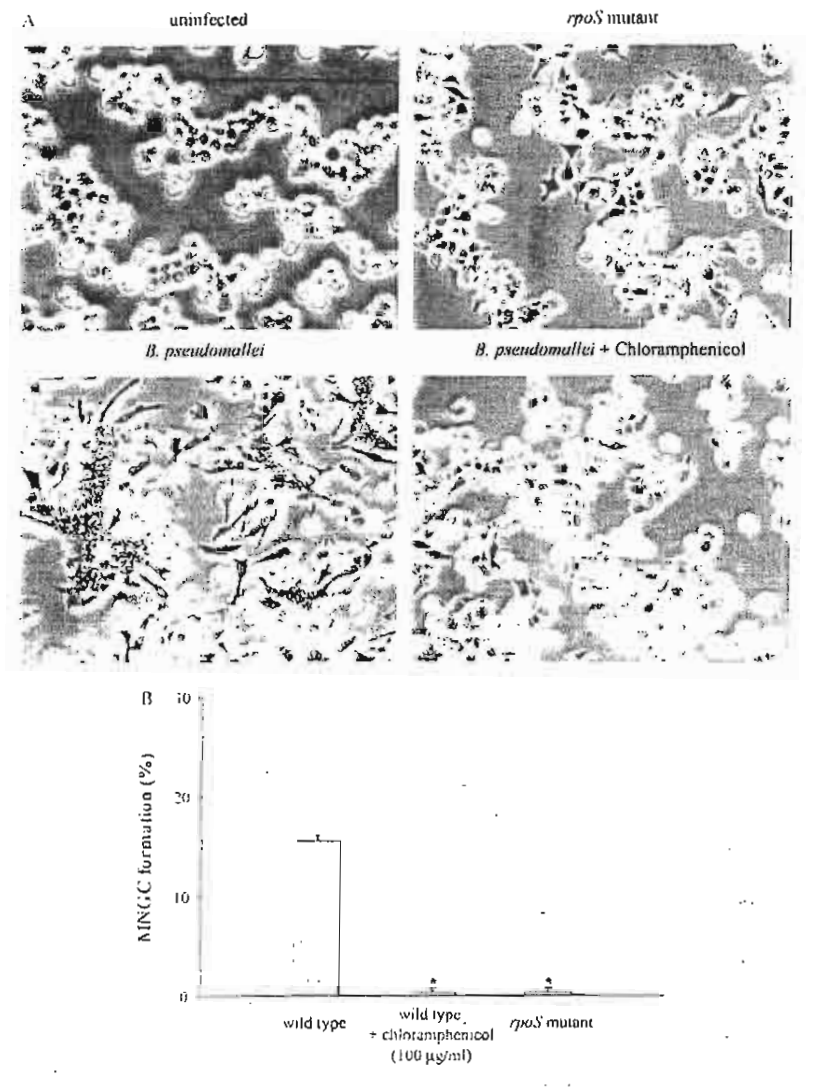


Fig. 2. Inability of rpoS mutant to induce MNGC formation. Mouse macrophage cell line (RAW 264.7) was infected with either the rpoS mutant or the wild type B. pseudomallei at MOI of 2:1 for 1 h. The infected cells were subsequently cultured in the medium with or without chloramphenical added (100 $\mu g/ml$). The MNGC formation (arrows) after 8 h of infection was observed by microscopic examination (100x) (A). To enumerate MNGC formation, the infected cells were fixed, stained with Giernsa and the number of MNGC was determined under microscope (400x) (B). Data shown represent means and standard errors of 3 separate experiments, each carried out in duplicate. $^*P < 0.01$ by Students's t-test.

significantly higher than that of the wild-type control (Fig. 3C). These results suggested the involvement of RpoS in regulating antimicrobial activity of the IFN-γ activated macrophages.

2.4. Bacterial RpoS modulates intracellular killing capacity of IFN- γ activated macrophages

It was shown previously that the expression of iNOS in macrophages infected with the wild type *B. pseudomallei* directly correlated with the macrophage ability to kill intracellular bacteria [7–9]. To determine whether or not a similar phenomenon would be observed with the macrophages infected with the *rpoS* mutant, the number of viable intracellular bacteria in the IFN-y activated macrophages was analysed 8 h post infection. The results presented in Fig. 4

clearly demonstrated that although IFN- γ could enhance the macrophage ability to suppress the intracellular growth of both wild-type *B. pseudomallei* and *rpoS* mutant, the level of suppression was higher in the *rpoS* mutant-infected macrophages (a decrease by 2 orders of magnitude for the *rpoS* mutant compared with a decrease of only 1 order of magnitude for the wild-type).

3. Discussion and conclusion

RpoS is recognized as a global stationary-phase sigma factor that controls the expression of several genes including those encoding for virulence factors [12-14,18,19]. The S. typhimurium rpoS mutant was shown to be less virulent than its wild-type counterpart [20,21], even though it could still

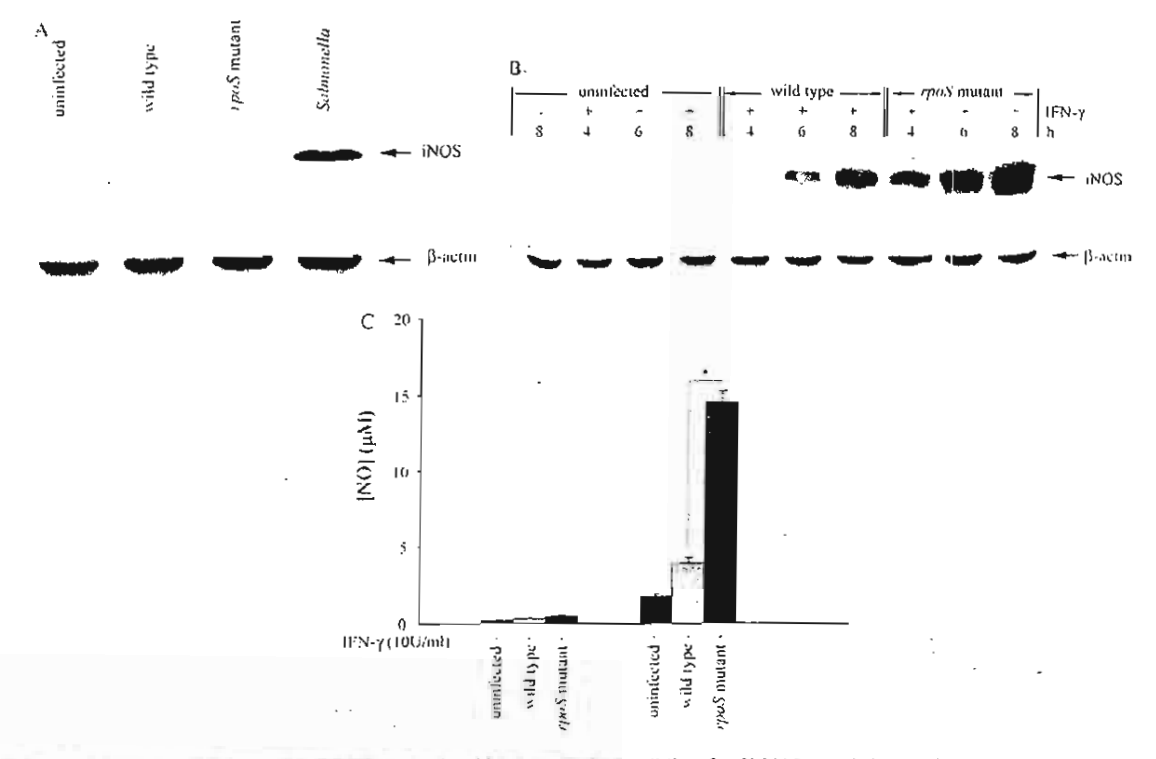


Fig. 3. Influence of RpoS on tNOS expression and NO production. Mouse macrophage cell line (RAW 264.7) was infected with either *tpoS* mutant or wild type B. pseudomallei or Sulmonella at MOI of 2:1. At 8 h time point, the iNOS expression of the infected cells was determined by immunoblotting (A). The effect of IFN
y on tNOS expression and NO production by the macrophages infected with either the *tpoS* mutant or the wild type B. pseudomallei was also investigated (B and C).

The macrophages were pretreated with IFN-y (10 U/ml) overnight before being infected with either the *tpoS* mutant or the wild type B. pseudomallei at MOI of 2:1.

The expression of iNOS was determined after 4, 6 and 8 h of infection by immunoblotting (B). The level of NO in the supermatant of 8 h macrophage culture was determined by Gness reaction (C). Data represent means and standard errors of 3 separate experiments, each carried out in duplicate. *P < 0.01 by Students's t-test.

survive and multiply inside the macrophages [18]. The modulation of human activity by S. typhi rpoS mutant had also been investigated. For instance, the mutant exhibited lower degree of cytoxicity for human macrophages, judging from a decreased ability to induce host cell death compared with the wild type counterpart [22]. As with the rpoS mutant of Salmonella, rpoS deficient B. pseudomallei in the present study could also survive and multiply inside the mouse macrophages in a similar way to the wild type parent (Fig. 1).

One of the unique characteristics of B. pseudomallei is their ability to induce a cell-to-cell fusion, resulting in MNGC formation which may facilitate the bacteria to spread from one cell to the others [4,5]. The mechanism of B. pseudomalleiinduced cell-to-cell fusion is yet to be determined. However, we demonstrated in this communication that the wild-type B. pseudomallei failed to induce MNGC when the bacterial protein synthesis was inhibited after the bacteria had been internalised (Fig. 2), suggesting that it is the bacterial factor(s) expressed after being internalised that plays a role in the induction of MNGC formation. This conclusion is based on the data that in the presence of chloramphenicol, no MNGC formation was observed in the macrophages that were infected with the wild-type B. pseudomallei even at a very high MOI ratio of 100:1 (data not shown). In contrast to the wild-type, the B. pseudomallei lacking rpoS at the same MOI could not

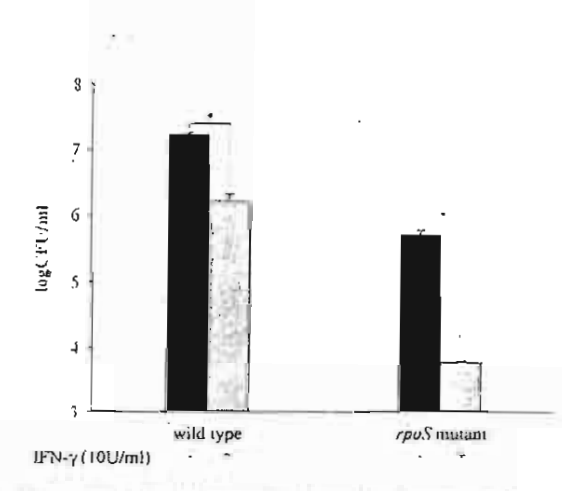


Fig. 4. Effects of IFN- γ in suppression of intracellular bacteria in the infected-macrophages. Mouse macrophage cell line (RAW 264.7) was preactivated with or without IFN- γ (10 U/ml) overnight before being infected with either rpoS mutant or wild type B, pseudomatlei at MOI of 2:1. Eight hours after the infection, the number of intracellular viable bacteria was determined by standard antibiotic protection assay as described in Materials and Methods. A highly significant reduction was noted with the rpoS mutant. Data shown represent means and standard errors of 3 separate experiments, each carried out in duplicate. *P<0.01 by Students's t-test.

induce MNGC formation, suggesting a possible involvement of RpoS in the induction of MNGC formation (Fig. 2).

Activation of iNOS and NO production in macrophages is known to play an essential role in inhibiting growth and killing of intracellular bacteria including B. pseudomallei [7-9]. Previously we demonstrated that B. pseudomallei could interfere with iNOS expression, thus allowing it to survive macrophage killing [7,8]. However, exogenous IFN-y or IFN-β added to resting macrophage could enhance and restore its ability to kill intracellular B. pseudomallei by activating iNOS expression [7-9]. In the present study, we demonstrated that by itself the rpoS mutant, like its wild-type counterpart, also failed to activate iNOS expression (Fig. 3). However, in the presence of IFN-y, the level of iNOS in the rpoS mutant-infected macrophages was markedly elevated compared with its wildtype control. The increase of iNOS expression and NO production level also correlated to the decrease of intracellular survive of the bacteria (Fig. 4). However, it could also be argued that the lower number of intracellular rpoS mutant may be due to inherently higher susceptibility of the mutant to killing by reactive nitrogen intermediate than the wild-type. This problem is now under investigation by our group.

RpoS is known to play an important role in response of bacteria to a number of environmental stresses. Escherichia coli produces KatE (hydroperoxidase I) which has both catalase and peroxidase activity, allowing it to overcome the antimicrobial activity of hydrogen peroxide produced by the host [23]. This enzyme is also known to be under the control of RpoS [24]. In the host tissue, RpoS could also regulate virulence gene expression, such as the spv of S. typhimurium [25]. In our study, we demonstrated that RpoS of B. pseudomallei could regulate not only the expression of a putative bacterial factor(s) which may be involved in MNGC formation, but also of the iNOS. However, the virulence factors of B. pseudomallei that are regulated by RpoS have never been identified but needed to be investigated if we are to more fully understand the pathogenesis of melioidosis and to develop novel approaches for the management of the disease.

4. Materials and Methods

4.1. Cell line and culture condition

Mouse macrophage cell line (RAW 264.7) was obtained from American Type Culture Collection (ATCC, Rockville, MD). If not indicated otherwise, the cells were cultured in Dulbecco's modified Eagles' medium (DMEM) (Gibco Labs, Grand Island, NY) supplemented with 10% heat-inactivated fetal bovine serum (FBS) (HyClone, Logan, UT) at 37 °C under a 5% CO₂ atmosphere.

4.2. Bacterial strains

B. pseudomallei strain 844 used in this study was originally isolated from a patient admitted to Srinagarind Hospital in the melioidosis endemic Khon Kaen province of Thailand as previously described [7–9]. Salmonella enterica serovar Typhi-

(Salmonella) used for comparison throughout this study was originally isolated from a patient at Ramathibodi Hospital (Mahidol University, Bangkok, Thailand).

rpoS mutant of B. pseudomallei was constructed and had been characterized as previously described [16]. It should be mentioned that the mutant was still reactive with polyclonal anti-B. pseudomallei and monoclonal antibodies against the lipopolysaccharide and exopolysaccharide components of B. pseudomallei [26].

4.3. Infection of mouse macrophage cell line (RAW 264.7)

An overnight culture of mouse macrophages (1×10^6 cells) in a six-well plate was co-cultured with bacteria at a multiplicity of infection (MOI) of 2:1 for 1 h. To remove extracellular bacteria, the cells were washed three times with 2 ml of PBS and residual bacteria were killed by incubating in DMEM containing 250 µg/ml kanamycin (Gibco Labs) for 2 h. Thereafter, the infection was allowed to continue in the medium containing 20 µg/ml of kanamycin until the experiment was terminated [5,8]. To determine intracellular survival and multiplication of the bacteria, a standard antibiotic protection assay was performed as previously described [5]. The number of intracellular bacteria expressed as colony forming unit (CFU) was determined by bacterial colony counting

4.4. Immunoblotting

Mouse macrophage preparations were lysed in buffer containing 20 mM Tris, 100 mM NaCl and 1% NP40. The lysates containing 30 μg of protein were electrophoresed on 10% SDS-PAGE and then electrotransferred to nitrocellulose membrane (Schleicher&Schuell, Dassel, Germany). The membrane was blocked with 5% skim milk for 1 h before incubating overnight with appropriate specific polyclonal rabbit antibodies to mouse iNOS (Santa Cruz, Santa Cruz, CA). The blots were then allowed to react with horseradish peroxidase-conjugated swine anti-rabbit IgG (Pierce, Rockford, IL). Protein bands were detected by enhanced chemiluminescence as recommended by the manufacturer (Roche Diagnostics, Mannheim, Germany).

4.5. Enumeration of multinucleated giant cells (MNGCs) in B. pseudomallei-infected macrophages

In order to quantitate the degree of MNGC formation, the macrophages (1×10^6) were first cultured overnight on a coverslip as previously described [5]. For the chloramphenicol experiment, the drug (100 µg/ml) was added into the culture medium after the bacteria were internalised for 1 h. Eight hours after the infection, the coverslips were washed with PBS, fixed for 15 min with 1% paraformaldehyde and then washed sequentially with 50 and 90% ethanol for 5 min each. The coverslips were air dried before staining with Giemsa [5]. For enumeration of the MNGC formation, at least 1000 nuclei per coverslip were counted using light microscope at

a magnification of 40× and the percentage of multinucleated cells was calculated [5]. The MNGC was defined as the cell possessing more than one nuclei within the same cell boundary.

4.6. NO assay

The production of NO in the form of nitrite in the supernatant was determined by the Griess reaction [27]. The nitrite was used as standard ranged from 0 to 40 μ M:

4.7. Statistical Analysis

If not otherwise indicated, all experiments in this study were conducted at least three times. Experimental values were expressed as means \pm standard errors. Statistical significance of differences between the two means was evaluated by Student's t test, and P value <0.01 was considered significant.

Acknowledgements

This work was supported by research grants from Thailand Research Fund. We are grateful to Mr Maurice Broughton (Chulabhorn Research Institute) for his comments and suggestions during the preparation of this manuscript.

References

- Cheng AC, Currie BJ. Melioidosis: epidemiology, pathophysiology, and management. Clin Microbiol Rev 2005;18:383

 416.
- [2] Dharakul T. Songsivilai S. The many facets of melioidosis. Trends Microbiol 1999;7:138–46.
- [3] Jone A, Beveridge TJ, Woods DE. Intracellular survival of Burkholderia pseudomallei. Infect Immun 1996;64:782–90.
- [4] Harley VS, Dance DAB, Drasar BJ, Tovey G. Effects of Burkholderia pseudomallei and other Burkholderia species on eukaryotic cells in tissue - culture. Microbios 1998;96:71-93.
- [5] Kespichayawattana W. Rattanachetkul S, Wanun T, Utaisincharoen P. Sirisinha S. Burkholderia pseudomallei induces cell fusion and actinassociated membrane protusion: a possible mechanism for cell-to-cell spreading. Infect Immun 2000;68:5377-84.
- [6] Wong KT, Puthucheary SD, Vadievelu J. The histopathology of human melioidosis. Histopathology 1995;26:5.1-5.
- [7] Utaisincharoen P. Tangthawornchaikul N, Kespichayawaitana W, Chaisuriya P. Sirisinha S. Burkholderia pseudomallei interferes with inducible nitric oxide synthase (iNOS) production: a possible mechanism of evading macrophage killing. Microbiol Immunol 2001;45:307–13.
- [8] Utaisincharoen P, Anuntagool N. Limposuwan K, Chaisuriya P, Sirisinha S. Involvement of IFN-β in enhancing inducible nitric oxide synthase (iNOS) production and antimicrobial activity of B. pseudomallei-infected macrophages. Infect Immun 2003;71:3053-7.
- [9] Utaisincharoen P. Anuntagool N. Arjcharoen S. Limposuwan K. Chaisuriya P, Sirisinha S. Induction of iNOS expression and antimicrobial activity by interferon (IFN)-β is distinct from IFN-γ in Burkholderia pseudomallei-infected mouse macrophages. Clin Exp Immunol 2004;136: 277–83.

- [10] Muffler A, Traulsen DD, Lange R, Hengge-Aronis R. Posttranscriptional osmotic regulation of the σ^S subunit of RNA polymerase in *Escherichia* coli. J Bacteriol 1996;178:1607–13.
- [11] Hengge-Aronis R. Signal transduction and regulatory mechanisms involved in control of the σ^S (RpoS) subunit of RNA polymerase. Microbiol Mol Biol Rev 2002;66:373-95.
- [12] Kowarz L, Coynault C, Robbe-Saule V, Norel F. The Salmonella ryphimurium katF (rpoS) gene: cloning, nucleotide sequence, and regulation of spvR and spvABCD virulence plasmid genes. J Bacteriol 1994;176:6852-60.
- [13] Norel F, Robbe-Saule V, Popolf MY, Coynault C. The putative sigma factor KatF (RpoS) is required for the transcription of the Salmonella ryphimurium virulence gene spv8 in Escherichia coli. FEMS Microbiol Lett 1992;99:271-6.
- [14] Nickerson CA, Curtiss III R. Role of sigma factor RpoS in initial stages of Salmonella typhimurium infection. Infect Immun 1997:65: 1814-23.
- [15] Fang, FC, Libby SJ, Buchmeier NA, Loewen PC. Switala J. Harwood J, et al. The alternative sigma factor KatF (RpoS) regulates Salmonella virulence. Proc Natl Acad Sci USA 1992;89: 11978-82.
- [16] Subsin B, Thomas MS, Katzenmeier G, Shaw JG, Tungpradabkul S, Kunakom M. Role of the stationary growth phase sigma factor RpoS of Burkholderia pseudomaller in response to physiological stress conditions. J Bacteriol 2003;185:7008-14.
- [17] Utaisincharoen P, Kespichayawattana W, Anuntagool N, Chaisunya P, Pichyangkul S, Krieg AM, et al. CpG ODN enhances uptake of bacteria by mouse macrophages. Clin Exp Immunol 2003;132:70–5.
- [18] Foster JW, Spector MP, How Salinonella survive against the odds. Annu Rev Microbiol 1995;49:145–74.
- [19] Kolter R, Siegele DA, Tormo A. The stationary phase of bacterial life cycle. Annu Rev Microbiol 1993;47:855-74.
- [20] Wilmes-Riesenberg MR, Foster JW, Curtiss III R, An altered rpoS allele contributes to the avilulence of Salmonella typhimurium LT12. Infect Immun 1997;65:203–10.
- [21] Coynault C, Robbe-Saule V, Norel F. Virolence and vaccine potential of Salmonella typhimurium mutants deficient in the expression of the RpoS (ss) regulon. Mol Microbiol 1996;22:149–60.
- [22] Khan AQ, Zhao L, Hirose K, Miyake M, Li T, Hashimoto Y, et al. Salmonella typhi rpoS mutant is less cytotoxic than the parent strain but survives inside resting THP-1 inacrophages. FEMS Microbiol Lett 1998; 161:201-8
- [23] Gonzalez-Flecha B, Demple B. Homeostatic regulation of intracellular hydrogen peroxide concentration in aerobically growing Escherichia coli. J Bacteriol 1997;179:382-8.
- (24) Schellhorn HE, Stones VL. Regulation of katF and katE in Escherichia coli K-12 by weak acids. J Bacteriol 1992;170:3903–9.
- [25] Chen CY, Eckmann L, Libby SJ, Fang FC, Okamoto S, Kagnoff MF, et al. Expression of Sulmonella syphimurium rpoS and rpoS-dependent genes in the intracellular environment of cukaryotic cells. Infect Immun 1996;64: 4739–43.
- [26] Anuntagool N, Intachote P, Wuthievanun V, White NJ, Sirisinha S Lipopolysacchande from nonvirulent Ara Burkholderia pseudomaller isolates is immunologically indistinguishable from lipopolysacchande from virulent Ara clinical isolate. Clin Diagn Lab Immunol 1998;5: 225-9.
- [27] Green LC, Wagner DA, Glogowski J, Skipper PL, Wishnok S, Tannenbaum SR, Analysis of nitrate, nitrite, and [15N] nitrate in biological fluids. Anal Biochem 1982;126:131-8.

INBOX: Fwd: MS29226-revised Page 1 of 1

Move | Copy | this message to: ▼ INBOX: 21 of 156 Back to INBOX ◀ ▶ Delete | Reply | Reply to all | Forward | Save as Date: Mon, 28 Aug 2006 11:31:24 +0700 From: Mongkol Kunakorn < ramkn@mucc.mahidol.ac.th > [1] To: Sumalee Tangpradapkul <scstp@mucc.mahidol.ac.th> 2 Cc: Putthapoom Lumjiaktase <putthapoom@hotmaii.com> [3] Subject: Fwd: MS29226-revised Parts: mic29226revised.pdf (1211.25 KB) We got published at last. Best Regards, Mongkol ----- Forwarded message -----From: "Pierre Cornelis" <pcomel@vub.ac.be> To: ramkn@mucc.mahidol.ac.th Cc: mikros@sgm.ac.uk Subject: MS29226-revised Date: Fri, 25 Aug 2006 22:29:54 +0700 Dear Dr. Kunakorn, I have been through the revised version of your manuscript and it is now accepted for publication in Microbiology. The manuscript is quite interesting and reads very easily. You will be contacted soon by the Editorial Office who will confirm you my decision. Regards, Pierre Cornelis Associate Editor Pierre Cornelis Laboratory of Microbial Interactions Vrije Universiteit Brussel Institute for Molecular Biology & Biotechnology Bui!dina E Pleinlaan 2 1050 Brussels Belgium Tel: 32 2 6291906 Fax: 32 2 629 £902 E-mail: pcor-iel@vub.ac.be

Delete | Reply | Reply to all | Forward | Save as

Back to INBOX ◀ ▷

Move | Copy this message to: 🕶

Manuscript 29226 (revised according to July 26,2006 letter)

2

3 Quorum sensing regulates dpsA and the oxidative stress response

4 in Burkholderia pseudomallei

5

- 6 Putthapoom Lumjiaktase, 1 Stephen P. Diggle, 2 Suvit Loprasert, 3 Sumalee Tungpradabkul, 4
- 7 Mavis Daykin, ² Miguel Cámara, ² Paul Williams² and Mongkol Kunakorn ¹

Ġ

- 9 Department of Pathology, Faculty of Medicine-Ramathibodi Hospital, Mahidol University,
- Rama VI Road, Bangkok 10400, Thailand.
- 1 2institute of Infection, Immunity and Inflammation, Centre for Biomolecular Sciences,
- 12 University of Nottingham, Nottingham, NG7 2RD, UK
- 13 Department Laboratory of Biotechnology, Chulabhorn Research Institute, Lak Si, Bangkok,
- 14 10210, Thailand
- 15 Department of Biochemistry, Faculty of Sciences, Mahidol University, Rama VI Road,
- 16 Bangkok 10400, Thailand.

17 Correspondence

- 18 Mongkol Kunakorn
- 1) nrnko úmahidol.ac.th

7

Key Words: *Burkholderia pseudomallei*; quorum-sensing; *N*-octanoylhomoserine lactone; BpsI; BpsR; DpsA, oxidative stress

23

- Abbreviations: LC MS/MS: liquid chromatography tandem mass spectrometry; N-acylhomoserine lactone (AHL); C8-HSL, N-octanoyl-homoserine lactone; 3-oxo-C8-HSL, N-(3-oxooctanoyl)homoserine lactone; 3-hydroxy-C8-HSL, N-(3-hydroxy-C8-HSL, N-(3-hydroxy-C8-hydroxy-C8-HSL, N-(3-hydroxy-C8-hydroxy-C8-hydroxy-C8-hydroxy-C8-hydroxy-C8-hydroxy-C8-hydroxy-
- 28 hydroxydecanoyl)homoserine lactone and 3-hydroxy-C12-HSL, N-(3-
- 29 hydroxydodecanoyl)homoserine lactone.

37

Summary

2

1

Burkholderia pseudomallei is the causative agent of melioidosis, a fatal human tropical 3 disease. The non-specific DNA-binding protein, DpsA plays a key role in protecting B. 4 pseudomallei from oxidative stress mediated, for example, by organic hydroperoxides. The regulation of dpsA expression is poorly understood but one possibility is that it is regulated in 6 a cell population density-dependent manner via N-acylhomoserine lactone (AHL)-dependent 7 quorum sensing (QS) since we have located a lux-box motif within the dpsA promoter region. 3 9 Using liquid chromatography and tandem mass spectrometry (LC MS/MS), we first established that B pseudomallei strain PP844 synthesizes AHLs. These were identified as N-1.7 octanoyl-homoserine lactone (C8-HSL); N-(3-oxooctanoyl)homoserine lactone (3-oxo-C8įτ HSL); *N*-(3-hydroxyoctanoyl)-homoserine lactone (3-hydroxy-C8-HSL), Ν-12 decanoythomoserine lactone (C10-HSL), N-(3-hydroxydecanoyl) homoserine lactone (3-13 hydroxy-C10-HSL) and N-(3-hydroxydodecanoyl)homoserine lactone (3-hydroxy-C12-HSL). 4 15 Mutation of the genes coding for the LuxI homologue, BpsI or the LuxR homologue, BpsR resulted in the loss of C8-HSL and 3-oxo-C8-HSL synthesis demonstrating that BpsI was 13 responsible for directing the synthesis of these AHLs only and that bpsI expression and hence 1, 15 C3-HSL and 3-oxo-C8-HSL production depends on BpsR. In bpsI, bpsR and bpsIR mutants, dpsA expression was substantially down-regulated. Furthermore, when expressed in 19 Liscoerichia coli, dpsA expression required both BpsR and C8-HSL. bpsIR-deficient mutants 20 embited hypersensitivity to the organic hydroperoxide, tert-butyl hydroperoxide (t-BOOH), Ž by displaying a reduction in cell viability which was restored by provision of exogenous C8-. . HSL (bpsl mutant only) or by complementation with the bpsIR genes or by overexpression of 23 dps 1. These data indicate that in B. pseudomallei, QS regulates the response to oxidative 24 stress at least in part via the BpsR/C8-HSL dependent regulation of DpsA. 25

INTRODUCTION

2

1

3 Furkholderia pseudomallei is the causative agent of melioidosis, a fatal tropical disease .1 endemic in areas of Southeast Asia and Australia (Wuthiekanun et al., 1995). The organism cal be isolated from soil and water. Human infections occur mainly through skin abrasions 6 and inhalation of contaminated aerosols. Frequent relapse has been observed after apparent cure and serological studies have shown that a significant proportion of individuals in 8 endemic areas can be infected asymptomatically (Cheng & Currie, 2005). In vitro studies have demonstrated that B. pseudomallei can survive and multiply inside phagocytes (Jones et 9 al., 1996). To survive inside the phagolysosome, the organism has to endure both acid and 1) oxidative stress. DNA-binding protein from starved cells (Dps) is an abundant protein in 1| stationary phase Escherichia coli cells (Almiron et al., 1992). Although Dps was originally ĺ. Jescribed as a non-specific DNA binding protein involved in resistance to oxidative stress, it 12 is actually a bacterioferritin and there are examples of Dps proteins which both bind DNA and 14 sequester iron (Martinez & Kolter, 1997; Stillman et al. 2005). These are thought to protect 1: DNA from damage both as a physical shield and by inhibiting Fenton reaction-catalyzed · E 17 oxyradical formation. Recently, the crystal structures of two Dps proteins (DpsA and DpsB) from Lactococcus lactis have been described where both proteins were demonstrated to bind 18 1 } DNA via an N-terminal α -helix (Stillman et al. 2005)

2,

21

27

23

24

25

In *B pseudomallei*, DpsA has been shown to protect DNA from damage by both acid and oxidative stress (Loprasert *et al.*, 2004). The *dpsA* gene in the *B. pseudomallei* genome is recated downstream of *katG* which codes for a bifunctional enzyme with both catalase and peroxidase activities. Although the mechanism by which DpsA is regulated is not well understood, it is known that expression increases in response to oxidative stress through

į

G

11

12

13

1

15

'E

1 7

19

21

22

23

24

increased transcription of the katG (catalase peroxidase) promoter, which is OxyR-dependent

2 (Loprasert et al., 2004). Furthermore, dpsA can also be transcribed from its own promoter in

an OxyR-independent manner (Loprasert et al., 2004).

Quorum sensing (QS) is a term used to describe the phenomenon where bacteria coordinate

5 the production of a diverse array of phenotypic behaviours in accordance with their cell

population size via production of diffusible cell-to-cell signal molecules (Swift et al., 2001;

8 Cámara et al., 2002). Once a threshold concentration has been reached, a response is triggered

that leads to changes in gene expression and consequently the phenotype of the cells. In

10 Gram-negative bacteria, the most intensively studied quorum-sensing systems rely upon the

interaction of N-acylhomoserine lactone (AHL) signal molecules, synthesised via LuxI-type

AHL synthases, with LuxR-type transcriptional regulator proteins. Together, the LuxR-type

protein and its cognate AHL then activate the expression of specific target genes (Swift et al.,

2001). Many Gram-negative bacteria possess more than one LuxR and/or LuxI gene and

produce multiple AHLs. For example, the opportunistic pathogen Pseudomonas aeruginosa

contains two LuxRI systems which operate in a hierarchical manner to regulate an arsenal of

virulence determinants and secondary metabolites (Cámara et al., 2002; Lazdunski et al,

ε 2504).

20 in i., pseudomallei, a LuxRI AHL-dependent QS system termed BpsRI was first described in

2002 by Lumjiaktase, et. al., (GenBank accession no. AF501236). Subsequently, Valade et al.

(2.304) reported that the PmII-PmIR QS system is required for full virulence in B.

preudomallei strain 008 as a pmll mutant was significantly less virulent than the parental

strain in a murine infection model. The PmII protein exhibits 98% sequence identity to BpsI

25 (Valade et al., 2004). In B. pseudomallei strain KHW, a LuxRI pair closely related to BpsI-

1 BpsR was described by Song et al. (2005) who reported that it positively regulated 2 phospholipase C but negatively regulated siderophore production. Both bpsI and bpsR ţ, mutants were attenuated in a Caenorhabditis elegans virulence assay (Song et al. 2005). Using HPLC and bioassays of B. pseudomallei spent culture supernatants, Valade et al., (2004) tentatively identified C10-HSL which they attributed to PmII although they did not 5 6 examine the supernatant of the pmlI mutant or express pmlI in E. coli to establish whether 7 Pmll was indeed responsible for C10-HSL synthesis. Song et al., (2005) expressed bpsI in E. coli and, by HPLC, tentatively identified C8-HSL but did not examine the AHL profile of a B. 8 pseu lomaliei bpsI mutant. Recently, three LuxRI pairs together with two additional LuxR homologues have been identified in B. pseudomallei DD503 (Ulrich et al., 2004a). DD503 10 was reported to produce at least five AHLs, including N-octanoyl-homoserine lactone (C8-1 HSL), N-decanoyl-homoserine lactone (C10-HSL), N-(3-hydroxyoctanoyl) homoserine :2 13 'actorie (3-hydroxy-C8-HSL), N-3-hydroxydecanoyl homoserine lactone (3-hydroxy-C10-N-3-oxotetradecanoyl homoserine lactone (3-oxo-C14-HSL). Mutation of HSL) and 14 individual B. pseudomallei luxI homologues was reported to have no effect on the AHL 15 profile (Ulrich et al., 2004a). 16

1'

18

19

0.0

21

22

The regulation of *dpsA* expression in *Burkholderia* is poorly understood but one possibility is that it is regulated via AHL-dependent QS since there is a *lux* box motif located within its promoter region. Here we define the nature of the AHLs synthesized by *B. pseudomallei* PP844 and show that *dpsA* expression and resistance to oxidative stress is dependent on QS via 3psIR and C8-HSL.

23

24

METHODS

2

1

Bacterias strains, plasmids and media. Bacterial strains and plasmids used are shown in 3 Table 1. Unless otherwise stated, bacteria were cultured using Luria Bertani (LB) broth or 4 agar with appropriate antibiotics at 37°C. In cases of mixed cultures, e.g. conjugations, ŗ. incubations were at 30°C. Pseudomonas agar base supplemented with SR 103E (cetrimide, 6 7 fucidin and cephaloridine) from Oxoid was used, after conjugation, as a selective medium to inhibit growth of E. coli. M9 minimal medium with 2% w/v glucose was used for B-8 Çı galactosidase activity assays. Antibiotics were used at the following concentrations when required; ampicillin 100 µg ml⁻¹, trimethoprim 200 µg ml⁻¹ for B. pseudomallei and 100 µg 1) ml for E. coli, spectinomycin 800 μg ml for B. pseudomallei and 200 μg ml for E. coli, 1 | terracycline 60 μg ml⁻¹ and chloramphenicol 40 μg ml⁻¹. 12

10

14

15

16

4 7

13

(d)

20

2

27

23

24

25

Amplification and cloning of bpsI and bpsR genes. Using the cepI and cepR genes of Burkholderia cepacia template for the BLAST program as (http://www.ncbi.nih.gov/BLAST/), homologues of this AHL synthase and its cognate activator were identified in B. pseudomallei genome database transcriptional (http://www.sa:ger.ac.uk/Projects/B pseudomallei/) and designated bpsI and respectively. A PCR product of 663 bp containing the full length bpsI was amplified from B. **BPSIF** (5'genomic DNA using primers pseudomallei strain PP844 ctgcugctccttgaatgacgaacggc -3') and BPSIR (5'- aagcttcatgcgaactttcgttcatgg -3') and cloned into the HindIII and PstI sites of pUC19 to create pUCI. A PCR product of 2.5 kbp containing both bpsI and bpsR (bpsIR) was amplified using primers BPSIF and BPSRR (5'ctgcaggaaccgttgatggagtgagc -3') and cloned into pBBR-Sp by blunt ended ligation to create pBBR-IR3. The 2.5 kbp PCR product was cut by EcoRI to obtain a 1288 bp DNA fragment

8

3

17)

12

13

14

15

16

17

19

21

25

24

25

1 containing full length bpsR gene which was cloned into pBBR-Sp to create pBBR-R2. The

sequences of bps1 and bpsR from B. pseudomallei strain PP844 were deposited in the

3 Jenbank (accession number AF501236).

6 Construction of B. pseudomallei bpsI and bpsR knockout and complemented mutants.

bpsf (PK15), bpsR (PKR7) and bpsIR (KBIR5) mutants were constructed in B. pseudomallei

strain PP844. Briefly, A 298 bp fragment of the bpsI gene was amplified from PP844 using

primers BIPF (5'- gtcacgccgatcagttgctt -3') and BIPR (5'- agtacgatcgcgacgatacc -3'). The

bluit ended product was ligated into the suicide vector pKNOCK-TC to create pKBI, which

was then mobilized from E. coli S17-1 λpir into PP844 by conjugation. Single-crossover

insertion mutants were selected on pseudomonas base agar containing 60 µg ml⁻¹ tetracycline.

A blunt ended 323 bp fragment of the bpsR gene was amplified using primers BRPF (5'-

cgacacctatecgaaegget -3') and BRPR (5'- aaeggeteateagegagtge -3'). The resulting fragment

was ligated into pKNOCK-CM to create pKBR. After conjugation into PP844, mutants were

selected on pseudomonas base agar containing 40 µg ml⁻¹ chloramphenicol. Finally, the

double bpsIR mutant KBIR5 was created by conjugating pKBR into the PKI5 mutant and

selecting on pseudomonas base agar containing 60 µg ml⁻¹ tetracycline and 40 µg ml⁻¹

chloramphenicol. For complementation of the knockout strain, pBBR-R2 was conjugated into

PKR7 to create PKR7+R which was selected on pseudomonas base agar containing 800 µg

20 ml⁻¹ spectinomycin and 40 μg ml⁻¹ chloramphenicol. Plasmid pBBR-IR3 was conjugated into

KB!R5 to create KBIR5+IR which was selected on pseudomonas base agar containing 800 µg

22 Inf spectinomycin, 60 μg ml tetracycline and 40 μg ml chloramphenicol.

Construction of dpsA::lacZ transcriptional fusion strains. TnpD is a mini-transposon

vector containing the dpsA promoter fused to lacZ and maintained in E.coli CC118 (CpUT) as

described in previous studies (Loprasert et al., 2004). Integration of the dpsA promoter::lacZ 1 2 transcriptional fusion into the chromosome of B. pseudomallei PP844, the QS mutants PKIS, PKR7 and KBIR5 and their corresponding complemented strains was achieved by 3 corrugation of TnpD on plates containing trimethoprim (200 µg ml⁻¹). In order to express the į. Dps.A protein in KBIR5, pDps (Loprasert et al., 2004) was transformed into this mutant to į create KBIR5+dpsA. To determine whether BpsR regulated dpsA directly, pBBR-R2 was € 7 introduced into E. coli CpUT to generate E. coli CpUT+R. The bacteria were selected on agar containing trimethoprim (100 µg ml⁻¹) and spectinomycin (200 µg ml⁻¹). 8 Ĉ Assay for β -galactosidase activity. Cell lysates taken from different phases of growth from 10 B. pseudomallei strains grown in MM9 medium with 0.5 µM NaCl and with or without C8-11 HSŁ (200 nM) at 37°C were prepared using bacterial protein extraction reagent (Pierce) and 12 assayed for β -galactosidase activity in Miller units using o-nitrophenyl- β -D-galactoside as a 13 substrate (Miller, 1972). Similar assays were undertaken for E. coli CpUT and CpUT+R 14 grown in the absence or presence of C8-HSL, 3-oxoC8-HSL, 3-hydroxy-C8-HSL, C10-HSL, 15 3-hydroxy-C10-HSL and 3-hydroxy-C12-HSL (100 nM). 16 17 18 Growth on oxidant agar plates. Bacterial cultures were grown overnight in M9 low glucose 19 medium and adjusted to OD₆₀₀ 1.0 and 10-fold serially diluted. Ten microliters of each 20 dilution was spotted onto LB agar containing 150 µM tert-butyl hydroperoxide (t-BOOH) and 2. the extent of growth was observed after 24 h of incubation at 37°C (Loprasert et al., 2004). 22 23 Growth inhibition zone assay. Bacterial cultures grown overnight in M9 low glucose . 4 medium were adjusted to OD600 1.0 and added to 3 ml of warm top LB agar. The mixtures 20

Ţζ

20

were overlaid onto LB agar plates. Paper discs containing t-BOOH (250 μ M) were placed on

the cell lawn. Zone diameters of growth inhibition were measured after 24 h incubation

3 (Loprasert et al., 2004).

Oxidative stress assay. Overnight stationary phase cultures of wild type, KBIR5 and

KBIR5+dpsA mutants cells were incubated at 37°C with shaking at 250 rpm in the presence

and absence of t-BOOH at concentrations up to 150 µM. After the addition of t-BOOH

(which becomes time zero in the experiment), viable-cell counts every 30 min were

9 periodically determined.

Synthesis of AHLs. A range of AHLs with acyl side chains from C4 to C14 in length with or

without 3-oxo or 3-hydroxy substituents were synthesised as previously described by Chhabra

13 *et a.*'. (1993; 2003).

AHL extraction and LC MS/MS analysis B. pseudomallei strains were grown to an

OD_{6(R)} 1.6 in 2 I tryptic soy broth at 37°C with shaking at 250 rpm. Cells were removed by

centrifugation and the supernatant was extracted twice with equal volumes of acidified ethyl

acetate (100 µl of glacial acetic acid per liter of ethyl acetate) and concentrated by rotary

evaporation at 40-45°C. The residue was resuspended in 50 µl of methanol prior to liquid

chromatography tandem mass spectrometry (LC-MS/MS). AHLs were separated by reverse

21 phase chromatography (RP-HPLC) using an Exsil Pure C18 MS 5μ column (250 x 2.1 mm;

22 Aliculi Associates, Inc.) coupled to a tandem mass spectrometer (Applied Biosystems 4000

23 CTRAP) and eluted with a 35-70% w/v acetonitrile/water gradient as described before

24 (Yates et al., 2002). Enhanced product trap experiments (EPI) were triggered by precursor ion

(m = 102) scanning for between the m/z range 150-350. The precursor ion m/z 102 is

- characterisitic of the homoserine lactone ring moeity. EPI spectra (m/z range 80-400)
- containing an ion at m/z 102 ion were compared with the product mass spectra of the
- 3 corresponding synthetic AHL standard.

5

RESULTS

6

7

Э

11

15

17

20

8 B. pseudomallei strain PP844 produces multiple AHLs

Spent stationary phase culture supernatants prepared from *B. pseudomallei* strain PP844 were

extracted with ethyl acetate and subjected to LC MS/MS. The data obtained are summarized

12 in Γable 2. Six AHLs were unequivocally identified by comparison of their retention times,

13 molecular and principal fragment ions with synthetic standards. These are C8-HSL, 3-oxo-

14 C8-HSL, 3-hydroxy-C8-HSL, C10-HSL, 3-hydroxy-C10-HSL and 3-hydroxy-C12-HSL.

6 C8-HSL and 3-oxo-C8-HSL production is dependent on bpsI and bpsR

18 Fine gene coding for the LuxI homologue bpsI was cloned from the B. pseudomallei PP844

chromosome and sequenced. BpsI is 97% and 98% identical with the corresponding genes

from B. pseudomallei strains K96243 and KHW respectively (data not shown). Since the

identity of the AHL(s) synthesized via Bpsl have not been unequivocally chemically

22 identified, the bpsI gene was expressed in E. coli EBPI. Ethyl acetate extracts of EBPI

culture supernatants were subjected to LC MS/MS and a molecule with an m/z 228 was

identified with fragmentation ions of m/z 127 and 102, characteristic of C8-HSL (Table 2).

25

23

24

To evaluate the impact of *bpsI* and *bpsR* mutations on the AHL profile of *B. pseudomallei*PP844, we constructed *bpsI* (PKI5) and *bpsR* (PKR7) mutants. Table 2 compares the AHL
profiles derived from LC MS/MS analysis of the corresponding spent culture supernatants. In
both mutants, the only compounds absent are C8-HSL and 3-oxo-C8-HSL a finding which
indicates that *bpsI* is responsible for their synthesis in *B. pseudomallei* PP844 and that the
BpsIR system does not impact on the expression of the other AHL synthases present in this
organism. Table 2 also shows that *bpsI* is regulated by BpsR since mutation of *bpsR* results in
the loss of C8-HSL and 3-oxo-C8-HSL synthesis.

Expression of dpsA in B. pseudomallei is BpsIR/C8-HSL-dependent

1€

In the promoter region (-74 to -55) of *dpsA*, we identified a 20 base pair sequence (GCATCCCGcATCGGGCATGC) as a *lux* box motif characteristic of genes which are regulated via LuxRI/AHL-dependent QS. This motif matches the consensus sequence for the *V fischeri luxI lux* box at 11 out of 21 positions as well as the *P. aeruginosa rhII lux* box (12/20 bases). To assess whether QS is involved in regulating the response of *B. pse adomallei* to oxidative stress, we first introduced a *dpsA::lacZ* transcriptional fusion via (PKR7) mutants and *bpsIR* double mutant (KBIR5) as well as the corresponding complemented strains.

: •

2.2

Fig. ! shows that *dpsA* expression is induced in late logarithmic phase of growth (6 h post inoculation). The *bpsI*, *bpsR* and *bpsIR* mutants all exhibited substantially reduced levels of \(\beta\)-galactosidase activity throughout growth when compared to the PP844 wild type indicating that *dpsA* is regulated via *bpsIR*. Provision of exogenous, synthetic C8-HSL for the *bpsI*

mutant (PKI5) or genetic complementation of the *bpsR* (PKR7) and *bpsIR* (KBIR5) mutants
completely restored *dpsA* expression (Fig. 1) suggesting that the *dpsA* gene is directly or
indirectly regulated by the *bpsIR* QS system. Fig. 1 also demonstrates that mutations in the *bpsIR* QS system have no adverse effects on the growth of *B. pseudomallei* under these
culture conditions and that exogenous synthetic C8-HSL is unable to overcome the growth
shase-dependency of *dpsA* expression.

B. pseudomallei bpsIR QS mutants show increased sensitivity to oxidative stress due to

reduction of dpsA expression

1?

Mutation or overexpression of *dpsA* in *B. pseudomallei* confers hypersensitivity or increased resistance respectively to the organic oxidants such as the organic hydroperoxide *t*-BOOH (Loprasert *et al.*, 2004). To determine the sensitivity of the *bpsI*, *bpsR* and *bpsIR* mutants to oxidative stress, each strain was grown on oxidant agar plates containing 150 μM *t*-BOOH. Each of the mutants was more sensitive to *t*-BOOH than the wild type or the corresponding complemented strains (Fig. 2a). The wild type and complemented strains grew when diluted to 10⁻⁵-10⁻⁷ cfu ml⁻¹ however in contrast, the QS mutants only grew when diluted to 10⁻³-10⁻⁴ cru ml⁻¹. This suggests that PKI5, PKR7, and KBIR5 are between 1,000 - 10,000 times more sensitive to hydroperoxide stress.

2. For evaluate whether the increased sensitivity of the QS mutants was a consequence of reduced dpsA expression, we analyzed the response of the wild type PP844, bpsIR mutant KBIR5 and KBIR5 carrying pDps (KBIR5+dpsA). pDps is a plasmid borne copy of dpsA previously shown to enhance the resistance of B. pseudomallei to t-BOOH (Loprasert et al., 2004). Fig. 2b shows that the wild type grew to the dilution of to 10⁻⁷ cfu ml⁻¹ and KBIR5 to

10⁻² cfu ml⁻¹, whereas KBIR5+dpsA grew to 10⁻⁶ cfu ml⁻¹. Taken together, these results 1 demonstrate that bpsI and bpsR QS mutants are more sensitive to oxidative stress and this is 2 likely to be due to a reduction in dpsA expression and hence DpsA production. The growth 3 inhibition zone assay (Fig. 2c) further confirmed that both wild type and complemented B. 4 pseudomallei strains were more resistant to t-BOOH than were the QS mutants on LB agar. 5 The dpsA complimented strain also showed more resistant to t-BOOH as expected. 6 7 BpsR and C8-HSL are required for maximum expression of dpsA in E. coli 3 9 To determine whether BpsR directly regulated the expression of dpsA in the presence or 10 absence of AHLs, we used E. coli CpUT habouring the dpsA::lacZ transcriptional fusion 11 plasmid, TnpD, together with pBBR-R2 to give E. coli strain CpUT+R. Fig. 3 shows that 12 dpsA promoter activity in E. coli CpUT is ~800 β-galactosidase units ml⁻¹ and remains 13 unchanged on introducing bpsR (E. coli CpUT+R). Exogenous provision of C8-HSL to E. 14 coli CpUT+R but not E. coli CpUT increased dpsA expression approximately 3-fold (to 15 -2 200 β-galactosidase units ml⁻¹). None of the other AHLs produced by B. pseudomallei 11 strain PP844 enhanced dpsA expression. 17

DISCUSSION

18

19

20

21

In common with Gram negative bacteria such as *P. aeruginosa* (Winson *et al.*, 1995),

Rhizobium leguminosarum (Lithgow *et al.*, 2000) and Yersinia pseudotuberculosis (Atkinson *et al.*, 1999), *B. pseudomallei* possesses several LuxI homologues and produces multiple AHL

CS signal molecules. *B. pseudomallei* PP844 is an extremely virulent strain isolated from a

patient who died from the most severe clinical manifestation of melioidosis (Utaisincharoen et í al., 2001). PP844 produces six AHLs with C8, C10 and C12 acyl side chains with or without 2 C3 position substituents. Of these, 3-oxo-C8-HSL and 3-hydroxy-C12-HSL have not 3 previously been identified in B. pseudomallei while C8-HSL, 3-hydroxy-C8-HSL, C10-HSL, 4 and 1-hydroxy-C10-HSL were previously reported by Ulrich et al. (2004a) in B. pseudomallei 5 6 strain DD03. This strain also made 3-oxo-C14-HSL, an AHL which was not present in B. pseudomallei PP844 culture supernatants. In bacteria which possess multiple LuxRI 7 homologues, these QS systems are usually interdependent. In B. pseudomallei DD03, 8 mutation of any of the three individual AHL synthase genes had no effect on the AHL profile 9 apart from the pmll1 mutant which did not produce 3-hydroxy-C14-HSL. These data do not 10 however define which AHLs are synthesized by which LuxI homologue and suggest that 11 12 there is substantial redundancy in the system. Here we have shown that mutation of bpsI results in the specific loss of two AHLs, C8-HSL and 3-oxo-C8-HSL from the AHL profile of 13 the parental PP844 strain. To confirm these data, bpsI was expressed in E. coli. However, 1only C8-HSL was synthesized suggesting either that E. coli is unable to synthesize 3-oxo-C8-15 HSL via BpsI or that 3-oxo-C8-HSL is produced via a different AHL synthase, the expression 16 of which depends on the presence of C8-HSL. When expressed in a heterologous host, LuxI 17 homologues do not always generate the same AHL profile as in the original bacterium 18 (Atkinson et al., 1999) and this is the most likely explanation for our observation. Our 19 unequivocal demonstration that BpsI directs the synthesis of C8-HSL is consistent with the 20 HPLC and bioassay data reported by Song et al (2005) for B. pseudomallei strain KHW. 21 22 However, it is not possible to conclude that C10-HSL is the main AHL produced via PmII (the equivalent gone to bpsI) in B. pseudomallei strain 088 since the authors only examined 23 culture supernatants from the parent strain (Valade et al., 2004) which produces multiple 24 25 AHLs.

In *E. pseudomallei* and the closely related obligate animal pathogen *Burkholderia mallei*, QS mutants are highly attenuated in experimental animal infection models (Ulrich *et al.*, 2004a; 2004b). Although *B. mallei* appears to possess only two *luxI* homologues, nevertheless it also produces C8-HSL, 3-hydroxy-C8-HSL, C10-HSL and 3-hydroxy-C10-HSL (Ulrich *et al.* 2004b) whereas the non-pathogenic *Burkholderia thailandensis* does not produce any of the 3-hydroxy or 3-oxo- compounds although it does synthesize C6-HSL, C8-HSL and C10-HSL (Ulrich *et al.*, 2004c). It is therefore possible that the QS systems employing the substituted

AHLs are more closely associated with the regulation of virulence.

Mutation of *bpsR* in PP844 also resulted in the loss of C8-HSL and 3-oxo-C8-HSL synthesis indicating that BpsR is required for the synthesis of these two AHLs presumably by controlling *bpsI* expression. Indeed, Song *et al* (2005) have shown that C8-HSL is required to activate transcription of both *bpsI* and *bpsR*. Our data also indicate that the *bpsIR* system does not control the expression of the two other *luxI* homologues systems present in *B. pseudomallei* although it remains possible that the other LuxR proteins and AHLs may influence *bpsIR* expression.

The organic hydroperoxide *t*-BOOH has been shown to cause DNA damage in mammalian cells because it reacts with metals to generate *tert*-butoxyl radicals (Altman *et al.*, 1994). DpsA type proteins have previously been demonstrated to prevent iron-dependent hydroxy radical formation (Yamamoto *et al.*, 2002) and in *B. pseudomallei*, DpsA conferred protection against *t*-BOOH (Loprasert *et al.*, 2004). As *bpsI* and *bpsR* mutants exhibit reduced expression of *dpsA*, we thought it likely that they would show increased sensitivity to *t*-BOOH. This was indeed the case with both mutants being more sensitive to *t*-BOOH. This

defect could be complemented by provision of C8-HSL to the bpsI mutant or by genetic 1 complementation of the bpsR and bpsRI mutants. In addition, the viability of the QS mutants 2 was reduced in the presence of t-BOOH when compared with the parent strain cultured under Ú similar conditions. Protection against t-BOOH could also be achieved in the bpsRI mutants 4 by increasing the expression of dpsA. The data suggest that the increased sensitivity to t-£ BOOH observed in the bpsRI mutants is due specifically to a reduction in dpsA expression. 6 Thus the response of the B. pseudomallei wild type to oxidative stress is partially controlled in 7 a cell population density manner through OS as demonstrated in this study perhaps reflecting 3 ε the need to protect DNA from oxidative damage in high density "overcrowded" stationary phase cultures. In P. aeruginosa, the response to oxidative stress imposed by hydrogen 10 peroxide and the O₂ generating agent phenazine methosulphate is also QS controlled since 1 sod 1, sodB and katA are regulated by both the las and rhl QS systems (Hassett et al., 1999). 12

13

14

15

13

:7

18

19

20

2

..2

23

24

25

B pseudomallei can resist phagocytic intracellular killing (Egan & Gordon, 1996) and remain dormant within a host for many years (Nathan et al., 2005). It has evolved a variety of mechanisms to protect its DNA from oxidative damage from either cellular metabolism or the environment, and under such conditions will produce high levels of the non-specific DNA-binding protein DpsA which effectively protects DNA against oxidants (Almiron et al., 1992; Lemasert et al., 2004). In B. pseudomallei (and also B. cenocepacia strain, J2315) dpsA is located adjacent to katG. In the former, both genes are co-transcribed during oxidative stress but under conditions where katG is not highly induced, dpsA is transcribed from a second promoter within the katG-dpsA intergenic region (Loprasert et al., 2003). This region also contains a lux box motif and here we have shown that dpsA expression is positively controlled by the BpsR1 QS system. In Burkholderia cepacia strain ATCC25416, Aguilar et al. (2003) identified a genomic clone (P80) that was activated in an E. coli strain carrying CepR when

J

(,

supplied with C8-HSL. Although they were unable to identify the target gene(s) regulated by CepF in ATCC25416, from the sequence data obtained they noted that a DpsA homologue was present 200 bp downstream of the identified sequence in *B. cenocepacia* strain (J2315), a strain whose genome has been sequenced. Although no direct evidence was presented, it is possible that the response of *B. cepacia* complex to oxidative stress may also be quorum sensing controlled.

1.

In *B. pseudomallei*, *dpsA* expression is not completely dependent on *bpsRI* since ~450 β-galactosidase u ml⁻¹ are observed in the QS mutants (Fig. 1). It is therefore likely that *dpsA* expression is also subject to control by a number of regulatory systems where QS provides the population density signal required to trigger *dpsA* expression in combination with other environmental signals. This is a characteristic of many AHL-dependent QS systems (Withers *et vl.*, 2001). Furthermore, it is noteworthy that *dpsA* expression was not advanced in *B. pscudomallei* by provision of exogenous C8-HSL and remains population and growth phase-dependent. This phenomenon has also been noted in *P. aeruginosa* where provision of exogenous AHLs at the start of growth does not induce early induction of QS-dependent virulence determinants (Diggle *et al.*, 2002; 2003).

2:2

In conclusion, we show that (a) *B. pseudomallei* PP844 synthesizes six AHLs two of which (3-oxo-C8-HSL and 3-hydroxy-C12-HSL) have not previously been identified in *B. pseudomallei*; (b) BpsI directs the synthesis of C8-HSL and 3-oxo-C8-HSL; (c) BpsR, in conjunction with C8-HSL, contributes to the oxidative stress response by positively regulating *dpsA* expression.

ACKNOWLEDGEMENTS

2
2

- 3 This work was supported by Thailand Research Fund grant RSA 4780017, the Melioidosis
- 4 network research grants from the National Health Foundation Thailand, and the
- 5 Biotechnology and Biological Sciences Research Council, U.K. P. Lumjiaktase was supported
- oy Thailand Research Fund Royal Golden Jubilee Ph.D. Program (PHD/0187/2544). The
- 7 auttors would like to thank W. Whangsuk and R. Sallabhan at the Laboratory of
- Biotechnology, Chulabhorn Research Institute and Catherine Ortori at Centre for Analytical
- 9 Bioscience, University of Nottingham for help with the LC MS/MS.

10

11

12

RFFERENCES

4

13

- 15 Aguilar, C., Friscina, A., Devescovi, G., Kojic, M. & Venturi, V. (2003). Identification of
- quorum-sensing-regulated genes of Burkholderia cepacia. J Bacteriol 185, 6456-6462.

17

- Alexeyev, M. F. (1999). The pKNOCK series of broad-host-range mobilizable suicide
- 19 vectors for gene knockout and targeted DNA insertion into the chromosome of gram-negative
- bacteria. Biotechniques 26, 824-826.

- 2. Almiron, M., Link, A. J., Furlong, D. & Kolter, R. (1992). A novel DNA-binding protein
- 23 with regulatory and protective roles in starved Escherichia coli. Genes & Dev. 6, 2646-2654.

- Altman, S. A., Zastawny, T. H., Randers, L., Lin, Z., Lumpkin, J. A., Remacle, J.,
- 2 Dizdaroglu, M. & Rao, G. (1994). tert-butyl hydroperoxide-mediated DNA base damage in
- 3 calcured mammalian cells. Mutat Res 306, 35-44.

- 5 Atkinson, S., Throup, J. P., Stewart, G. S. A. B. & Williams, P. (1999). A hierarchical
- 6 quarum-sensing system in Yersinia pseudotuberculosis is involved in the regulation of
- 7 motility and clumping. Mol Microbiol 33, 1267-1277.
- 8 Cámara, M., Williams, P. & Hardman, A. (2002). Controlling infection by tuning in and
- 9 turning down the volume of bacterial small-talk. Lancet Infect Dis 2, 667-676.

1C

- 11 Cheng, A. C. & Currie, B. J. (2005). Melioidosis: epidemiology, pathophysiology, and
- 12 management. Clin Microbiol Rev18, 383-416.

13

- Chhabra, S. R., Stead, P., Bainton, N. J., Salmond, G. P. C., Stewart, G. S. A. B.,
- Williams, P. & Bycroft, B. W. (1993). Autoregulation of carbapenem biosynthesis in
- 16 Erwinia carotovora J Antibiot 46, 441-454.

17

- 18 Chhabra, S.R., Harty, C., Hooi, D.S., Daykin, M., Williams, P., Telford, G., Pritchard,
- 19 D.I. & Bycroft, B.W. (2003). Synthetic analogues of the bacterial signal quorum sensing
- 20 molecule N-(3-oxododecanoyl)-L-homoserine lactone as immune modulators. J Med Chem
- 21 **46,** 97-104.

- 23 De Lorenzo, V., Herrero, M., Jakubzik, U., & Timmis, K.N. (1990) Mini-Tn5 transposon
- derivatives for insertion mutagenesis, promoter probing, and chromosomal insertion of cloned
- 25 DNA in Gram-negative eubacteria. J. Bacteriol. 172, 6568-6572

- Diggle, S. P., Winzer, K., Lazdunski, A., Williams, P., & Cámara, M. (2002). Advancing
- the quorum in Pseudomonas aeruginosa: MvaT and the regulation of N-acylhomoserine
- lactone production and virulence gene expression. J Bacteriol 184, 2576-2586.

- 5 Diggle, S. P., Winzer, K., Chhabra, S. R., Worrall, K. E., Camara, M. & Williams, P.
- 5 (2003). The Pseudomonas aeruginosa quinolone signal molecule overcomes the cell density-
- 7 dependency of the quorum sensing hierarchy, regulates rhl-dependent genes at the onset of
- 8 stationary phase and can be produced in the absence of LasR. *Mol Microbiol* **50**, 29-43.

9

- 10 Egan, A.M., & Gordon, DL. (1996). Burkholderia pseudomallei activates complement and
- is ingested but not killed by polymorphonuclear leukocytes. *Infect Immun* **64**, 4952–4959.

12

- 13 Panahan, D. (1983) Studies on transformation of Escherichia coli with plasmids. J Mol Biol
- 14 **166**. 557-580.

15

- Hassett, D.J., Ma, J.F., Elkins, J.G., McDermott, T.R., Ochsner, U., West, S.E.H.,
- Huang, C.-T., Fredericks, J., Burnett, S., Stewart, P.S., McFeters, G., Passador, L., &
- Iglewski, B.H. (1999). Quorum sensing in Pseudomoans aeruginosa controls expression of
- 19 catalase and superoxide dismutase genes and mediates biofilm susceptibility to hydrogen
- 20 peroxide. *Mol Microbiol* **34**, 1082-1093.

21

- Jones, A. L., Beveridge, T. J. & Woods, D. E. (1996). Intracellular survival of Burkholderia
- 23 pseudomallei. Infect Immun 64, 782-790.

- 1 Lazdunski, A. M., Ventre, I. & Sturgis, J.N. (2004). Regulatory circuits and
- 2 communication in gram-negative bacteria. Nature Rev Microbiol 2, 581-592.

- 4 Lithgow, J.K., Wilkinson, A., Hardman, A., Rodelas, B., Wisniewski-Dye, F., Williams,
- E. & Downie, J.A. (2000). The regulatory locus cinRI in Rhizobium leguminosarum controls
- 6 a network of quorum-sensing loci. Mol Microbiol 37, 81-97.

7

- 3 Loprasert, S., Whangsuk, W., Sallabhan, R. & Mongkolsuk, S. (2000). Characterization
- and mutagenesis of fur gene from Burkholderia pseudomallei. Gene 254, 129-137.

10

- Loprasert, S., Whangsuk, W., Sallabhan, R. & Mongkolsuk, S. (2003). Regulation of the
- 12 katci-dpsA operon and the importance of KatG in survival of Burkholderia pseudomallei
- exposed to oxidative stress. FEBS Lett 542, 17-21.

4

- Loprasert, S., Whangsuk, W., Sallabhan, R. & Mongkolsuk, S. (2004). DpsA protects the
- human pathogen Burkholderia pseudomallei against organic hydroperoxide. Arch Microbiol
- 17 **182**, 96-101.

18

- 19 Martinez, A. & Kolter, R. (1997). Protection of DNA during oxidative stress by the non-
- 20 spε fic DNA-binding protein Dps. J Bacteriol 179, 5188-5194.

21

- Miller, J. H. (1972). Experiments in molecular genetics. Cold Spring Harbor, NY: Cold
- 23 Spring Harbor Laboratory Press. pp. 352-355.

- Nathan, S. A., Qvist, R. & Puthucheary, S. D. (2005). Kinetic studies of bioactive products
- 2 nitric oxide and 8-iso-PGF(2alpha) in Burkholderia pseudomallei infected human
- 3 macrophages, and their role in the intracellular survival of these organisms. FEMS Immunol
- 4 Vied Microbiol 43, 177-183.

- 6 Simon, R., Priefer, U. & Puhler A. (1983). A broad host range mobilization system for in
- / vivo genetic engineering: transposon mutagenesis in gram-negative bacteria. Bio/Technology
- 8 1. 784-791.

9

- 10 Song, Y., Xie, C., Ong, Y. M., Gan, Y. H. & Chua, K. L. (2005). The BpsIR quorum-
- sensing system of Burkholderia pseudomallei. J Bacteriol 187, 785-790.

12:

- Stillman, T.J., Upadhyay, M., Norte, V.A., Sedelnikova, S.E., Carradus, M., Tzokov, S.,
- Bullough, P.A., Shearman, C.A., Gasson, M.J., Williams, C.H., Artymiuk, P.J. & Green
- 15 J. (2005). The crystal structures of *Lactococcus lactis* MG1363 Dps proteins reveal the
- presence of an N-terminal helix that is required for DNA binding. Mol Microbiol 57:1101-
- 17 1112.

18

- 13 Swift, S., Downie, J. A., Whitehead, N. A., Barnard, A. M., Salmond, G. P. & Williams
- 20 P. (2001). Quorum sensing as a population-density-dependent determinant of bacterial
- 21 physiology. Aciv Microb Physiol 45, 199-270.

2.2

- Ulrich, R. L., Deshazer, D., Brueggemann, E. E., Hines, H. B., Oyston, P. C. & Jeddeloh,
- 2. J. A. (2004a). Role of quorum sensing in the pathogenicity of Burkholderia pseudomallei. J
- 25 Med Microbiol 53, 1053-1064.

- 2 Ulrich, R. L., Deshazer, D., Hines, H. B. & Jeddeloh, J. A. (2004b). Quorum sensing: a
- 3 transcriptional regulatory system involved in the pathogenicity of Burkholderia mallei. Infect
- 4 *Immun* 72, 6589-6596.

ű

- 6 Ulrich, R. L., Hines, H. B., Parthasarathy, N. & Jeddeloh, J. A. (2004c). Mutational
- 7 analysis and biochemical characterization of the Burkholderia thailandensis DW503 quorum-
- 8 sensing notwork. J Bacteriol 186, 4350-4360.

. 9

- 10 Utaisincharoen, P., Tangthawornchaikul, N., Kespichayawattana, W., Chaisuriya, P., &
- Sirisinha, S. (2001). Burkholderia pseudomallei interferes with inducible nitric oxide
- 12 synthase (iNOS) production: a possible mechanism of evading macrophage killing. Microbiol
- 13 *immunol* **45**, 307-313.

14:

- Valade, E., Thibault, F. M., Gauthier, Y. P., Palencia, M., Popoff, M. Y. & Vidal, D. R.
- 16 (2004). The PmII-PmIR quorum-sensing system in Burkholderia pseudomallei plays a key
- role in virulence and modulates production of the MprA protease. J Bacteriol 186, 2288-2294.

18

- Winson, M. K., Cámara, M., Latifi, A., Foglino, M., Chhabra, S. R., Daykin, M., Bally,
- 20 M., Chapon, V., Salmond, G. P. C., Bycroft, B. W., Lazdunski, A., Stewart, G. S. A. B.,
- 21 & Williams, P. (1995). Multiple N-acylhomoserine lactone signal molecules regulate
- 22 production of virulence determinants and secondary metabolites in P. aeruginosa. Proc Natl
- 23 Acad Sci USA **92**, 9427-9431.

- Withers, H., Swift, S. & Williams P. (2001). Quorum sensing as an integral component of
- 2 gene regulatory networks. Curr. Opin. Microbiol 4,186-193.

(

- Wuthiekanun, V., Smith, M. D., Dance, D. A. & White, N. J. (1995). Isolation of
- 5 Sexumenas pseudomallei from soil in north-eastern Thailand. Trans R Soc Trop Med Hyg
- 6 **89**, 41-43.

7

- 8 Yamamoto, Y., Toole L. B., Hantgan R. R. & Kamio, Y. (2002). An iron-binding protein,
- Dp., from Streptococcus mutans prevents iron-dependent hydroxyl radical formation in vitro.
- 10 J. Eucteriol 184, 2931-2939.

- 12 Yates, E.A., Philipp, B., Buckley, C., Atkinson, S., Chhabra, S.R., Sockett, R.E.,
- 13 Goldner, M., Dessaux, Y., Camara, M., Smith, H., & Williams, P. (2002). N-acyl
- 14 liornoserine lactone undergo lactonysis in a pH- temperature-, and acyl chain length-
- 15 dependent manner during growth of Yersinia pseudotuberculosis and Pseudomonas
- 16 aeruginosa. Infect Immun 70, 5635-5646.

Table 1. Bacterial strains and plasmids

Strain or plasmid	Relevant genotype or characteristic(s)*	Source or reference
B. pseudomallei strains		
PP844	Wild-type, virulent clinical isolate	Loprasert et al. 2000
PK15	PP844 containing pKNOCK::bpslp, Tc	This study
PKR7	PP844 containing pKNOCK::bpsRp, Cm	This study
KBIR5	PP844 containing pKNOCK::bpsRp; pknock::bpsIp, TcfCmf	This study
PKR7+R	PKR7 containing pBBR-R2, Cm' Sp'	This study
KBIR5+IR	KBIR5 containing pBBR-IR3, Tc' Cm' Sp'	This study
KBIR5+dpsA	KBIR5 containing pDps, Tc' Cm' Sp'	This study
E. coli strains		
DH5a	F Φ80dlacZ ΔM15Δ(lacZYA-argF) U169 recA1 hsdR17 (rk mk*) supE44 λ-thi-1 relA1 gyr A96	Hanahan et al. 1983
S17-1 a pir	RP4-2-tet::Mu-1 kan::Tn7 (Tp' Sm') thi proA hsdR recA	Simon et al. 1983
CC118	E. coli strain used as a host for conjugation of transposable element pUT-mini-Tn5Cm	De Lorenzo et al. 1990
CpUT	CC118 containing TnpD vector, Tpf	Loprasert et al. 2004
CpUT+ik	CpUT containing pBBR-R2, Tp Sp	This study
EBPI	DH5α containing pUCI, Amp	This study
Plasmids		
pUCI	pUC19 containing the full-length B. pseudomallei bpsl gene, Amp'	This study
rKNOCK-Tc Mobilizable suicide vector for construction of gene knockouts in Gram-negative bacteria, Tc'		Alexeyev et al. 1999
pKNOCK-Cm	Mobilizable suicide vector for construction of gene knockouts in Gram-negative bacteria, Cm ^r	Alexeyev et al. 1999
pBBR-Sp	Broad-host-range cloning vector, Spr	Loprasert et al. 2004
pKBI	pKNOCK containing a 298-bp internal segment of B. pseudomallei bps1	This study
pKBR	pKNOCK containing a 323-bp internal segment of B. pseudomallei bps R	This study
υBBR-R2	pBBR-Sp containing the full-length B. pseudomallei bpsR	This study
pBBR-IR3	pBBR-Sp containing the full-length B. pseudomallei bpslK gene	This study
pDps gene pBBR-Sp containing the full-length B. pseudomallei dpsA gene		Loprasert et al. 2004
TnpD	A 654 bp fragment containing the 5 end of dpsA and 400 bp of upstream dpsA sequence inserted upstream of lacZ in pUT-Tn5lacZ1, Tpf	Loprasert et al. 2004

^{*} Amp^r , ampicillin resistant; Te^r , Tetracycline resistant; Cm^r , Chloramphenicol resistant; Sp^r , Spectinomycin resistant; Tp^r trimethoprim resistant.

- Table 2. LC MS/MS analysis of the spent culture supernatants of B. pseudomallei PP844, its
- 2 corresponding quorum sensing mutants, and an E. coli strain harbouring bpsI, showing the
- 3 profiles of AHL molecules synthesized by these strains.

AHL		m/z	Reten tion time (min)	Principal fragment ions	PP844 (wild type)	PKI5 (bpsI-)	PKR7 (bpsR-)	EBPI (E. coli+ bpsI)
C8-H5L	~~~~~~~~~~~~~~~~~~~~~~~~~~~~~~~~~~~~~~~	228	5.9	228, 127, 102	+	-		+
3-oxo-C8- HSL		242	4.8	242, 141, 102	+	9:	(e	-
3-hydroxy- C8-HSL	OH N H	244	4.6	244, 226, 125, 102	+	+	+	=
C10-HSL	~~~~~~~~~~~~~~~~~~~~~~~~~~~~~~~~~~~~~~	256	8.5	256, 155, 102	+	+	+	-
3-hydroxy- C10-H. L	· · · · · · · · · · · · · · · · · · ·	272	5.4	272, 254, 153, 102	+	+	+	-
3-hydroxy- C12-H5L		300	7.9	300, 282, 181, 102	+		+	-

7

ઇ

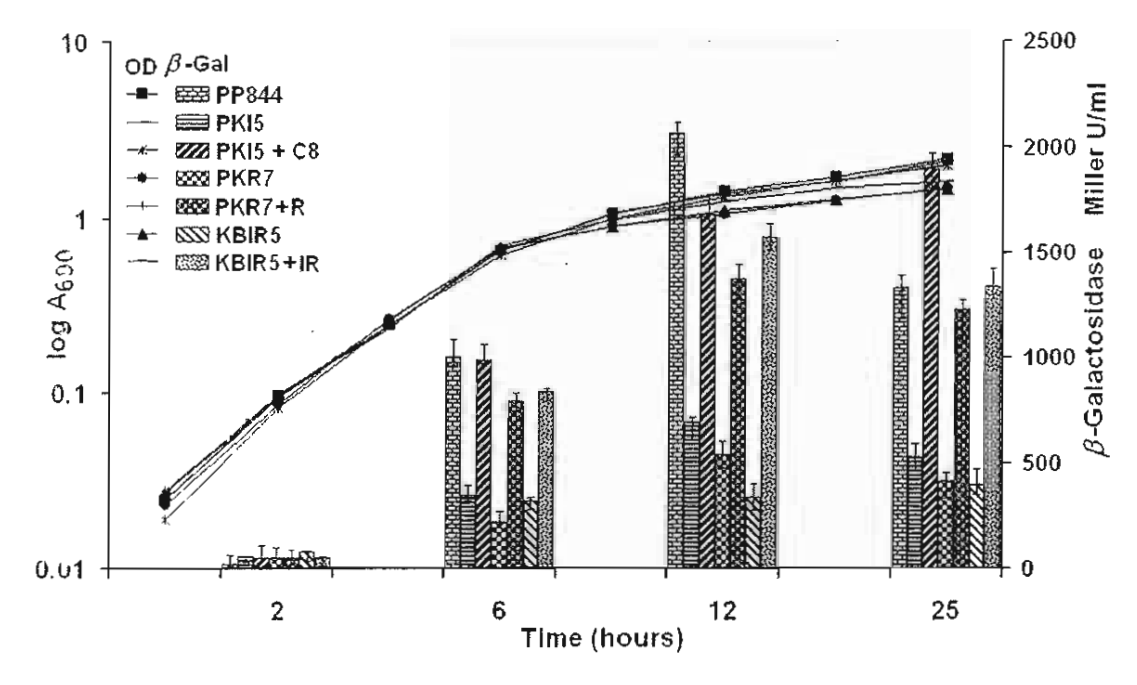
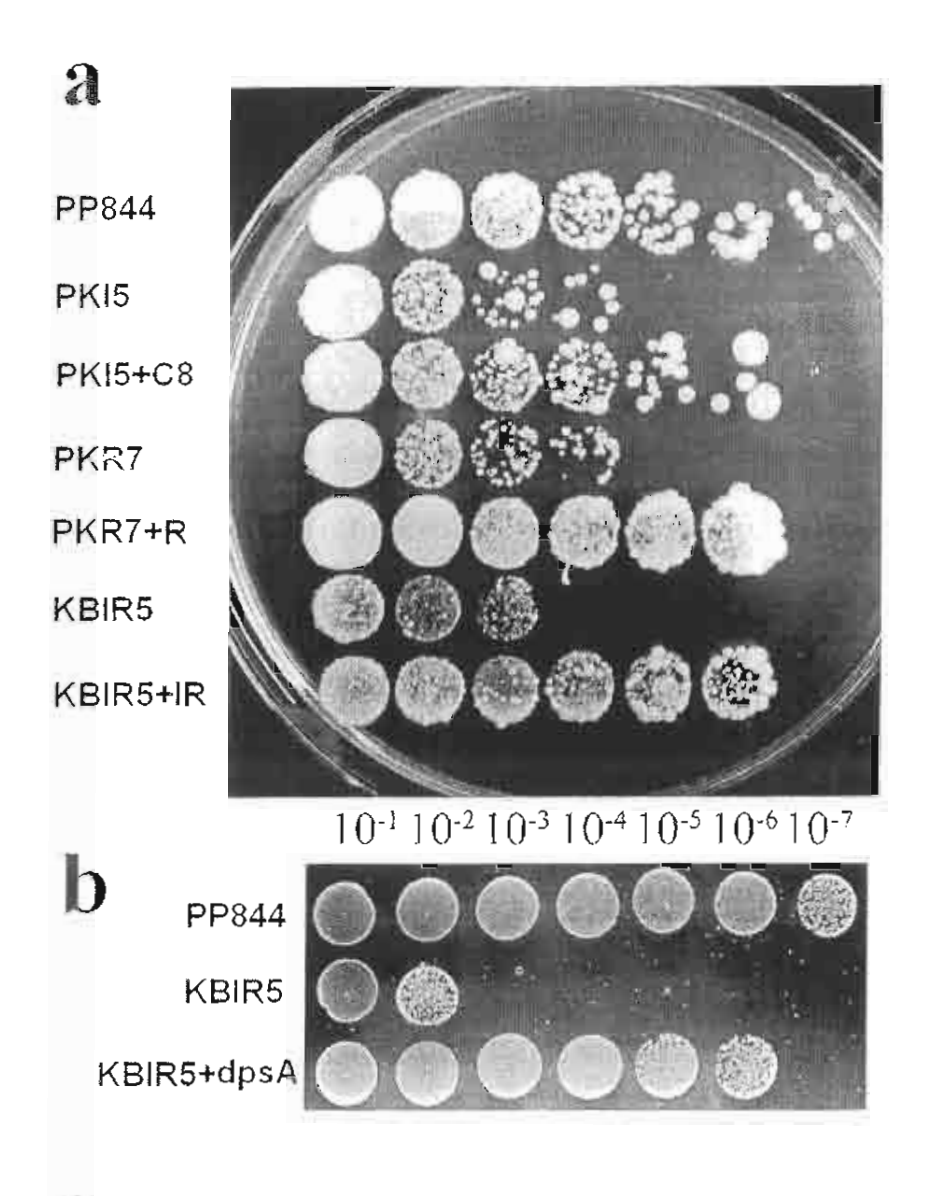
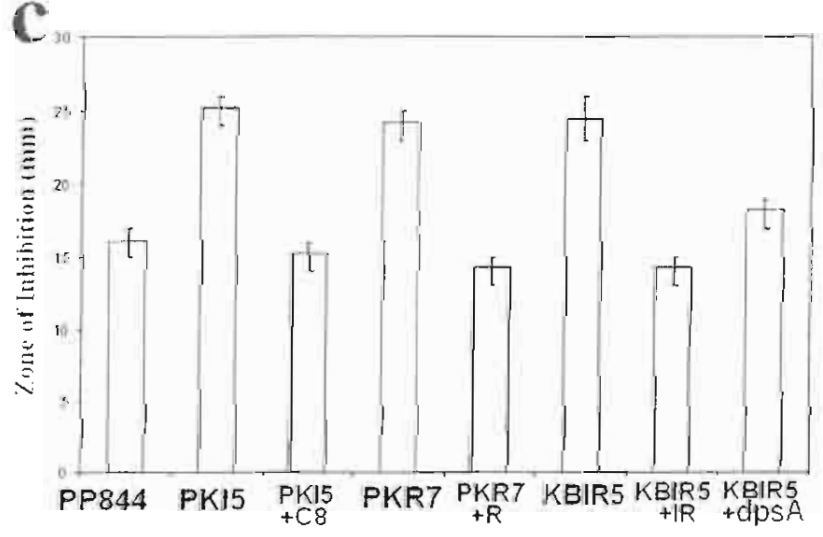


Fig. 1. Expression of *dpsA* promoter during growth of *B. pseudomallei*. Average βgalactosidase activities (patterns) from triplicate experiments in crude extracts of the *dpsA-lacZ* transcription fusion integrated into *B. pseudomallei* parent strain PP844, *bpsI* knockout mutant (PK15), *bpsI* knockout mutant supplied with 200 nM of
exogenous C8-HSL (PK15+C8), *bpsR* mutant (PKR7), *bpsR* knockout mutant
complemented with *bpsR* plasmid pBBR-R2 (PKR7+R), *bpsIR* double knockout
mutant (KBIR5) and *bpsIR* double knockout mutant complemented with the *bpsIR*plasmid pBBR-IR3 (KBIR5+IR) were shown by bar graphs and their range were
shown by error bars. The negative control used was the PP844 parent strain without
the *dpsA-lacZ* transcriptional fusion. The growth (A₆₀₀) was shown (line with symbol).





- Fig. 2. Sensitivity of B. pseudomallei quorum sensing mutants to t-BOOH.
- Determination of the levels of resistance to B. pseudomallei t-BOOH killing in the parent
- strain PP844, PK15, PK15 with exogenous C8-HSL (PK15+C8), PKR7, PKR7+R,
- 5 KBIR5+IR, and KBIR5+dpsA. (a, b) Growth on oxidant agar plates assay. Serial
- 6 10-fold dilutions of cultures were spotted. (c) Growth inhibition zone assay. Average
- growth inhibitory zone diameters were shown. The assay was done in triplicate and
- 8 ranges were shown as error bars.

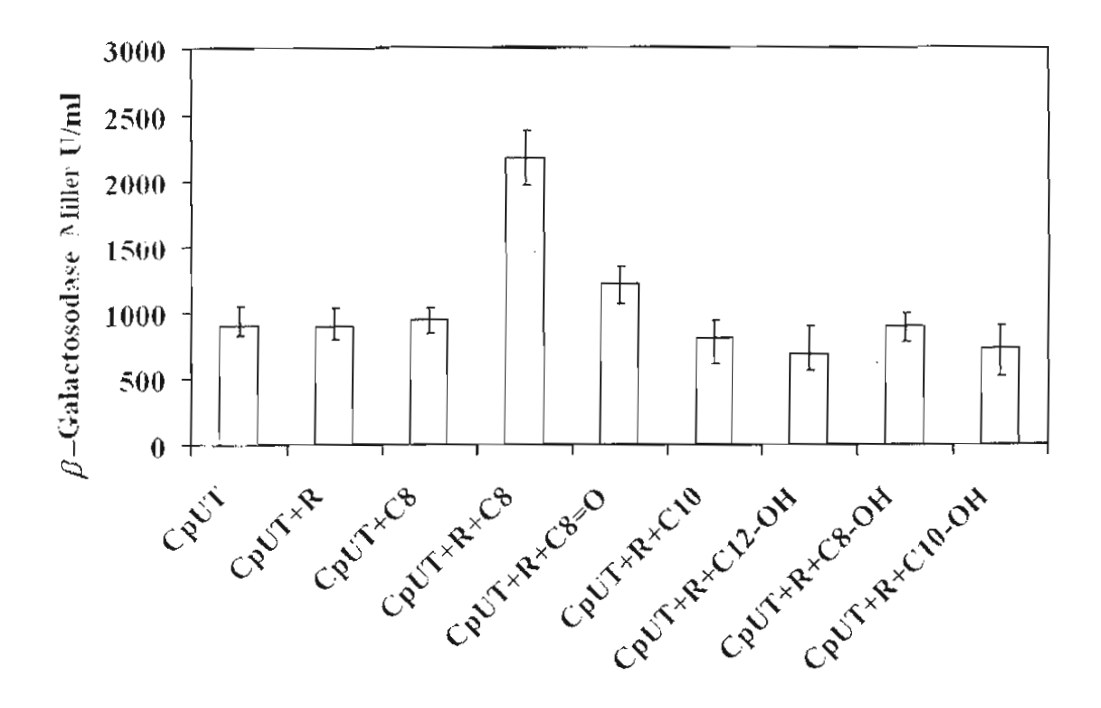


Fig. 3. Expression of dpsA in E. coli in the presence and absence of bpsR and AHLs (100 nM). The β-galactosidase activities were determined for E. coli carrying the dpsA::lacZ fusion without (E. coli CpUT) or with bpsR (E. coli CpUT+R) in the absence or presence of the AHLs produced by B. pseudomallei PP844 where C8 is C8-HSL, C8=O is 3-oxo-C8-HSL, C10 is C10-HSL, C12-OH is 3-hydroxy-C12-HSL; C8-OH is 3-hydroxy-C8-HSL and C10-OH is 3-hydroxy-C10-HSL. Data are given as means of triplicate experiments.

ō

()

INBOX: Your Submission Page 1 of 1

INBOX: 41 of 156

Move | Copy | this message to: ▼

Delete | Reply | Reply to all | Forward | Save as

Back to INBOX <I>

□ INBOX

Date: Fri, 04 Aug 2006 14:28:33 +0100

From: Molecular and Cellular Probes <esubmissionsupport@elsevier.com>

To: scstp@mucc.mahidol.ac.th

Subject : Your Submission

Ms. Ref. No.: YMCPR-D-06-00032R1

Title: Comparative proteomic profiles and the potential markers between Burkholderia pseudomallei and

Burkholderia thailandensis Molecular & Cellular Probes

Dear Dr. Sumalee Tungpradabkul, PhD,

A final disposition of "Accept" has been registered for the above-mentioned manuscript.

Kind regards,

Sara Doman Journal Manager

Molecular & Cellular Probes

Comments from the Editors and Reviewers:

Dele e | Rej ly | Reply to all | Forward | Save as

Back to INBOX < □ ▷

Move | Copy this message to: ▼

Comparative proteomic profiles and the potential markers between Burkholderia

pseudomallei and Burkholderia thailandensis

Patompon Wongtrakoongate¹, Napachanok Mongkoldhumrongkul², Suthidarak Chaijan³, Sumalee

Kamchonwongpaisan² and Sumalee Tungpradabkul^{2*}

¹Department of Biology and ²Department of Biochemistry, Faculty of Science, Mahidol

University, Thailand

³National Center for Genetic Engineering and Biotechnology, National Science and Technology

Development Agency, Pathumthani, Thailand

Running title: Proteome and protein markers in Burkholderia pseudomallei

*Corresponding author. Mailing address: Department of Biochemistry, Faculty of

Science, Mahidol University, Rama VI Rd, Bangkok 10400 THAILAND.

Tel: (662) 2015376

Fax: (662) 3547174

Email: sestp@mahidol.ac.th

I

Abstract

Burkholderia pseudomallei is a bacterial pathogen causing the melioidosis disease, which is

predominatily found in tropical areas of Southeast Asia and Northern Australia. Burkholderia

thailandensis is a closely related species to B. pseudomallei but it is non-pathogenic species. In this

study, we have constructed a proteome reference map of B. pseudomallei at the stationary phase of

growth by using two-dimensional gel electrophoresis with a pH 4-7 immobilized pH gradient

combined with matrix-assisted laser desorption ionization time of flight mass spectrometry.

Approximately 550 spots could be detected by Coomassie brilliant blue G-250 staining, and 88 spots

representing 77 unique proteins were identified. Eleven of the gene products were found in multiple

spots indicating as isoforms. In attempt to detect distinctive expressed proteins between a virulent

and a non-virulent species, the use of comparative proteomic profiles under the same condition were

performed. We could identify more than twenty different spots. Twelve out of fourteen spots are

detected in B. pseudomallei and six proteins have been identified and indicated that they are

involved in virulent characters of bacteria. Two hypothetical proteins were expressed and found only

in B. pseudomallei. These proteins are potential markers to distinguish between these two species.

Our study also provides a useful information of global intracellular protein expression and is a

valuable starting point for analyzing a proteomic pathogenicity of the bacterial pathogen.

Keywords: Burkholderia pseudomallei / Melioidosis / Pathogenicity / Proteome / Burkholderia

thailandensis

Introduction

Burkholderia pseudomallei is a Gram-negative rod shaped bacteria. It is the causative agent of melioidosis, an infectious disease that is an important cause of acute pneumonia and septicaemia in tropical regions of India, Southeast Asia and Northern Australia and is of worldwide concern. Burkholderia thailandensis is a closely related to B. pseudomallei. Although, the biochemical profiles of both organisms are in similar, an ability to assimilate L-arabinose and its non-virulent character are distinct [1]. The recent determination of B. pseudomallei and B. thailandesis genome sequence [2] provides a new framework for the elucidation of the genomic and physiological roles of these bacteria by using transcriptomics and proteomics [3]. However, proteomics can provide more reliable protein markers in a specific condition than transcriptomics that could be applied in term of the function of genes [4-6].

Many reports on *B. pseudomallei* and its induced diseases have been published, but a study of large scale expressed proteins from the whole genome of *B. pseudomallei* have been started to be carried out [3]. No proteome reference map of *B. pseudomallei* intracellular expressed proteins at the stationary phase of growth has been performed. In this study, we provide a global analysis of the intracellular expressed proteins and construct an initial proteome reference map of total proteins of *B. pseudomallei* grown in the stationary phase using 2D-GE and matrix-assisted laser desorption ionization time of flight mass spectrometry (MALDI-TOF MS). We also illustrate a useful information of the proteome reference map to a study of potential virulent factors and differentiation of the protein markers of *B. pseudomallei* by comparing with *B. thailandensis*.

Materials and methods

Bacteria, growth condition and protein extraction

The clinically isolated Burkholderia pseudomallei strain 844 [7] and B. thailandensis E257 was grown to stationary phase (OD600 of 9.6) in a 100 mL Luria Bertani (LB) medium under vigorous agitation at 37°C and 250 rpm. One mL of the culture was harvested by centrifugation at 10 000 x g for 1 min at 4°C into a microcentrifuge tube. The protein was extracted using ReadyPrep total protein extraction kit (BioRad, Hercules, CA, USA) or lysis buffer (7 M urea, 2 M thiourea, 1% w/v ASB-14 detergent, 40 mM Tris-base, 2 mM TBP and 0.001% bromophenol blue). Immobilized pH-gradient (IPG) buffer pH 4-7 (Amersham Biosciences, Upsala, Sweden) and protease cocktail inhib tor set II (CalBiochem, La Jolla, CA, USA) were added into the lysis buffer with a final concentration of 1% v/v. The prepared lysis buffer of about 500 μL was added into the cell pellet. Cell lysis was performed on ice by sonication, and the cell debris was removed by centrifugation at 13 000 x g for 30 min at 20°C. The supernatant was transferred into a clean tube. The protein concentration was determined by RC DC protein assay (BioRad). One, two and three µL aliquots of the protein solution were mixed with the assay reagents in microcentrifuge tubes. Two hundred µL of the inixed solutions were transferred into a 96-wells plate and the absorbance were measured at 620 nm by Multiskan EX (ThermoLabsystems). Protein concentration was calculated using BSA as a standard.

Two-dimensional gel electrophoresis (2D-GE), gel scanning, and image analysis

For the first dimension, a 1 mg protein sample was added with the rehydration buffer (8 M urea, 2% w/v CHAPS, 20 mM DTT and 1% v/v IPG buffer pH 4-7) to a total volume of 350 μL. The isoelectric focusing gel was performed using 18-cm precast Immobiline DryStrip with a linear pH 4-

7 and an IPGphor system (Amersham Biosciences) as described elsewhere [8]. Briefly, the strip was rehydrated for 12 h at 20°C following with the voltage profiles: (i) linear increase from 0 to 500 V for 1000 Vh; (ii) linear increase from 500 to 1000 V for 2000 Vh; (iii) inear increase from 1000 to 8000 V for 65 000 Vn as the final phase. All profiles were controlled at the current of 50 μA/strip. The IPG-strip was then equilibrated for 15 min in 10 mL of equilibration buffer I (6 M urea, 30% w/v glycerol, 2% w/v SDS, 0.05 M Tris/HCl buffer pH 8.8 and 1% DTT) followed by 20 min in 10 mL of equilibration buffer II (6 M urea, 30% w/v glycerol, 2% w/v SDS, 0.05 M Tris/HCl buffer pH 8.8 and 4% iodoacetamide). After the equilibration, the strip was transferred to 20 cm x 20 cm 12.5% SDS-PAGE gel for the second dimension. Electrophoresis was performed at 4°C in an Owl separation system (Fisher Scientific) at 10 mA for 20 min, and 20 mA for approximately 18 h. After electrophoresis, proteins were visualized by Coomassie brilliant blue G-250 staining as described elsewhere [9]. The number of proteins expressed on 2D-GE was analysed using PDQuest software versior. 7.2 (BioRad).

Tryptic in-gel digestion of 2-DE spots

Protein spots were excised and transferred into 1.5 mL microcentrifuge tubes and subjected to in-gel digestion which was performed by an Ettan Spot Handling workstation (Amersham Bioscienges). The digestion was performed as described elsewhere [10] with minor modifications. The gel pieces were washed three times in 1 mL deionized water followed by 1 mL washing solution (50% v/v methanol) for three times. The gel pieces were dehydrated by addition of 200 µL acetoniarile and complete drying in a vacuum centrifuge. The proteins were reduced by addition of 50 µL 10 mM DTT and alkylated by addition of 50 µL 100 mM iodoacetamide for both 30 min at room temperature. To exchange the buffer, the gel pieces were dehydrated in 200 µL acetonitrile,

hydrated in 200 μL of 100 mM ammonium bicarbonate and dehydrated again with 200 μL acetonitrile. The dehydrated gel pieces were then dried completely in a vacuum centrifuge and rehydrated in 50 μL of 20 ng/μL ice-cold, sequencing-grade trypsin (Amersham Biosciences) for 5 min on ice. Any excess trypsin solution was removed and the digestion was carried out for overnight at 37°C. The peptides produced after digestion, were collected by successive extractions with 50 μL of 50 mM ammonium bicarbonate and 50 μl of 50% acetonitrile with 5% formic acid. A total extract was concentrated in a vacuum centrifuge to 20 μL for further analysis.

MALDI-TOF MS

Peptide mass fingerprinting (PMF) were obtained by BioService Unit (BSU), National Science and Technology Development Agency, Pathumthani, Thailand, using an Autoflex MALDI-TOF mass spectrometer (Bruker Daltonik Bremen, Germany), with delayed extraction and reflection [11]. The matrix solution, α-cyano-4-hydroxycinnamic acid (Bruker) was prepared by dissolving to saturation in 70% acetronitrile/water with 0.1% trifluoroacetic acid. The digested peptide of approximately 1 μL was mixed with 5-10 μL of matrix solution. The mixture was spotted onto a stainless steel target and left to dry at room temperature. The mixture was then irradiated with a 337 nm N₂ laser, accelerated with 20 kV accelerating voltage in a two-stage gridless pulsed-ion extraction source. The instrument was operated in the positive, reflectron mode. Typical mass accuracy was better than 200 ppm with external calibration. The protein calibration standard 1 (Bruker Daltonik, USA) was used as an external calibrant that was applied to a target well separated from the samples. The calibrant consists of four proteins which are insulin, ubiquitin I, cytochrome

C and myoglobin with the covered mass approximately range between 3000 to 25000 Dalton. The resulted PMF were visualized by flexAnalysis software version 2.0 (Bruker Daltonik).

Database searches for protein identification

PMF were used for protein identification from tryptic fragment sizes by using MASCOT search engine (www.matrixscience.com) based on the entire NCBInr protein database using the assumption that peptides are monoisotopic, oxidized at methionine residues and carban.idomethylated at cysteine residues [12]. Up to two-missed trypsin cleavages was allowed, although most matches did not contain any missed cleavages.

PCR amplification of a gene marker BPSL1958 in B. pseudomallei and B. thailandensis

The presence and absence of BPSL1958 encoding a hypothetical protein in proteomic profiles and in genome of *B. pseudomallei* and *B. thailandensis*, respectively, were confirmed by PCR method. The fragment of BPSL1958 was amplified by specific primers based on a *B. pseudomallei* K96243 sequence for sense strand primer, 5'-GGCAAAATTAGCAGCTTCAAATC-3' and for antisense strand primer, 5'-CCCAGGCAACGCGTAGTG-3'. Amplification condition started with denaturation at 100° C for 10 minutes and 30 cycles of 94°C for 1 min, 62°C for 1 min, 72°C for 1 min then ended up with extension at 72°C for 5 min with DNA Thermal Cycler 480 (Applied Biosystems, USA). PCR products of about 872 bp were analyzed by electrophoresis on 1% agarose gel.

Results

Two-dimensional gel electrophoresis of B. pseudomallei and B. thailandensis proteins

For an overview of protein expression of *B. pseudomallei* 844 and *B. pseudomallei* E257, 2D-GE gel of total intracellular protein extracted from cells of the bacteria grown under the stationary phase was performed using an 11 cm, pH 3-10 linear IPG strip. Approximately 500 spots could be detected by silver staining. The region with the greatest protein expression was between pI 4-7 (data not shown) which was similar to that found in other bacterial species [5, 6, 13, 14, 15]. This result led us to choose a pH 4-7 IPG strip that allows for a better separation of proteins.

The separation by 2D-GE of 1 mg of *B. pseudomallei* total proteins stained with Coomassie brilliant blue G-250, which is compatible with mass spectrometry, permitted the detection of approxin ately 550 spots using an 18 cm, pH 4-7 linear IPG strip. Most spots were located between pl 4.5-7 and molecular weight of 20-75 kDa (Fig. 1). *B. pseudomallei* protein spots having abundant expression were selected and cut out for subsequent identification by MALDI-TOF MS.

Identification of B. pseudomallei proteins by MALDI-TOF MS

In order to create a proteome reference map for *B. pseudomallei*, 88 of the most abundant spots of various isoelectric points and molecular weights were cut out. In-gel digestion of protein spots by trypsin was performed to cleave proteins at arginine and lysine residues. Peptide mass fingerprints (PMF) were obtained from MALDI-TOF mass spectrometry. A result of spot number 31 in the peptide mass fingerprinting is shown in Fig.2. The PMF was identified as 60 kDa chaperonin using the MASCO1 search engine to query the NCBInr protein database allowing up to two missed cleavages, but most matches did not contain any missed cleavages. Seventy-seven unique proteins were identified from 88 spots presented on the gel. Most of these spots were located between pI 4.5-

5.5. According to their relative functions, several groups of *B. pseudomallei* protein were classified, which are listed in Table 1. The groups of proteins include cell surface, energy metabolism, cellular processes, regulatory functions, replication, transcription, translation, stress responses, phage-related proteins, proteins with unknown function and hypothetical proteins.

A group of cell surface proteins appeared with small abundance in *B. pseudomallei*. This is because the extraction method used in this study was performed by total protein extraction, but not by cell surface protein extraction, which allows for solubilization and analysis of the cellular compartment [4]. In addition, membrane proteins are generally low-copy-number proteins, so they were not very abundant [13]. In contrast, a group of proteins related with energy metabolism shared with the greatest number of the protein so far identified.

Many regulatory proteins were also identified. Protein spots with high expression and similar to those were found in other bacterial species [5, 6, 12, 13, 14] were 60 kDa chaperonin, GroEL, chaperonin GroEL, 10 kDa chaperonin (GroES), enolase (Eno), heat shock protein (GrpE), oxidoreductase (AhpC), superoxide dismutase (SodA), hydroperoxide reductase and thiol peroxidase (Tpx). This indicates that these proteins had high expression level in many growth conditions, including minimal [5, 12, 14] or enriched mediums [6, 13] and the patterns of their expression were similar in many bacterial species. Moreover, the existence post-translational modifications were identified. In this study, we found 17 spots of isoforms from the 6 genes as summarized in Table, 2.

Identification of B. pseudomallei potential virulent factors and protein markers

In attempt to study potential virulent factors and protein markers found in *B. pseudomallei* compared with *B. thailandensis*, we therefore hypothesized that the differences of protein expressions found in *B. pseudomallei* but absent in *B. thailandensis*, were suspected to play a role as potential virulent factors or potential protein markers. The proteomic profiles of *B. thailandensis* and *B. pseudomallei* were then compared and the different spots were identified as shown in figure 3. The results showed significant different protein expressions in more than twenty spots. Fourteen spots showed significant different levels of protein expression in *B. pseudomallei* compared with *B. thailandensis*. Twelve out of fourteen spots were found in *B. pseudomallei* but were absent or at low levels of protein expression in *B. thailandensis*. These proteins were analyzed using *B. pseudomallei* reference map and found to be cell surface proteins, energy metabolic proteins, cellular processes, stress response and also hypothetical proteins as summarized in Table 3. In order to verify the different level of protein expressions found in proteomic profiles, the PCR amplification of a gene, a hypothetical protein BPSL1958, was performed with 5 isolates of both *B. pseudomallei* and *B. thailandensis* (data not shown). The results were corresponding to the level of the protein expressions and theirs genome databases as shown in figure 4.

Discussion

Since *B. pseudomallei* has a complete genome database [2], the function of open reading frames (ORF) of this bacteria can be easily characterized. However, overall ORF are not yet characterized. To support the functional genomics, proteomics is a powerful technique to study the global protein expression. We have constructed the first proteome reference map for intracellular protein expression under the stationary phase of *B. pseudomallei*, which can be used for study of protein expression of this bacteria. The analysis of *B. pseudomallei* began with the analysis of protein profile using a pH 3-10 IPG strip, which demonstrated clearly that the greatest number of proteins were located between pI 4-7. Therefore, a pH 4-7 IPG strip was chosen for construction of a *B pseudomallei* proteome reference map.

Approximately 550 spots were detected on the Coomassie brilliant blue G-250 stained gel on 18 cm, pH 4-7 IPG strip. The result of the 2D-GE pattern from total protein of *B. pseudomallei* showed highly resolved protein spots. The most abundant proteins were present in great numbers within the range of pH 4.5-7 and 20-75 kDa. The differences in coding capacities and visualized proteins may be explained by some of the following possibilities [8]: (i) some proteins were not in the experimental window; (ii) certain proteins were insoluble in the IPG buffer; (iii) Coomassie blue staining was less sensitive; (iv) some proteins were not expressed under the growth condition; and (v) membrane proteins are generally low-copy-number proteins so they were not very abundant.

Evaluation and processing of the 2D-GE of *B. pseudomallei* samples were conducted by comparing the observed peptide mass fingerprints (PMF) to the NCBInr database using MASCOT search engine (www.matrixscience.com). There are three protein databases used by the MASCOT that are MSDB. NCBInr and SwissProt. However, the identification of *B. pseudomallei* proteins

could only be performed by using the NCBInr database, this is due to the presence of its protein sequences derived from the genomic DNA sequence in the NCBInr but not the other two databases.

The PMF were widely successful when searched against the fully sequenced genome. We identified 77 unique total proteins by PMF which were expressed in 88 forms on 2D-GE. Most of these proteins were metabolic-related enzymes, heat shock proteins, and cell surface proteins. Some of these proteins such as heat shock-response proteins and oxidative stress-response proteins were expressed at high level similar to those found in other bacterial species [5, 6, 12, 13, 14]. The existence post-translational modifications were identified from the six gene products since we found the presence of isoforms (17 spots) as shown in Table 2. Post-translational modifications are known to play a major role in eukaryotes but less is known about their role in bacterial physiology. The migrated products of the same gene to several distinct spots indicate that the different properties of the proteins, due to either mistranslation or post-translational events [6]. The 2D-GE is a more powerful technique to identify their existence of isoforms compared to DNA microarray. Interestingly, we found six isoforms of 60 kDa chaperonin and GroEL, since all of these proteins are the same type of 60 kDa heat shock protein suggesting that post-translational modifications occurred with 60 kDa chaperonin and GroEL in this growth condition. Our finding is novel since there have not been reports of post-translational modifications in B. pseudomallei. Study of their mechanism may provide an insight into pathogenicity, which may be related to post-translational modifications.

We also applied the usefulness of the reference map to identify the potential virulent factors and protein markers of the organism by comparing the proteomic profiles of the virulent with the non-virulent species under the same conditions. More than twenty different spots were detected. Fourteen spots were significantly found in different levels of protein expression between *B*.

pseudomallei, a virulent species, and B. thailandensis, a non-virulent species. Twelve out of fourteen spots were present of highly expressed in B. pseudomallei. Although, these proteins were also found in their coding genes in the genome of B. thailandensis using BLAST search, six out of twelve proteins have been studied and indicated that they are involved in virulent characters of bacteria. Phosphatidyl ethanolamine, a composition in membrane, and LysM were highly expressed in B. pseudo-nallei which have been identified as a potential virulent factor and involved in biofilm formation, respectively [16]. Eventhough in metabolic proteins that play the major functions involving in energy for surviving, it have been suggested the role of phosphoglucomutase in virulence [17]. The study of phosphoglucomutase mutant which could not change glucose-6phosphate to glucose-1-phosphate resulting in gluconucleotide and product derived from UDP-Glu including LPS were insufficient. The cellular processes proteins, GroEL and GroES are importance for proper folding and function of proteins. A virulent property of GroEL has been proposed [18]. However, an appearance of isoform structure of the protein was interesting, particularly an isoform that found highly expression in the virulent species. The stress response proteins, oxidoreductase and superoxide dismutase, were also involved in virulence of bacteria [19, 20]. Interestingly, there are four unknown function proteins, hypothetical proteins, to be identified in virulent organism. Two of the hypothetical proteins are not found in the genome database of B. thailandensis. Thus, the two genes coding for the hypothetical proteins were considered to be the specific markers, not only for protein markers but also for gene markers using PCR identification as shown in figure 4. Obviously, these proteins should be investigated further in order to know their functions.

In summary, the first proteome reference map for *B. pseudomallei* was constructed. A total of intracellular *B. pseudomallei* protein fractions at a stationary phase were analyzed and identified.

Establishing for *B. pseudomallei* is essential before starting further proteomic studies and is a valuable starting point for analyzing the proteomic pathogenicity of this bacterial pathogen. In addition, comparative proteomes for identification of the potential protein markers between the two closely related species, *B. pseudomallei* and *B. thailandensis*, are applicable.

Acknowledgements

The work was granted by the Thailand Research Fund (TRF). We greatly appreciate the assistance of BioService Unit (BSU), National Science and Technology Development Agency, Pathumthani, Thailand, in the peptide mass fingerprinting identification of proteins by mass spectrometry. Mr. Wongtrakoongate, P. was supported by the Junior Science and Talent Project (JSTP), the National Science and Technology Development Agency with the Thailand Research Fund. Ms. Chaijan, S. and Ms. Kamchonwongpaisan, S. was supported by the Target Research Unit/Network of Thailand Tropical Diseases Research Programme (TARUN-T2). We thank Mr. W. George, Visiting Lecturer in the Graduate Language Center at Mahidol University for critically reading of this manuscipt.

References

- [1] P. J. Prette, D. DeShazer, and D.E. Woods, *Burkholderia thailandensis* sp. nov., description of a *Burkholderia pseudomallei*-like species, Int. J. Syst. Bacteriol 48 (1998) 317-320.
- [2] M.T. Holden, R.W. Titball, S.J. Peacock, A.M. Cerdeno-Tarraga, T. Atkim, L.C. Crossman, T. Pitt, C. Churcher, K. Mungall, S.D. Bentley, M. Sebaitia, R.N. Thomson, et al., Genomic plasticity of the causative agent of melioidosis, *Burkholderia pseudomallei*, Proc. Natl. Acad. Sci. U S A. 101 (2004) 14240-14245.
- [3] K. Ou, C. Ong, S. Yung Koh, F. Rodrigues, S.H. Sim, D. Wong, C.H. Ooi, K.C. Ng, H. Jikuya, et al., Integrative genomic, transcriptional, and proteomic diversity in natural isolates of human pathogen *Burkholderia pseudomallei*, J. Bacteriol. 187 (2005) 4276-4285.
- [4] C. Arevalo-Ferro, M. Hentzer, G. Reil, A. Görg, S. Koelleberg, M. Givskov, K. Riedel, and L. Eberl, Identification of quorum-sensing regulated proteins in the opportunistic pathogen *Pseudomonas aeruginosa* by proteomics. Environ. Microbiol. 5 (2003) 1350-1369.
- [5] R. Rosen, A. Sacher, N. Shechter, D. Becher, D. Beacher, D. Biran, M. Hecker, and E.Z.Ran, Two-dimensional reference map of *Agrobacterium tumefaciens* proteins, Proteomics 4 (2004) 1061-1073.
- [6] M.R. Park, E.G. Lee, Y.H. Kim, T.S. Jung, Y. Shin, G. Shin, H. Cha, and G.Kim, Reference map of soluble proteins from *Salmonella enteritidis* by two-dimensional electrophoresis, J. Vet. Sci. 4 (2003) 143-149.
- [7] P. Utaisincharoen, N. Tangthawornchaikul, W. Kespichayawattana, P. Chaisuriya, and S. Sirisinha, *Burkholderia pseudomallei* interferes with inducible nitric oxide synthase (iNOS)

- production: A possible mechanism of evading macrophage killing, Microbiol. Immunol. 45 (2001) 307-313.
- [8] A. Gorg, C. Obermaier, G. Boguth, A. Harder, B. Scheibe, R. Wadgruber, and W. Weiss, The current state of two-dimensional electrophoresis with immobilized pH gradients, Electrophoresis 21 (2000) 1037-1053.
- [9] V. Neuhoff, R. Stamm, and H. Eibl, Clear background and highly sensitive protein staining with coomassie blue dyes in polyacrylamide gels: A systematic analysis, Electrophoresis 6 (1985) 427-448.
- [10] S.L. Hanna, N.E. Sherman, M.T. Kinter and J.B. Goldberg, Comparison of proteins expressed by *Pseudomonas aeruginosa* strains representing initial and chronic isolates from a cystic fiorosis patient: An analysis by 2-D gel electrophoresis and capillary column, Microbiology i 46 (2000) 2495-2508.
- [11] C. Srisomsap, P. Sawangareetrakul, P. Subhasitanont, T. Panichakul, S. Keeratichamroen, K. Lirdprapamongkol, D. Chokchaichamnankit, S. Sirisinha, and J. Svasti, Proteomic analysis of cholangiocarcinoma cell line, Proteomics 4 (2004) 1135-1144.
- [12] V. Thongboonkerd, J. Luengpailin, J. Cao, W.M. Pierce, J. Cai, J.B. Klein, and R.J. Doyle, Fluoride exposure attenuates expression of *Streptococus pygenes* virulence factors. J. Biol. Chem 277 (2002) 16599-16605.
- [13] M. Ramnath, K.B. Rechinger, L. Jansch, J.W. Hastings, S. Knochel, and A. Graveson, Development of a *Listeria monocytogenes* EGD partial proteome reference map and comparison with the protein profiles of food isolates, Appl. Environ. Microbiol 69(2003) 3368-3376.

- [14] S. Heim, M. Ferrer, H. Heuer, D. Regenhardt, M. Nimtz and K.N. Timmis, Proteome reference map of *Pseudomonas putida* strain KT2440 for genome expression profiling: Distinct responses of KT2440 and *Pseudomonas aeruginosa* strain PAO1 to iron deprivation and a new form of superoxide dismutase, Environ Microbiol 5 (2003) 1257-1269.
- [15] K. Buttner, J. Bernhardt, C. Scharf, R. Schmid, U. Mader, C. Eymann, H. Antelmann, A. Volker, U. Volker, and M. Hecker, A comprehensive two-dimensional map of cytosolic proteins of *Bacillus subtilis*. Electrophoresis 22 (2001) 2908-2935.
- [16] B. Yu, E. Hailman, S.D. Wright, Lipopolysaccharide binding protein and soluble CD14 catalyse exchange of phospholipids, J. Clin. Invest. 99 (1997) 315-324.
- [17] J.E. Ugalde, D.J. Comerci, M.S. Leguizamon, R.A. Ugalde, Evaluation of *Brucella abortus* phosphoglucomutase (pgm) mutant as a new live rough-phrnotype vaccine, Infect Immun. 11 (2003) 6264-6269.
- [18] P.C. Woo, P. K. Leung, S.S. Wong, P.L. Ho, and K. Yuen, groEL Encodesa highly antigenic protein in *Burkholderia pseudomallei*, Clin. Diagn. Lab. Immunol. 8 (2001) 832-836.
- [19] I.L. Jung, and I.G.Kim, Transcriptional of alpC, katG, and katE genes in *Escherichia coli* is regulated by polyamines: Polyamine deficient mutant sensitive to H2O2-induced oxidative damage, Biochem. Biophys. Res. Commun. 301 (2003) 915-922.
- [20] D.J. Hassett, J.F. Ma, J. G. Elkins, T.R. McDermott, U.A. Ochsner, S.E.H West, C. Huang, J. Fredericks, S. Burnett, P.S. Stewart, G. MaFeters, L. Passador, and B.H. Igelewski, Quorum sensing in *Pseudomonas* aeruginosa control expression of catalase and superoxide dismutase genes and mediates biofilm susceptibility to hydrogenperoxide, Mol. Microbiol. 34 (1999) 1082-1093.

Figure Legends

Figure 1. Proteome reference map of total protein extraction of *Burkholderia pseudomallei* 844 obtained from stationary phase of growth. Identification of proteins was performed by 2D-GE followed by MALDI-TOF MS. Isoelectric focusing was performed with 1 mg of bacterial proteins for 68 kVh using a 4-7 pH-strip. SDS-PAGE was performed on a 12.5% gel and stained with Coomassie blue G-250. The numbers refer to the spot identity used in the table and text.

Figure 2. MALDI-TOF mass spectrometry analysis of spot number 31. (A) Illustration of an example of peptide mass fingerprint that is typical for the mass spectra of 60 kDa chaperonin. (B) Peptide mass fingerprint of the observed mass was performed using the MASCOT search engine. Observed masses (17 of total 40 masses) were matched to the theoritical masses of 60 kDa chaperonin with less than 386-ppm window of error and 0 missed cleavage. The matched masses were converted to amino acid sequences along variable residue sites and covered 43% of the protein sequence. Peptides that caused oxidation at methionine residue were shown.

Figure 3. Proteomic profiles of *Burkholderia pseudomallei* 844 (left) and *Burkholderia thailandensis* E257 (right) obtained from the stationary phase of growth running in the same 2D-GE conditions and staining with Coomassie blue G-250. The circles represent the different levels of protein expressions between the two species. The numbers refer to the protein spots are detected in *B. pseudomallei* 844 à reference map but absent or lower express in *B. thailandensis* E257, except number 16 and 61 are higher expression in *B. thailandensis* E257 than in *B. pseudomallei* 844.

Figure 4. PCR identification of a BPSL1958 gene coding for a hypothetical protein BPSL1958 of *Burkholderia pseudomallei* 844 (lane 3) compared with *Burkholderia thailandensis* E257 (lane 4). Lane 1 is a standard size marker and lane 2 is a negative control.

Table 1. Identification of *Burkholderia pseudomallei* proteins in non-redundant sequence databases (National Center for Biotechnology) using Mascot search engine and data from MALDI-TOF mass spectrometry

Table 2. Summary of the proteins which have isoforms

Table 3. Summarize an analysis of the proteins are significantly present or higher expression found between *Burkholderia pseudomallei* and *Burkholderia thailandensis*. The arrows represent the present or the higher levels of protein expressions and asterisks represent the hypothetical proteins are not found in *Burkholderia thailandensis* genome database.

B. pseudomallei B. thailandensis

Figure 2. Proteomic profiles of *Burkholderia pseudomallei* 844 (left) and *Burkholderia thailandensis* E257 (right) obtained from the stationary phase of growth running in the same 2-DE conditions and stained with Coomassie blue G-250. The circles represent the different levels of protein expressions between the two species. The numbers refer to the protein spots are detected in *B. pseudomallei* 844 but absent or lower express in *B. thailandensis* E257, except number 4 and 9 are higher expression in *B. thailandensis* E257 than in *B. pseudomallei* 844.



Figure 3. PCR amplification of a BPSL1958 gene coding for a hypothetical protein BPSL1958 of *Burkholderia pseudomallei* 844 (lane 3) compared with *Burkholderia thailundensis* E257 (lane 4). Lane 1 is a standard size marker and lane 2 is a negative control.

Table 1. Identification of Burknolderia pseucomallei proteins in non-redundant sequence databases (National Center for Biotechnology) using Mascot search engine and data from MALDI-TOF mass spectrometry

Functional category and protein name	Spot number	Accession number	Theo/exp pl	Theo/exp MW (kDa)
Cell surface Porin related exported protein (OmpC) Mechanosensitive ion channel (YggB) Phosphatidy ethanolamine-binding protein Bacterial cell wall degradation protein (LysM) Invasion protein B family (SpaK) Invasion plasmid antigen (IpaD) Chitin binding protein (CbpD) Aspartyllasparaginyl beta-hydroxylase Outer membrane protein a precursor (OmpA)	− 0 m 4 m o r ∞ o	YP_111684 AAK49791 YP_107676 YP_108071 YP_111548 YP_111535 YP_104403 YP_111434 YP_111434	7.78/6.75 10.2/5.60 5.26/5.20 4.54/4.20 4.61/4.31 5.13/5.02 5.96/5.50 9.80/4.89 9.51/4.50	40.1/34.5 29.3/25.0 18.3/18.5 16.4/17.5 15.2/14.5 34.0/33.0 24.0/24.5 34.6/36.0 24.3/13.5
Energy metabolism Phosphoglucomutase Thioredoxin protein Phosphoglucomutase Thioredoxin protein Phospho-2-dehydro-3-deoxyheptonate synthase Enolase (Eno) Electron transfer flavoprotein alpha-subunit Family C56 unassigned peptidase Succinyl-CoA:3-ketoacid-coenzyme A transferase subunit B 3-oxoacyt-(acyt-carrier-protein) synthase Family M19 non-peptidase homologue Enoyl-CoA hydratase (PaaG) Succinyl-CoA:3-ketoacid-coenzyme A transferase subunit A Malonyl CoA-acyt carrier protein transacylase Peptidyl-prolyl cis-trans isomerase B NADPH-dependent FMN reductase ATP synthase epsilon chain Riboflavin synthase alpha chain Riboflavin synthase alpha chain Rhodanese-related sulfurtransferases (GIpE) 3-hydroxyisobutyrate dehydrogenase Sedoheptulose 7-phosphate isomerase	8 4 12 12 12 12 12 12 12 12 12 12 12 12 12	YP_109262 YP_107481 YP_109433 YP_109433 YP_108866 YP_109094 YP_109094 YP_109638 YP_108552 ZP_00221810 YP_109638 YP_109638 YP_109638 YP_109638 YP_109638 YP_109641 YP_109988 YP_109988 YP_109984 YP_109988 YP_109988 YP_109988 YP_1099898 YP_1099898 YP_109998	5.23/5.25 4.71/4.29 5.97/5.79 4.81/4.69 4.72/4.56 4.70/4.69 5.27/5.33 5.26/5.33 5.77/4.88 5.31/5.43 5.56/5.93 5.76/5.16 5.94/6.60 6.51/6.45 5.49/4.81 7.82/6.39 6.19/6.72 5.58/5.75	50.2/49.5 33.4/32.0 39.1/44.0 45.9/42.5 31.6/32.5 23.9/24.5 22.3/24.0 42.4/37.0 36.1/35.0 28.5/26.5 28.5/26.5 22.3/24.0 36.1/35.0 36.1/35.0 32.5/18.0 17.9/19.0 20.3/18.5 14.9/17.0 20.3/18.5 18.0/15.5 30.2/25.0

Glyoxalase family protein	opor	Acession	l heo/exp pl	Theo/exp MW (kDa)
	58	YP_103534	5.55/5.35	16.2/16.5
Cellular processes				
60 kDa chaperonin	30	YP 109293	5.13/5.09	57.1/57.0
60 kDa chaperonin	31	YP_109293	5.13/5.14	57.1/57.0
60 kDa chaperonin	32	YP 109293	5.13/4.73	57.1/47.5
GroEL	33	AAO46033	5.18/5.25	56.5/57.0
GroEL	34	AAO46033	5.18/5.50	56.5/50.0
GroEL	35	AAO46033	5.18/4.77	56.5/45.0
Chaperonin GroEL	36	AAG32927	5.13/4.85	57.2/55.0
Cell division protein (FtsZ)	37	YP_109616	4.87/4.85	41.7/42.0
HSP20/alpha crystallin family protein	38	YP_112291	5.14/5.06	16.0/16.0
10 kDa chaperonin (GroES)	39	YP_109294	5.78/5.95	10.5/15.0
Heat shock Hsp20-related protein	40	YP_109511	6.30/6.77	15.2/19.0
Heat shock protein (GrpE)	41	YP_109423	4.78/4.58	19.7/21.5
Regulatory functions				
DnaK suppressor protein (DksA)	42	YP_106833	5.26/5.25	16.1/18.0
Response regulator protein (AmiR)		YP_111254	5.36/4.25	22.0/15.5
Multiple antibiotic resistance regulatory protein (MarR)		YP_111785	5.36/4.41	17.0/15.0
Response regulator protein (TtrR)	45	YP_108899	5.40/5.49	23.7/23.0
Regulatory protein (IcIR)		YP_108891	8.45/4.84	29.9/30.5
Sigma54-dependent transcription suppressor (PspA)		YP_108702	5.11/5.05	24.5/29.5
Response regulator protein	48	YP_110651	5.26/4.85	26.9/24.5
Replication				
Single-strand binding protein (SSB)	49	YP_107172	5.51/5.77	18.7/20.0
Nucleoside diphosphate kinase	90	YP_108130	5.61/5.89	15.6/15.5
Transcription				
Transcription elongation factor (GreA)	51	YP_107977	4.50/4.10	17.0/19.0
Franscription initiation factor	52	YP_111848	5.04/5.35	13.1/15.0

Table 1. Continued

Functional category and protein name	Spot	Acession	Theo/exp	Theo/exp
	number	number	þļ	MW (kDa)
Translation				
50S ribosomal protein L7/L12	53	YP 109816	5.10/4.64	11.1/13.0
50S ribosomal protein L7/L12	54	YP_109816	5.10/5.00	11.1/11.0
tRNA nucleotidyltransferase	55	YP_106892	7.25/6.75	45.2/55.0
Peptidyl-tRNA hydrolase	56	YP107145	9.22/5.35	22.0/24.5
Sery-tRNA synthetase	22	YP_109196	5.53/5.70	47.7/50.0
Fanslation initiation inhibitor (TdcF)	58	YP_112061	5.30/5.60	14.4/15.5
Stress responses				
Calcineurin-like phosphoesterase	59	YP 110898	9.96/4.77	43.0/38.5
Oxidoreductase (AhpC)	09	YP_109344	5.75/6.29	23.9/24.0
Phasin-like protein (PhaZ)	61	YP_108894	5.96/6.41	19.9/22.0
Phasin-like protein (PhaZ)	62	YP_108894	5.96/4.83	19.9/18.5
Phasin-like protein (PhaZ)	63	YP_108894	5.96/4.95	19.9/15.5
Phasin-like protein (PhaZ)	64	YP_108894	5.96/4.70	19.9/15.5
Phasin-like protein (Phaz.)	65	YP_108894	5.96/4.58	19.9/15.0
Superoxide dismutase (SodA)	99	YP_107505	5.74/6.00	21.1/20.0
Hydroperoxide reductase	29	YP_108693	5.05/4.91	20.5/19.5
Tydroperoxide reductase	89	YP_108693	5.05/4.79	20.5/19.5
I niot peroxidase (1px)	69	YP_109581	5.12/5.14	17.4/19.0
Universal stress-related protein (UspA)	20	YP_110056	5.78/6.14	16.6/15.5
പ്യoxalase/Bleomycin resistance/Dioxygenase superfamily	71	YP_110250	5.75/6.20	14.8/15.5
Phage-related proteins				
Phage-related DNA polymerase	72	YP_108778	5.10/5.52	30.5/30.0
bacteriophiage tall completion protein K (GpK)	73	YP_111086	4.32/5.43	15.2/15.0
Unknown function				
Uncharacterized conserved protein	74	YP_107552	4.64/4.38	23.9/22.0
zed conserved	75	YP_109700	6.43/4.62	18,4/20.0
Uncharacterized conserved protein	76	YP_110194	4.85/4.70	20.7/20.0
zed conserved	77	YP_109289	4.67/4.49	20.7/22.5
Uncharacterized conserved protein	78	YP_107931	4,72/5.50	22.1/22.5

Enactions: .astendor, and protein name	toay.	COSSODA	Theo/eyn	The
מיוכנוסיום כמוכפטין מוזס טיסייי ימוזים	านท่อยเ	number	pl	MW (kDa)
Hypothetical proteins				
Hypothetical protein BPSL1549	79	YP 108169	5.14/5.09	23.4/37.0
Hypothetical protein BPSt1549	08	YP_108169	5.14/5.25	23.4/22.0
Hypothetical protein BPSL1958	81	YP_108556	4.38/4.10	36.1/35.5
Hypothetical protein BPSL0348	82	YP_106975	6.59/4.21	28.0/22.0
Hypothetical protein BPSS0212	83	YP_110232	5.34/5.60	22.5/21.5
Hypothetical protein BPSS0683	84	YP_110696	5.09/5.04	13.1/15.0
Hypothetical protein BPSL0599	85	YP 107228	4.94/4.75	13.9/16.0
Hypothetical protein BPSL0349	86	YP_106976	5.04/4.89	20.3/20.5
Hypothetical protein BPSL0213	87	YP_110233	6.65/4.58	21.7/22.0
Hypothetical protein BPSL1431	88	YP_111443	5.91/4.60	17.2/16.5



Table 2. Summary of the proteins which have isoforms

Protein name	Spot number	Modification
60 \Da chaperonin	30-32	Charge and mass differences
CroEL	33-35	Charge and mass differences
50S ribosomal protein L7/L12	53-54	Charge and mass differences
Phusin-like protein (PhaZ)	61-65	Charge and mass differences
Hydroperoxide reductase	67-68	Charge diference
Hypothetical protein BPSL1549	79-80	Charge and mass differences

